

# Les Réseaux de Neurones Artificiels

---

Antoine Cornuéjols

AgroParisTech – INRA MIA 518

[antoine.cornuejols@agroparistech.fr](mailto:antoine.cornuejols@agroparistech.fr)



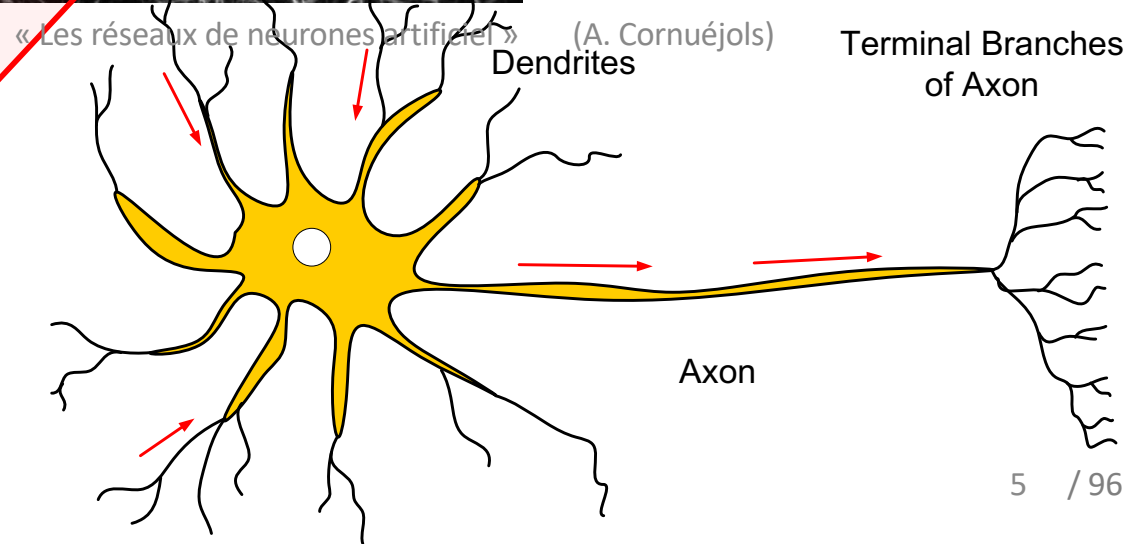
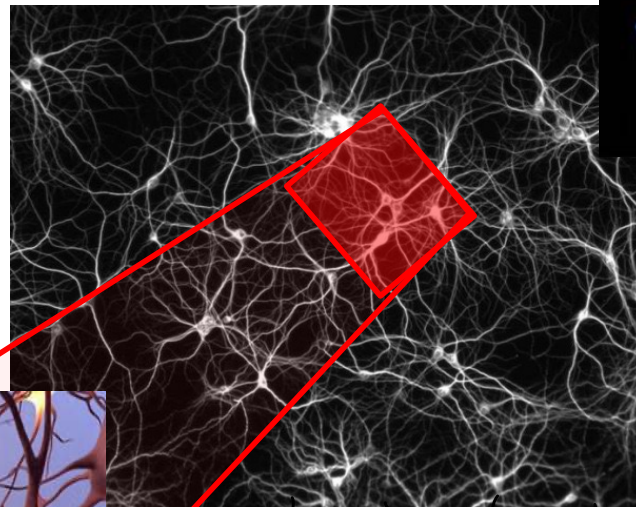
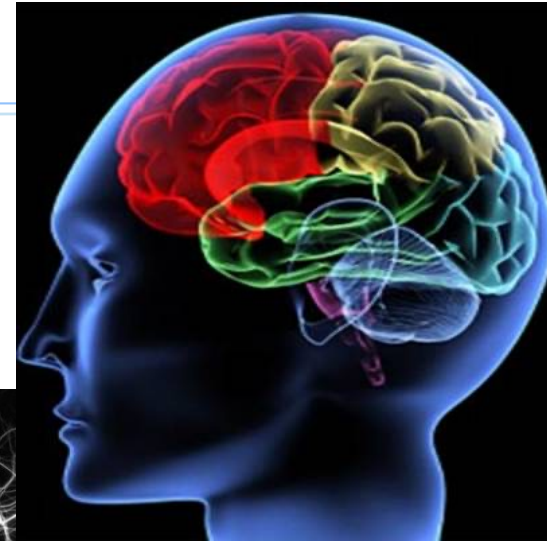
# Plan

---

- 1.** Introduction
- 2.** Réseaux à une couche
- 3.** Perceptrons multicouches
- 4.** L'apprentissage de représentations

# Introduction

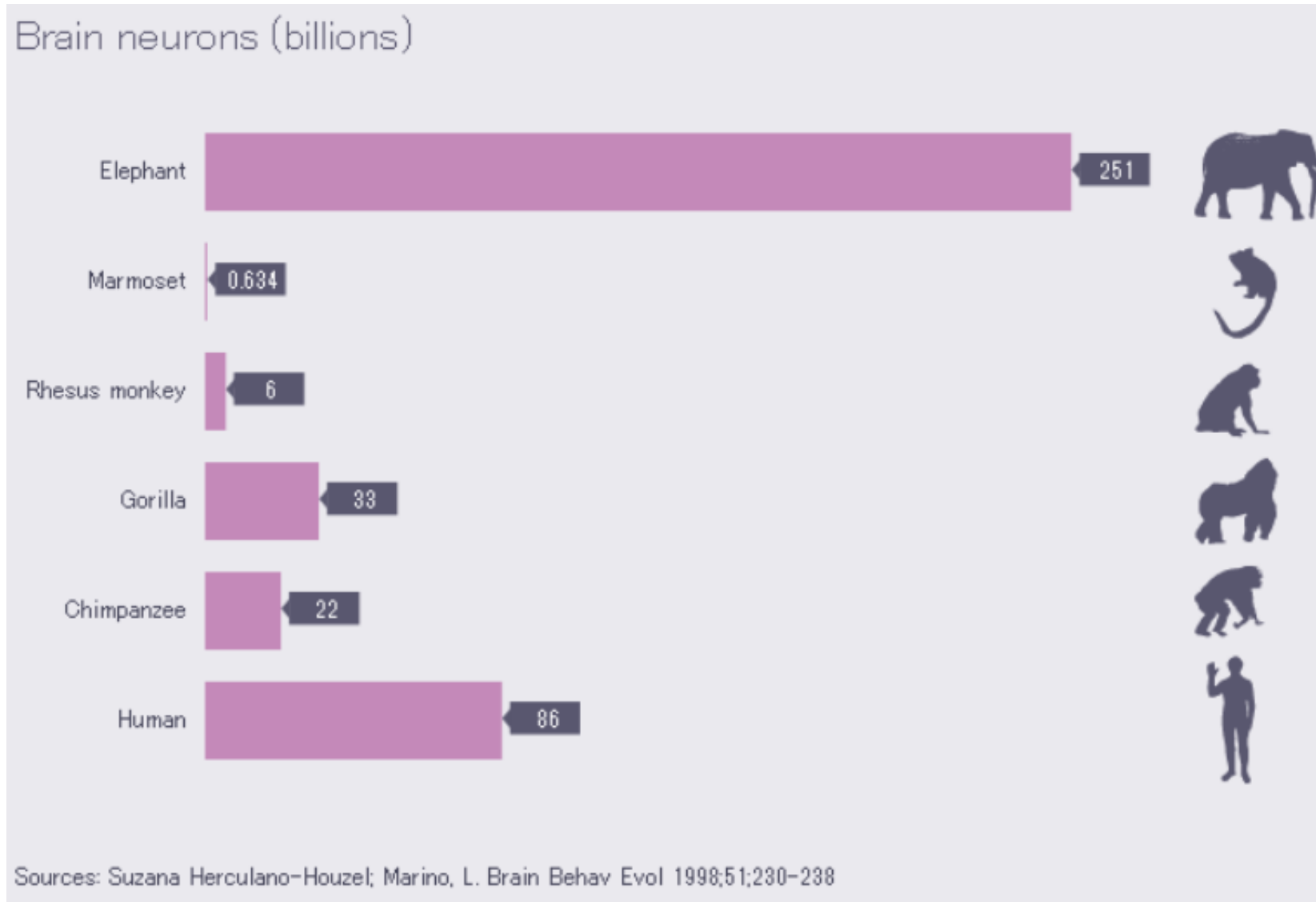
# Biological Neurons



# Pourquoi considérer des réseaux de neurones ?

- Inspiration biologique
  - Le **cerveau** naturel : un modèle très séduisant
    - Capable d'apprentissage
    - Robuste et tolérant aux fautes
    - S'accommode d'informations incomplètes, incertaines, imprécises
    - Massivement parallèle
  - **Neurones**
    - $\approx 10^{11}$  neurones dans le **cerveau humain**  
( $950 \times 10^3$  dans celui de *l'abeille*)
    - $\approx 10^3$  à  $10^4$  **connexions / neurone**
    - *Potentiel d'action / période réfractaire / neuro-transmetteurs*
    - *Signaux excitateurs / inhibiteurs*

# Sizes of the brains of different species



...

# Vers des réseaux de neurones artificiels

- **Attraits**

- Calculs parallélisables
- Robustes et tolérants aux fautes (distribué)
- Algorithmes simples
- D'emploi très général

- **Défauts**

- Opacité des raisonnements
- Et de l'hypothèse produite

## Historique (très limité)

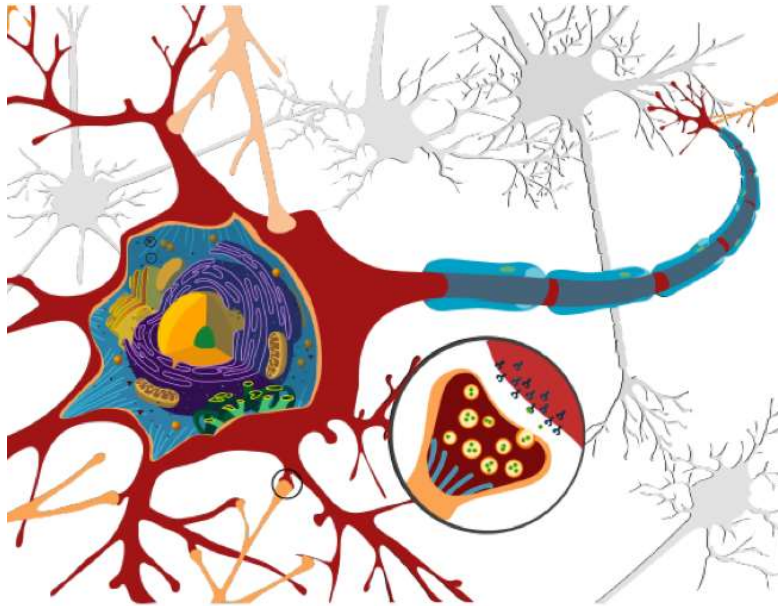
- **Mise en évidence des neurones**
  - Camillio Golgi et Ramon Y Cajal (~ 1870) ; les synapses (dans les années 1930)
- **Modélisation formelle**
  - Mc Culloch & Pitts (1943) : 1<sup>er</sup> modèle du neurone formel
  - Hebb (1949) : règle d'apprentissage par renforcement de couplage synaptique

# Les réseaux à une couche

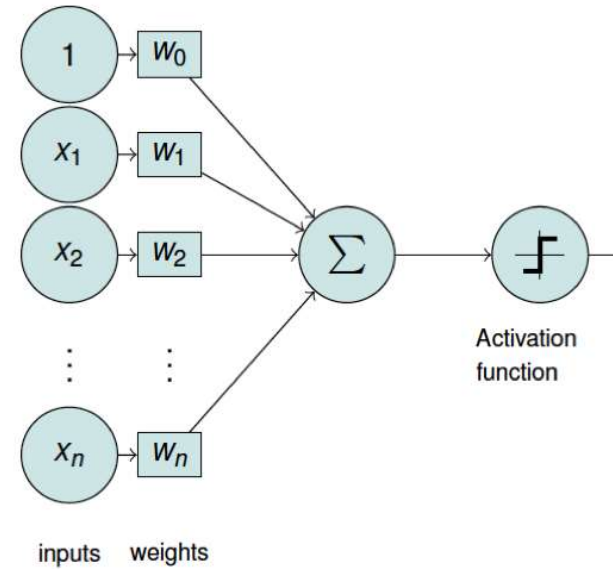
# Historique (très limité)

- **Mise en évidence des neurones**
  - Camillio Golgi et Ramon Y Cajal (~ 1870) ; les synapses (dans les années 1930)
- **Modélisation formelle**
  - Mc Culloch & Pitt (1943) : 1<sup>er</sup> modèle du neurone formel
  - Hebb (1949) : règle d'apprentissage par renforcement de couplage synaptique
- **Premiers modèles informatiques**
  - ADALINE (Widrow-Hoff, 1960)
  - Perceptron (Rosenblatt, 1958-1962)
  - Analyse par Minsky et Papert (1969)

# Neurone biologique et « neurone formel »

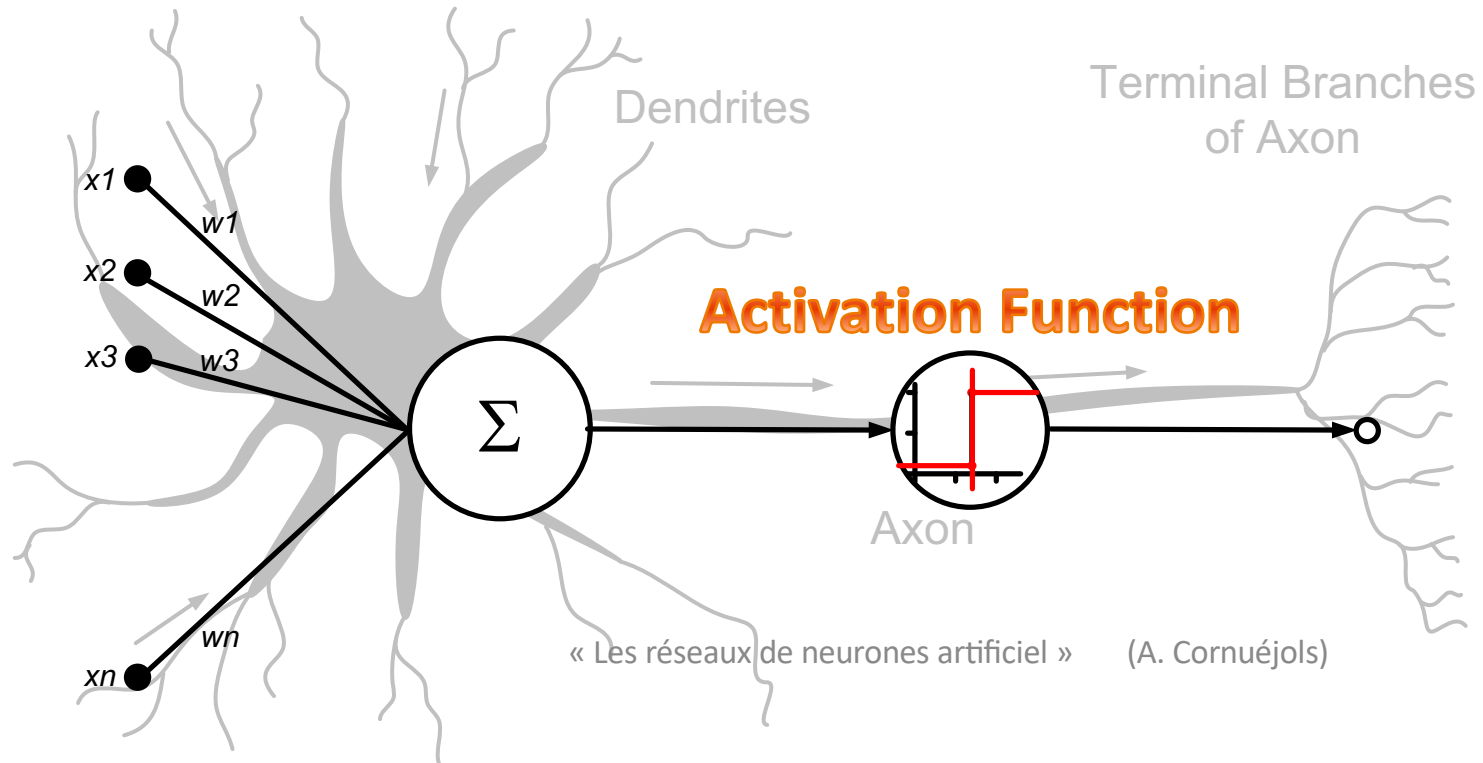


Biological Neuron



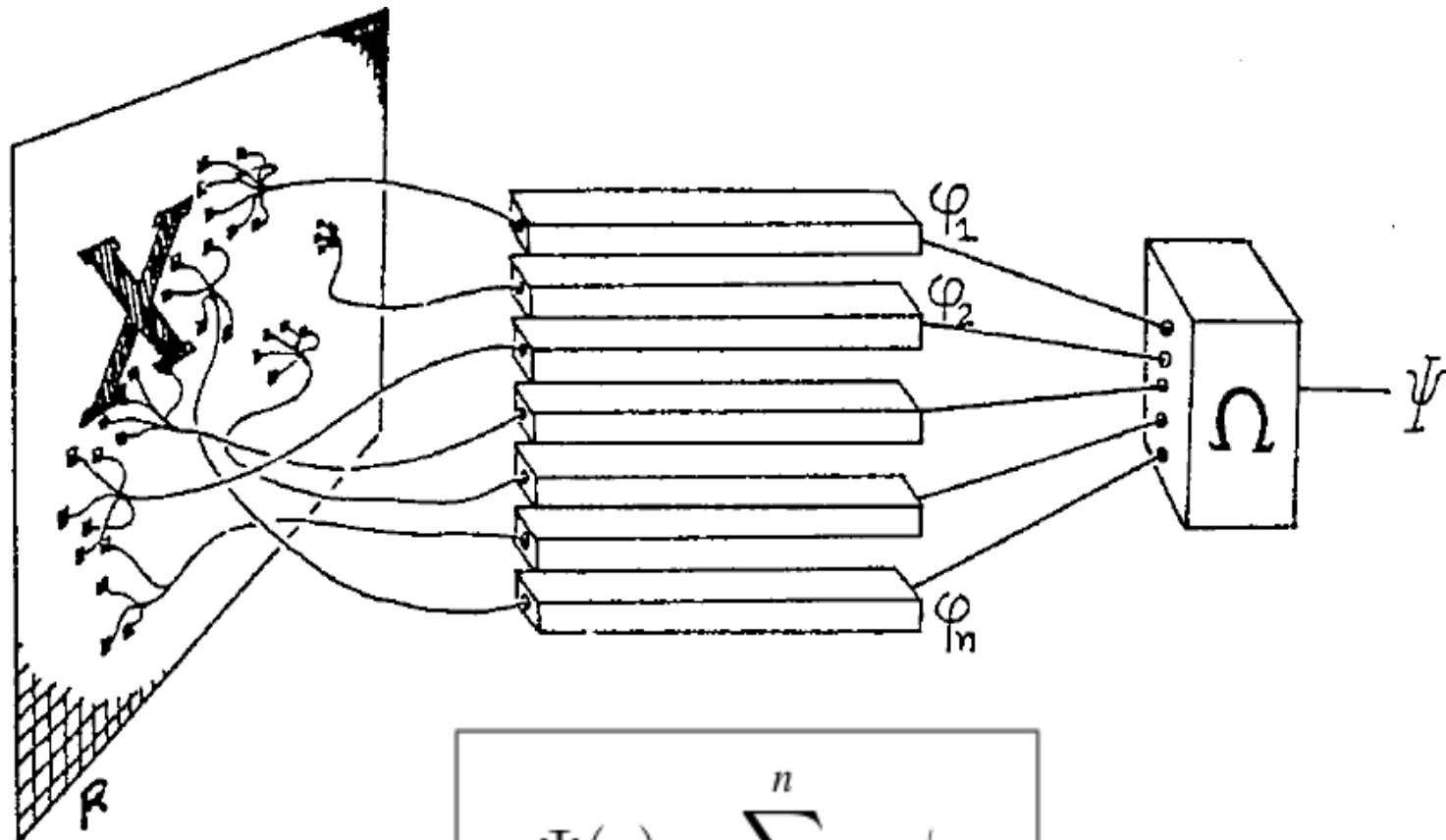
Computational Neuron

# Artificial Neural Networks (ANN)



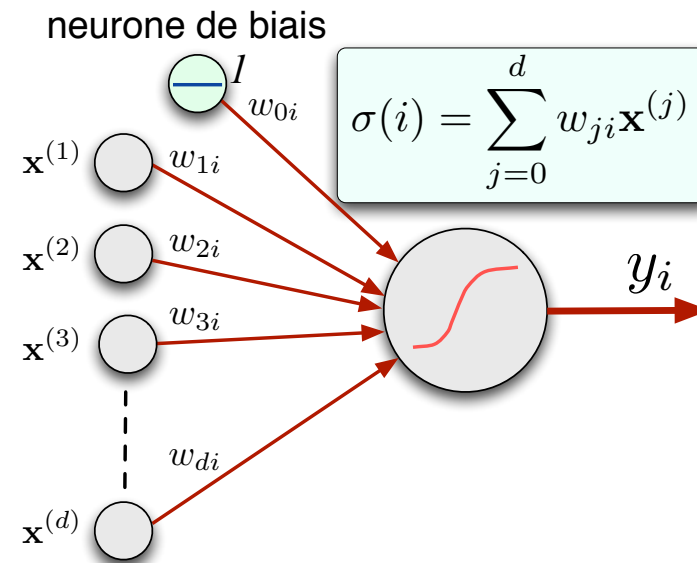
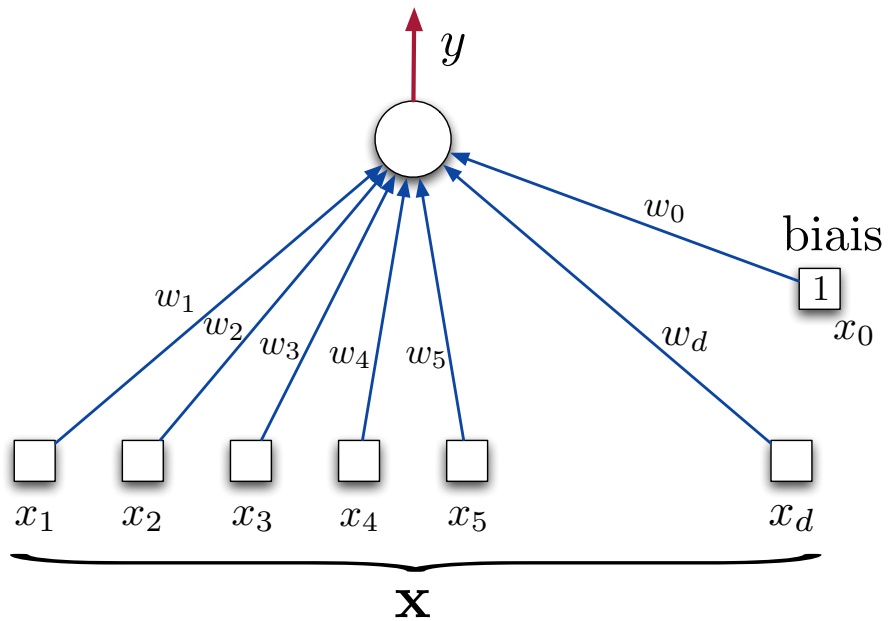
# Le Perceptron

- Rosenblatt (1958-1962)

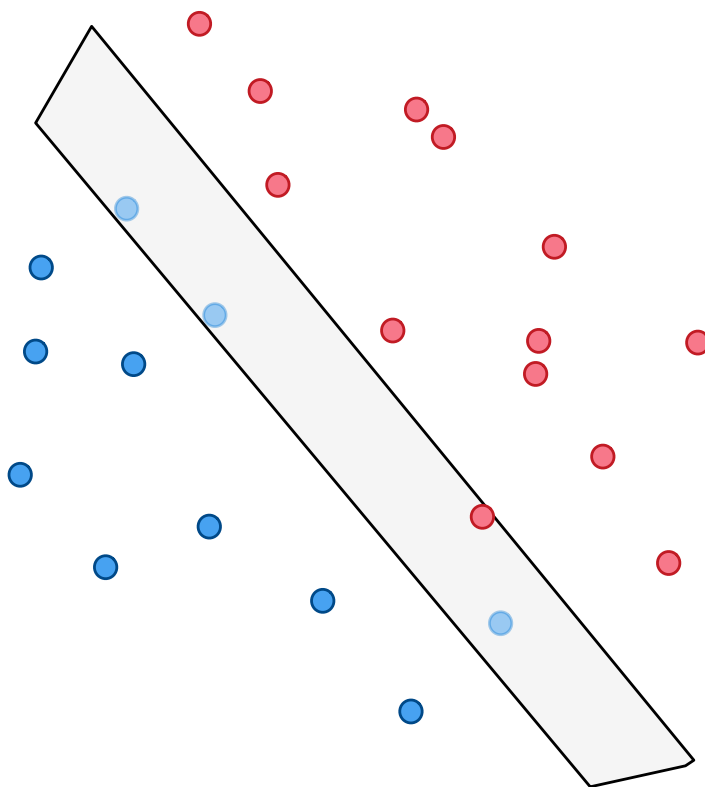


$$\Psi(\mathbf{x}) = \sum_{i=1}^n w_i \phi_i$$

# Le perceptron



# Le perceptron : un discriminant linéaire



# The perceptron: elementary algebra

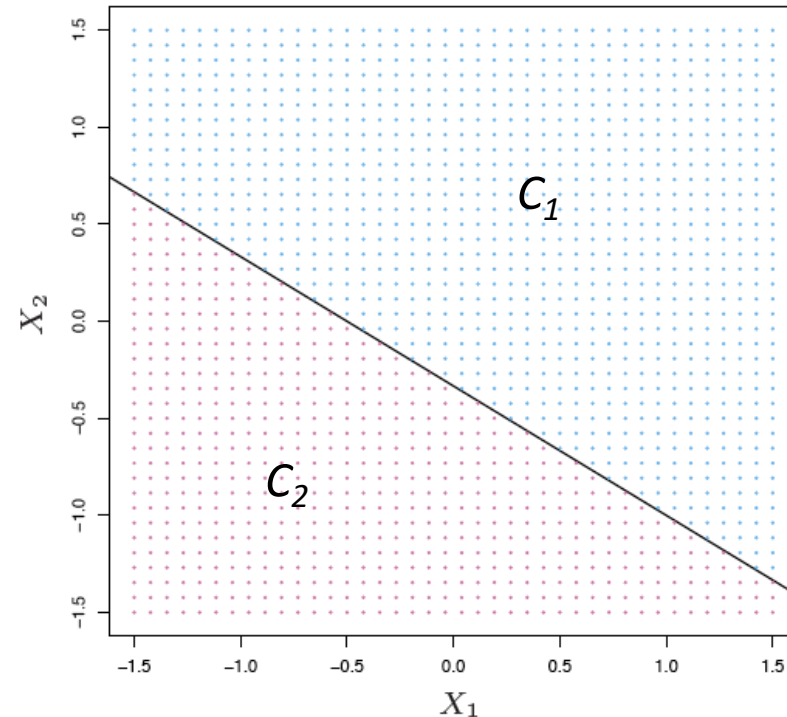
- In the plan

$$1 + 2x_1 + 3x_2 = 0$$

or: 
$$x_2 = -\frac{2}{3}x_1 - \frac{1}{3}$$

Given a new point:  $\mathbf{x}^* = [x_1^*, x_2^*]^T$

$$1 + 2x_1^* + 3x_2^* = \begin{cases} \geq 0, & \mathbf{x}^* \in \mathcal{C}_1 \\ \leq 0, & \mathbf{x}^* \in \mathcal{C}_2 \\ = 0, & \mathbf{x}^* \text{ indéterminé} \end{cases}$$



# The perceptron: elementary algebra

- In a space of dimension  $d$

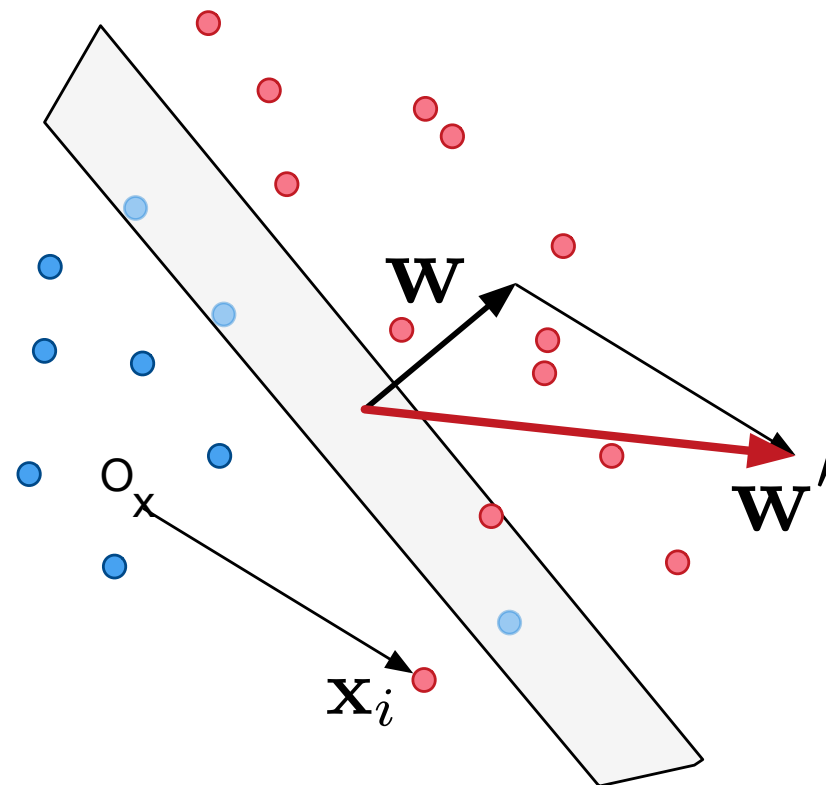
- Equation of an *hyperplan* (of dimension  $d-1$ )

$$\sum_{j=1}^d w_j x_j + w_0 = 0$$

- Expression of an **hypothesis** (perceptron) :

$$h(\mathbf{x}) = \sum_{j=1}^d w_j x_j + w_0$$

# The perceptron learning algorithm: intuition



$$\mathbf{w}' = \mathbf{w} + \eta y_i \mathbf{x}_i$$

# Le perceptron

- Apprentissage des poids  $w_i$

Historiquement, une règle ad hoc

Règle du perceptron : **apprendre seulement en cas d'échec**

---

## Algorithme 1 : Algorithme d'apprentissage du perceptron

---

**tant que** *non convergence* **faire**

**si** *la forme d'entrée est correctement classée* **alors**

        ne rien faire

**sinon**

$$\mathbf{w}(t + 1) = \mathbf{w}(t) + \eta \mathbf{x}_i y_i$$

**fin**

        Passer à la forme d'apprentissage suivante

**fin**

---

# The perceptron learning algorithm: intuition

1. If  $y_i = +1$  and  $w^T \cdot x_i < 0$  increase  $w^T \cdot x_i$

(minimize the risk of having  $y_i \cdot (w^T x_i) < 0$  (wrong decision))

2. If  $y_i = -1$  and  $w^T \cdot x_i > 0$  decrease  $w^T \cdot x_i$

(minimize the risk of having  $y_i \cdot (w^T x_i) < 0$  (wrong decision))

For (1), we want  $w' \cdot x_i > w \cdot x_i$

With  $w' = w + \eta x_i$ , we have  $w' \cdot x_i = w \cdot x_i + \eta x_i x_i > w \cdot x_i$

For (2), we want  $w' \cdot x_i < w \cdot x_i$

With  $w' = w - \eta x_i$ , we have  $w' \cdot x_i = w \cdot x_i - \eta x_i x_i < w \cdot x_i$



$$\mathbf{w}' = \mathbf{w} + \eta y_i \mathbf{X}_i$$

# The perceptron learning algorithm

---

**Algorithm 7.1:**  $\text{Perceptron}(D, \eta)$  – train a perceptron for linear classification.

---

**Input** : labelled training data  $D$  in homogeneous coordinates;  
learning rate  $\eta$ .

**Output** : weight vector  $\mathbf{w}$  defining classifier  $\hat{y} = \text{sign}(\mathbf{w} \cdot \mathbf{x})$ .

```
1  $\mathbf{w} \leftarrow \mathbf{0}$ ; // Other initialisations of the weight vector are possible
2  $converged \leftarrow false$ ;
3 while  $converged = false$  do
4    $converged \leftarrow true$ ;
5   for  $i = 1$  to  $|D|$  do
6     if  $y_i \mathbf{w} \cdot \mathbf{x}_i \leq 0$  // i.e.,  $\hat{y}_i \neq y_i$ 
7     then
8        $\mathbf{w} \leftarrow \mathbf{w} + \eta y_i \mathbf{x}_i$ ;
9        $converged \leftarrow false$ ; // We changed  $\mathbf{w}$  so haven't converged yet
10    end
11  end
12 end
```



# Apprentissage des poids des connexions

Algorithme par descente du **gradient** minimisant un **risque empirique**

- On veut minimiser :

$$R_{Emp}(\mathbf{w}) = - \sum_{x_j \in \mathcal{M}} \mathbf{w}^T \mathbf{x}_j \cdot u_j$$

Car nous voulons pour tous les exemples :

$$\mathbf{w}^T \mathbf{x} \begin{cases} \geq 0 \\ < 0 \end{cases} \Rightarrow \mathbf{x} \in \begin{cases} \omega_1 \\ \omega_2 \end{cases}$$

# Le perceptron : **algorithme de gradient**

- Méthode d'exploration de  $\mathcal{H}$ 
  - Recherche par gradient
    - Minimisation de la fonction d'erreur

$$\mathbf{w}(t + 1) = \mathbf{w}(t) + \eta \nabla_{\mathbf{w}} E(\mathbf{w}(t))$$

$$\eta x_i u_i$$

- Algorithme historique :

si la forme est correctement classée : ne rien faire

sinon :  $\mathbf{w}(t + 1) = \mathbf{w}(t) + \eta \mathbf{x}_i u_i$

boucler sur les formes d'apprentissage jusqu'à critère d'arrêt

## Des propriétés remarquables !!

- **Convergence** en un **nombre fini d'étapes**
  - Indépendamment du **nombre** d'exemples
  - Indépendamment de la **distribution** des exemples
  - Indépendamment de la **dimension** de l'espace d'entrée

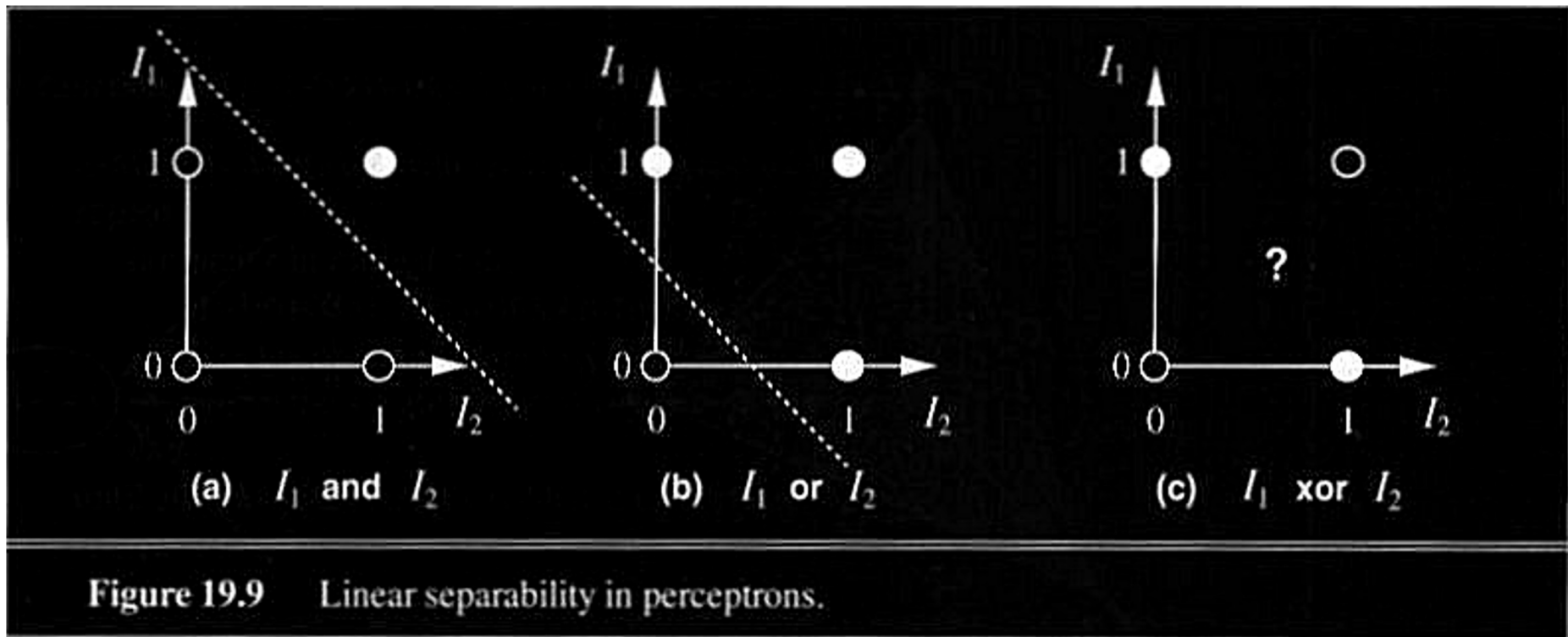


**Si il existe** au moins *une séparatrice linéaire des exemples*

## Garantie de généralisation ??

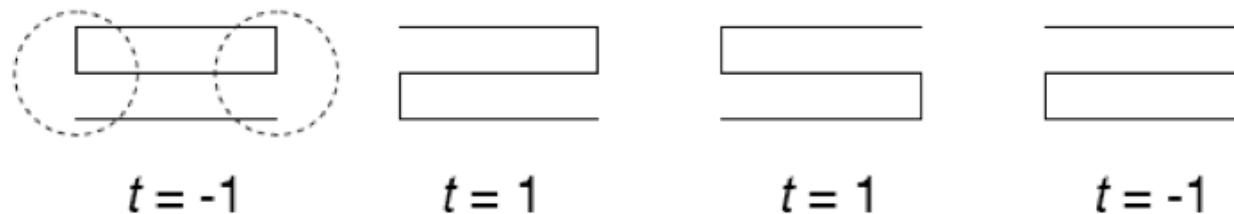
- Théorèmes sur la performance par rapport à l'échantillon d'apprentissage
- Mais qu'en est-il pour des **exemples à venir** ?

# Capacité expressive : Séparations linéaires



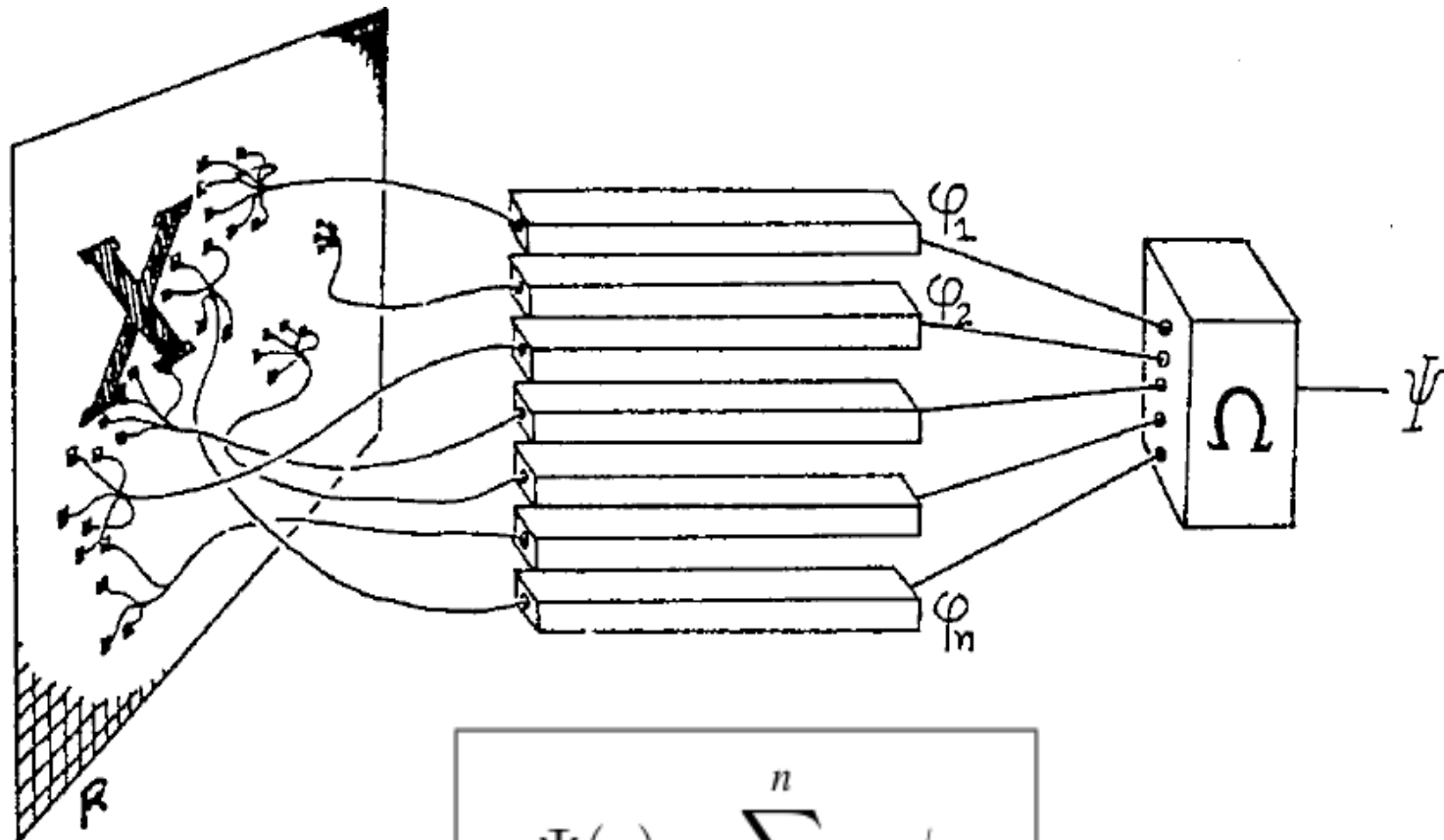
# Limites du Perceptron

- Le Perceptron ne peut apprendre **que des séparatrices linéaires** (e.g. pas le XOR)
- Pas tout à fait vrai si on change d'espace d'entrée [Minsky et Papert, 1969]
- Mais le prétraitement est difficile
- Exemple (Bishop)



# Le Perceptron

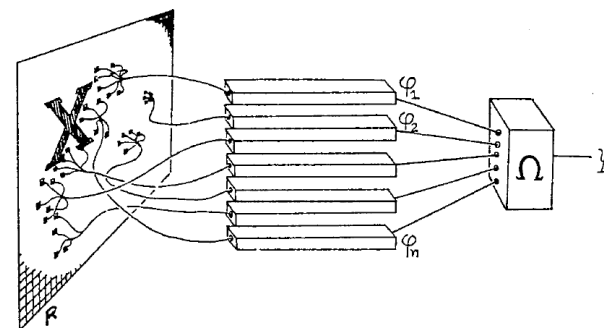
- Rosenblatt (1958-1962)



$$\Psi(\mathbf{x}) = \sum_{i=1}^n w_i \phi_i$$

# Premier connexionnisme : le perceptron

- *Propriétés*
  - Algorithme **en-ligne**
  - **Ne pouvait pas tout apprendre !?**
    - Car ne peut pas tout représenter
    - Il faut avoir de **bonnes fonctions de base** (détecteurs locaux)
    - Il faut savoir les combiner
      - *Ok sur la couche de sortie*



→ **Blocage**

# Historique (très limité)

- **Mise en évidence des neurones**

- Camillio Golgi et Ramon Y Cajal (~ 1870) ; les synapses (dans les années 1930)

- **Modélisation formelle**

- Mc Culloch & Pitt (1943) : 1<sup>er</sup> modèle du neurone formel
- Hebb (1949) : règle d'apprentissage par renforcement de couplage synaptique

- **Premiers modèles informatiques**

- ADALINE (Widrow-Hoff, 1960)
- Perceptron (Rosenblatt, 1958-1962)
- Analyse par Minsky et Papert (1969)

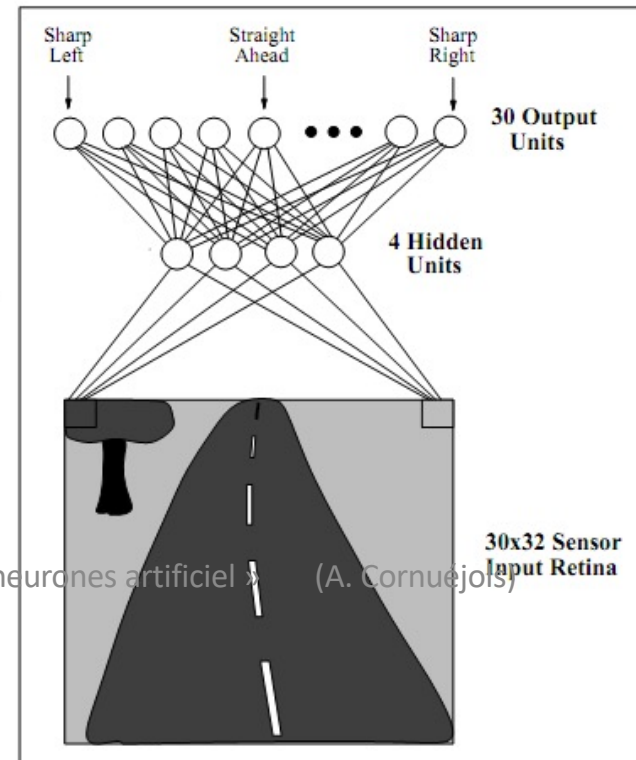
- **Nouveau connexionnisme**

- Hopfield (1982) : réseau bouclé
- Perceptron Multi-Couche (1985)
- « Reservoir computing » (2003)
- Les réseaux de neurones profonds
- « Spiking Neurons » networks

# Les perceptrons multi-couches

# Neural network application

- ALVINN drives 70 mph on highways

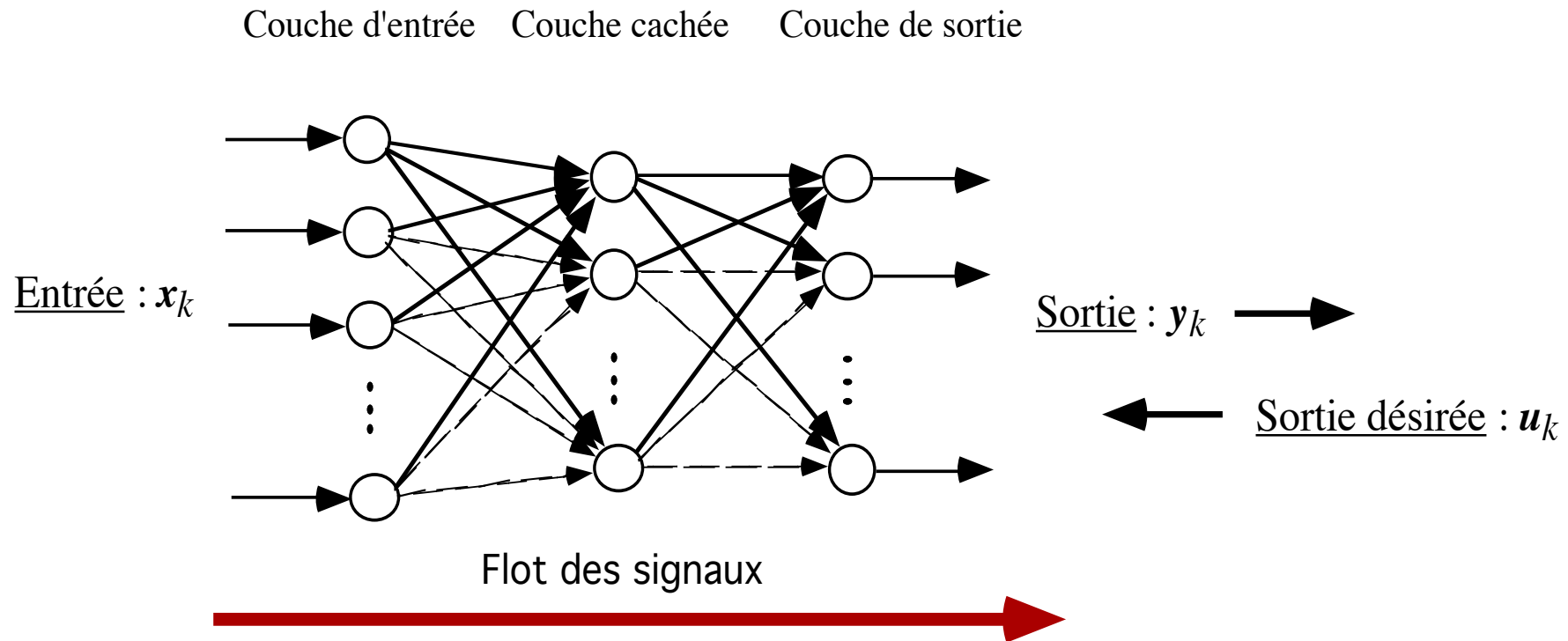


« Les réseaux de neurones artificiel » (A. Cornuéjols)

# Composants et structure du PMC

# Le perceptron multi-couche

- Topologie typique



# Le Perceptron Multi-Couches : propagation

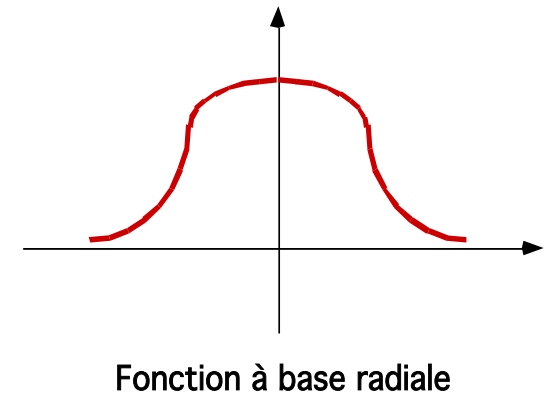
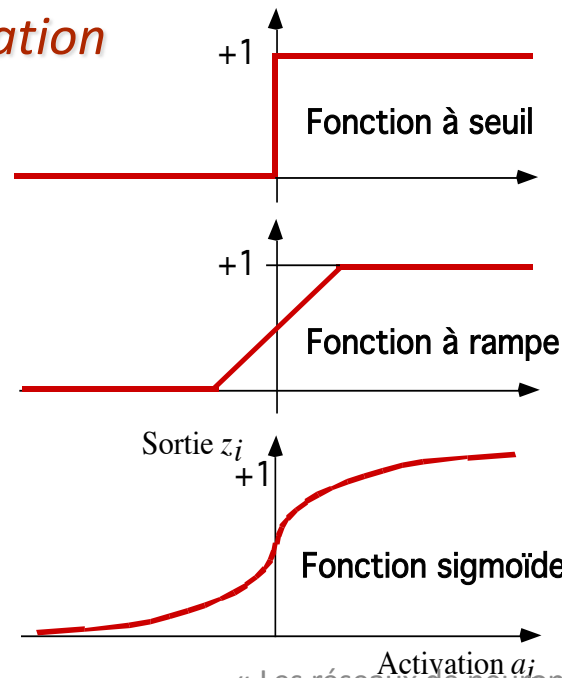
- Pour chaque neurone :

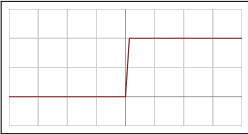
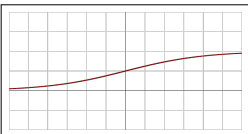
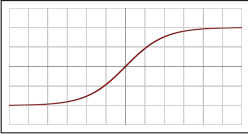
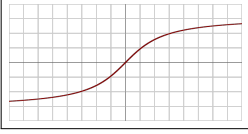
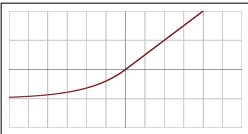
$$y_l = g\left(\sum_{j=0,d} w_{jk} \phi_j\right) = g(a_k)$$

- $w_{jk}$  : *poids* de la connexion de la cellule  $j$  à la cellule  $k$
- $a_k$  : *activation* de la cellule  $k$
- $g$  : *fonction d'activation*

$$g(a) = \frac{1}{1 + e^{-a}}$$

$$g'(a) = g(a)(1-g(a))$$



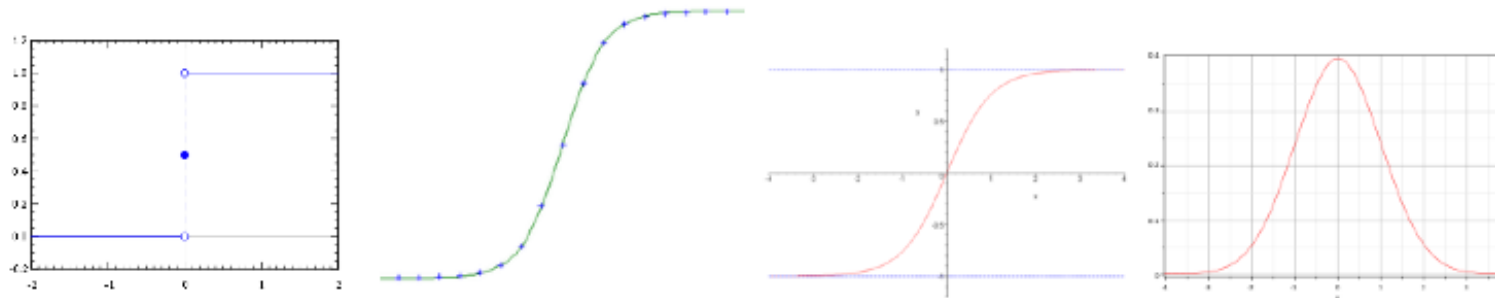
Nom	Graphe	Équation	Dérivée
Rampe		$f(x) = x$	$f'(x) = 1$
Heaviside		$f(x) = \begin{cases} 0 & \text{si } x < 0 \\ 1 & \text{si } x \geq 0 \end{cases}$	$f'(x) = \begin{cases} 0 & \text{si } x \neq 0 \\ ? & \text{si } x = 0 \end{cases}$
Logistique ou sigmoïde		$f(x) = \frac{1}{1 + e^{-x}}$	$f'(x) = f(x)(1 - f(x))$
Tangente hyperbolique		$f(x) = \tanh(x)$ $= \frac{2}{1 + e^{-2x}} - 1$	$f'(x) = 1 - f^2(x)$
Arc Tangente		$f(x) = \tan^{-1}(x)$	$f'(x) = \frac{1}{x^2 + 1}$
Unité ReLU		$f(x) = \begin{cases} 0 & \text{si } x < 0 \\ x & \text{si } x \geq 0 \end{cases}$	$f'(x) = \begin{cases} 0 & \text{si } x \neq 0 \\ 1 & \text{si } x = 0 \end{cases}$
Unité Exponentielle Linéaire		$f(x) = \begin{cases} \alpha(e^x - 1) & \text{si } x < 0 \\ x & \text{si } x \geq 0 \end{cases}$	$f'(x) = \begin{cases} f(x) + \alpha & \text{si } x < 0 \\ 1 & \text{si } x \geq 0 \end{cases}$

# Fonctions d'activation

## Différentes fonctions d'activation

Elles introduisent un intervalle sur lequel le neurone est activé

- fonction identité
- heaviside :  $\varphi(x) = 0$  si  $x < 0$ , 1 sinon
- sigmoïde :  $\varphi(x) = \frac{1}{1+e^x}$
- tanh :  $\varphi(x) = \frac{e^x - e^{-x}}{e^x + e^{-x}} = \frac{e^{2x} - 1}{e^{2x} + 1}$
- fonction noyau (gaussienne)



heaviside - sigmoïde - tanh - gaussienne

# Fonctions d'activation de la couche de sortie

- Tâche de **classification**

- Couches **cachées** : sigmoïde [0,1], tanh [-1,1], ReLU [0, ∞], ...
- Couche de **sortie** : **sigmoïde** dans [0,1] ; **softmax** dans [0,1]

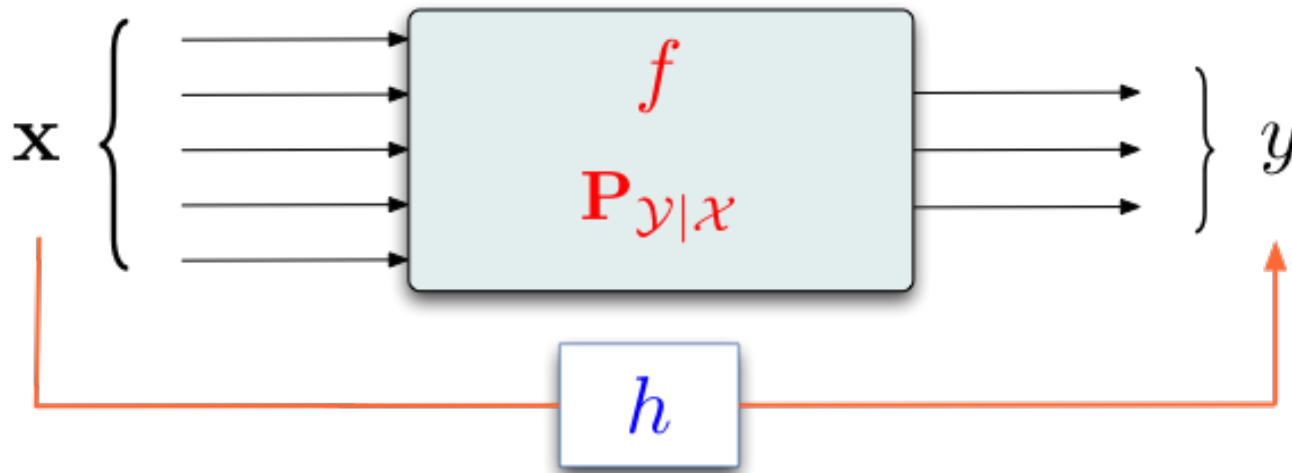
$$\hat{y}_j = \frac{e^{-z_j}}{\sum_{i=1}^m e^{-z_i}}$$

- Tâche de **régression**

- Couches **cachées** : sigmoïde [0,1], tanh [-1,1], ReLU [0, ∞], ...
- Couche de **sortie** : **linéaire**

# L'apprentissage dans les PMC

# Apprentissage supervisé



À partir :

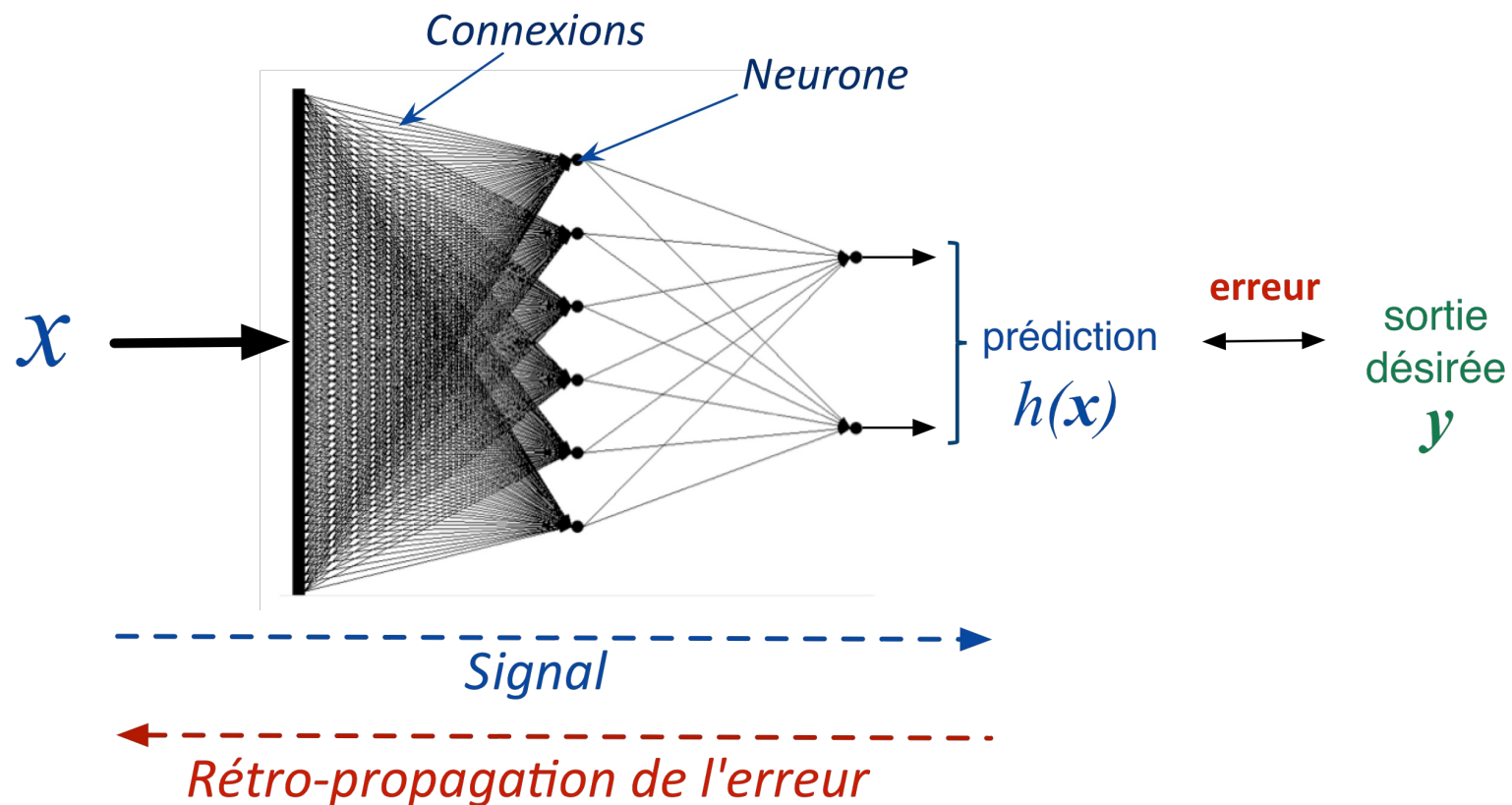
- d'un échantillon d'apprentissage  $S_m = \langle (\mathbf{x}_1, y_1), \dots, (\mathbf{x}_m, y_m) \rangle$
- de connaissances préalables sur le type de dépendances sur  $\mathcal{X} \times \mathcal{Y}$

Trouver :

- une fonction  $h$
- permettant la prédiction de  $y$  pour une nouvelle entrée  $\mathbf{x}$   $h(\mathbf{x}) \approx y (= f(\mathbf{x}))$

# Learning with Multi-Layer Perceptrons

- Questions:
  - How to learn the **parameters** (weights of the connections) ?
  - How to set the **architecture** of the network?



---

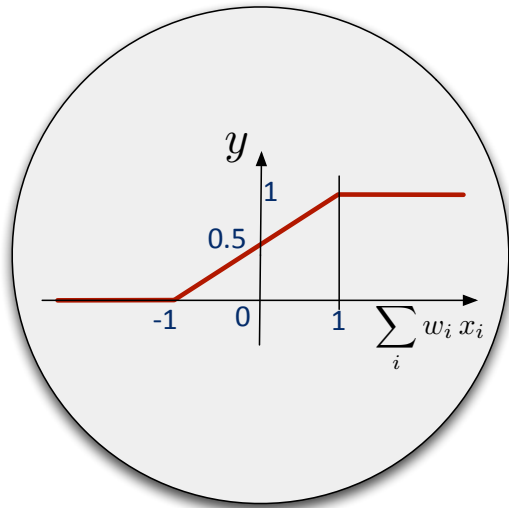
Analyse

Rôle des couches cachées

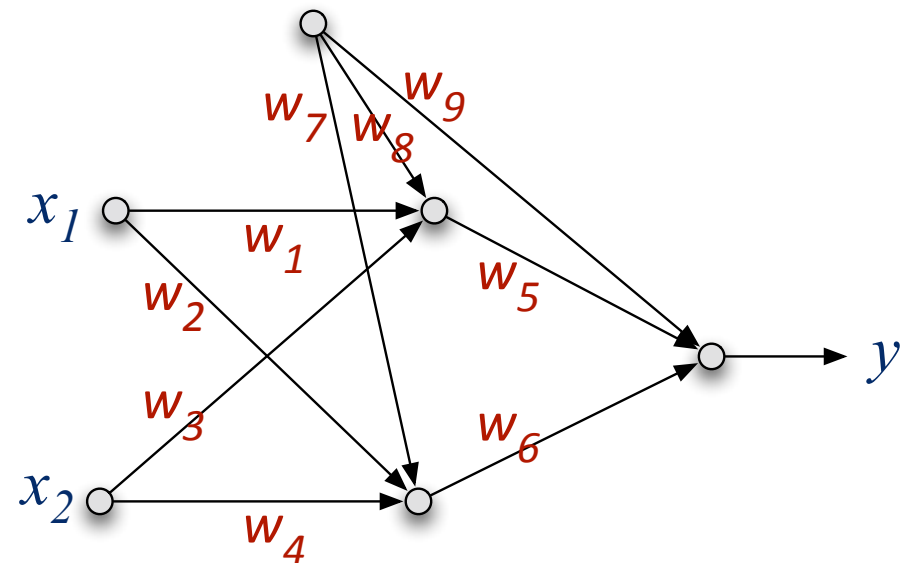
# Calcul de poids

Calcul de la fonction XOR

Entrée $x_1$	Entrée $x_2$	Sortie $y$
0	0	0
0	1	1
1	0	1
1	1	0

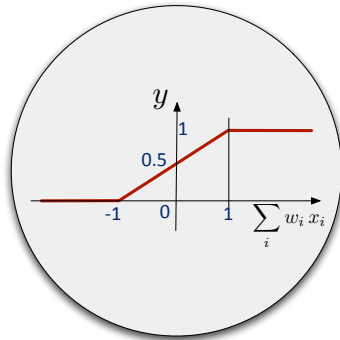


Saurez-vous trouver les poids  $w_i$  ?



# Compute the weights such that ...

Computation of the XOR function



Entrée $x_1$	Entrée $x_2$	Sortie $y$
0	0	0
0	1	1
1	0	1
1	1	0

$W_1 =$

$W_2 =$

$W_3 =$

$W_4 =$

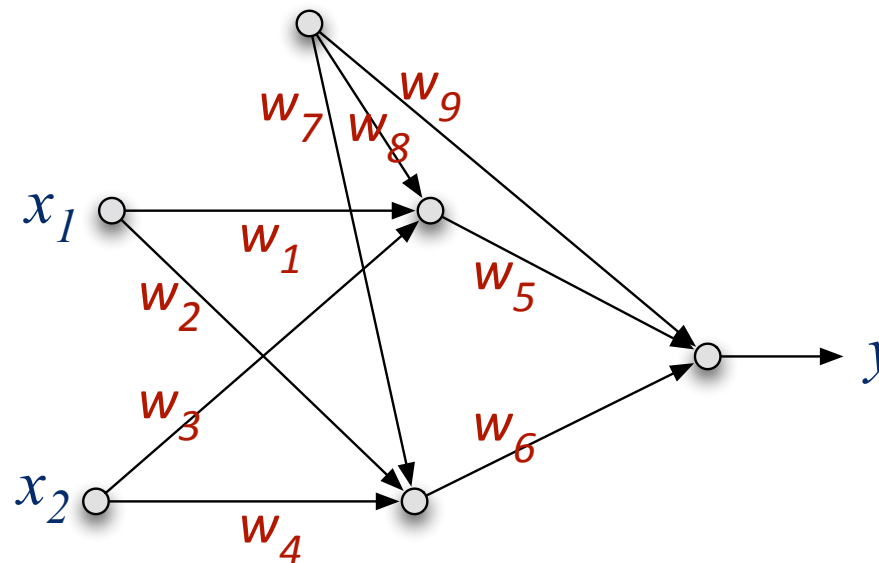
$W_5 =$

$W_6 =$

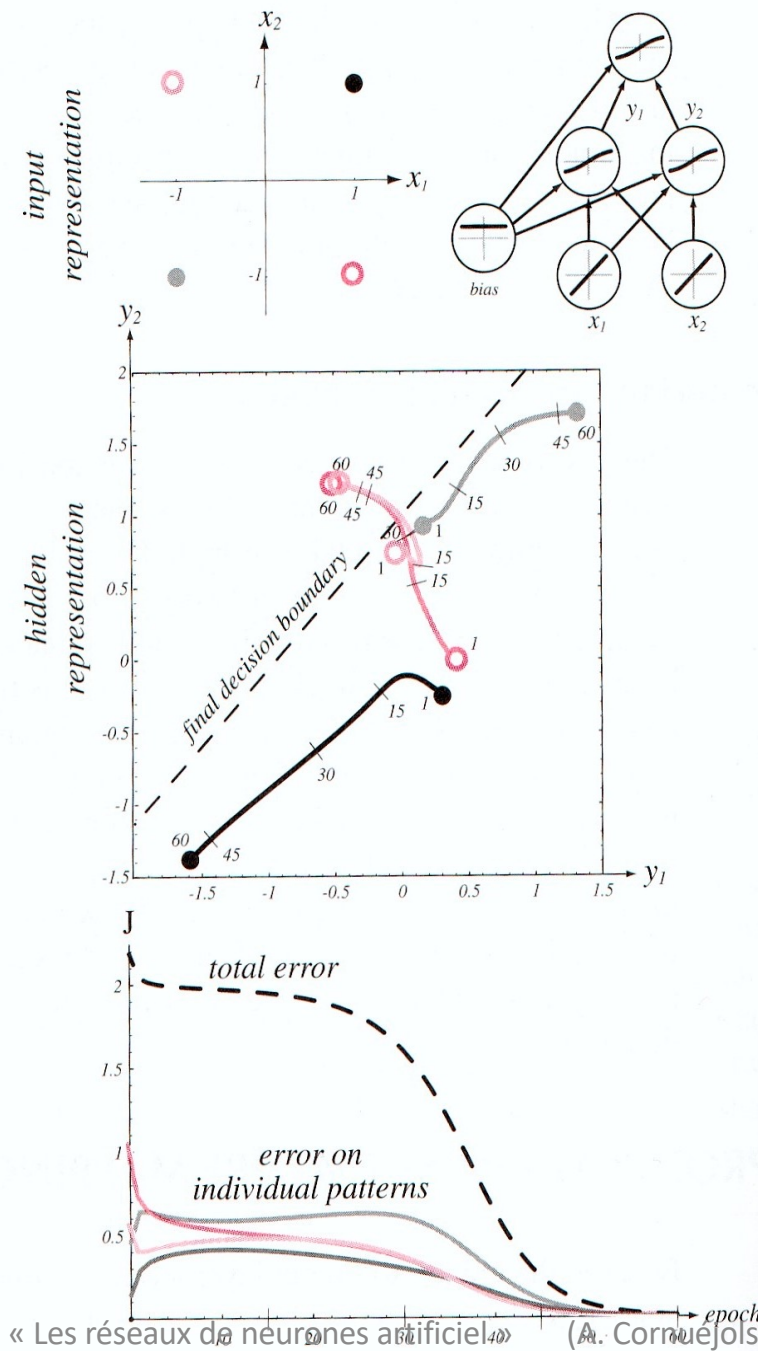
$W_7 =$

$W_8 =$

$W_9 =$

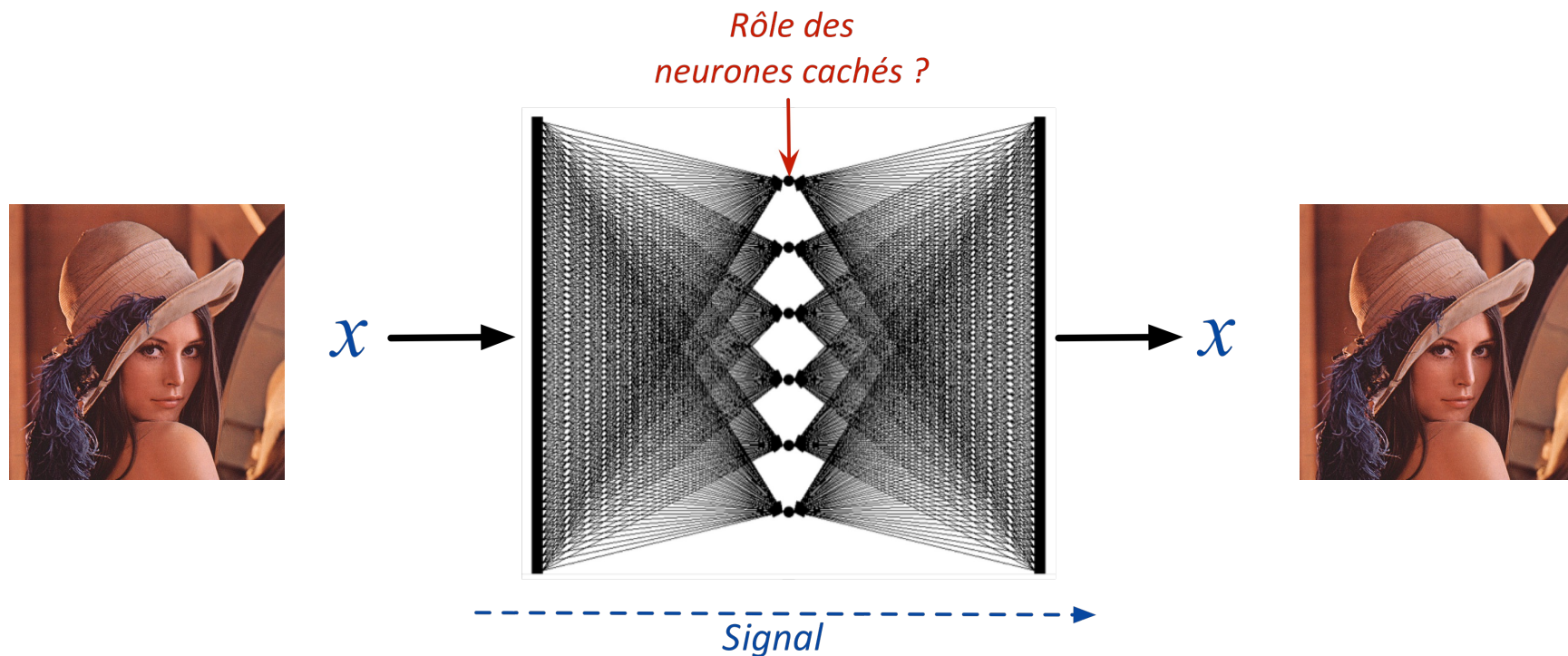


# Rôle de la couche cachée

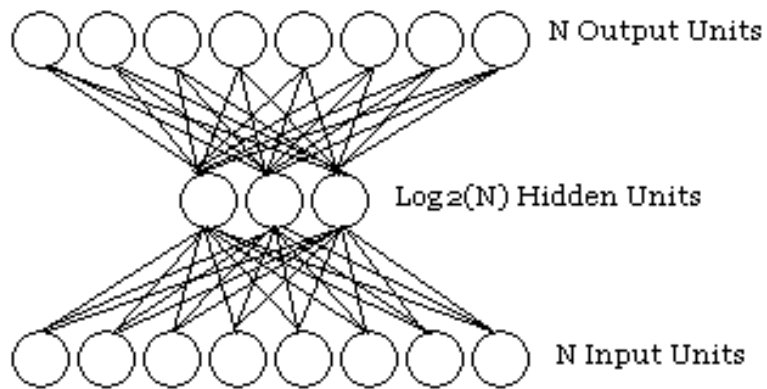


# Change of representation: **the role of hidden layer(s)**

- **Which new representation** (latent variables)?
- How to choose the architecture?



# Rôle de la couche cachée



Output: 00000001 00000010 00000100 ...

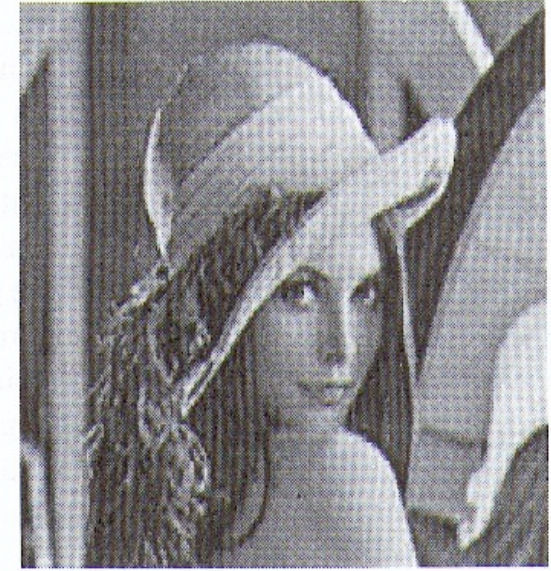
↑            ↑            ↑

Input: 00000001 00000010 00000100 ...

Figure 1. The encoding problem (Rumelhart, Hinton, & Williams, 1986)



(a)



(b)

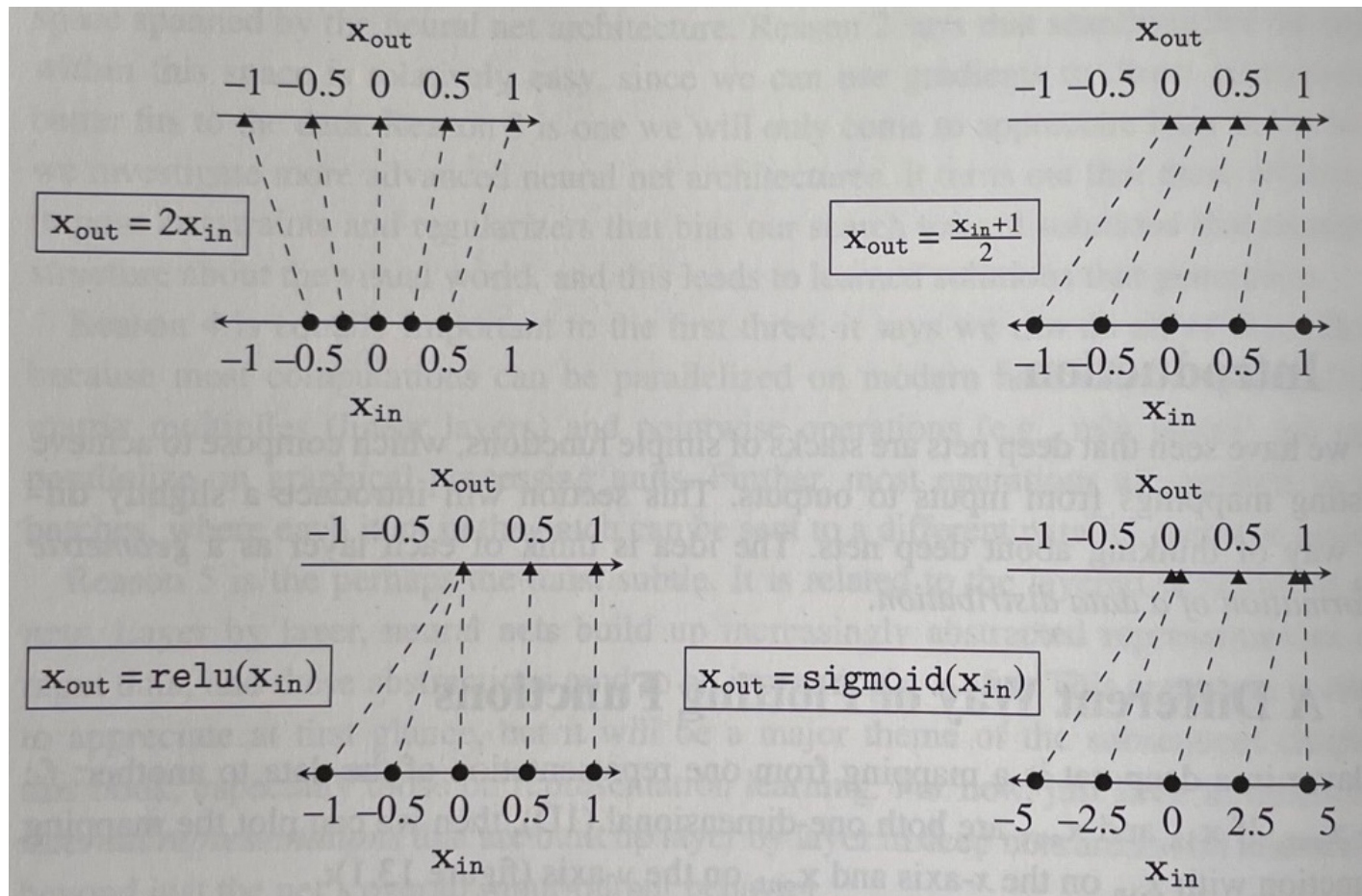


(c)

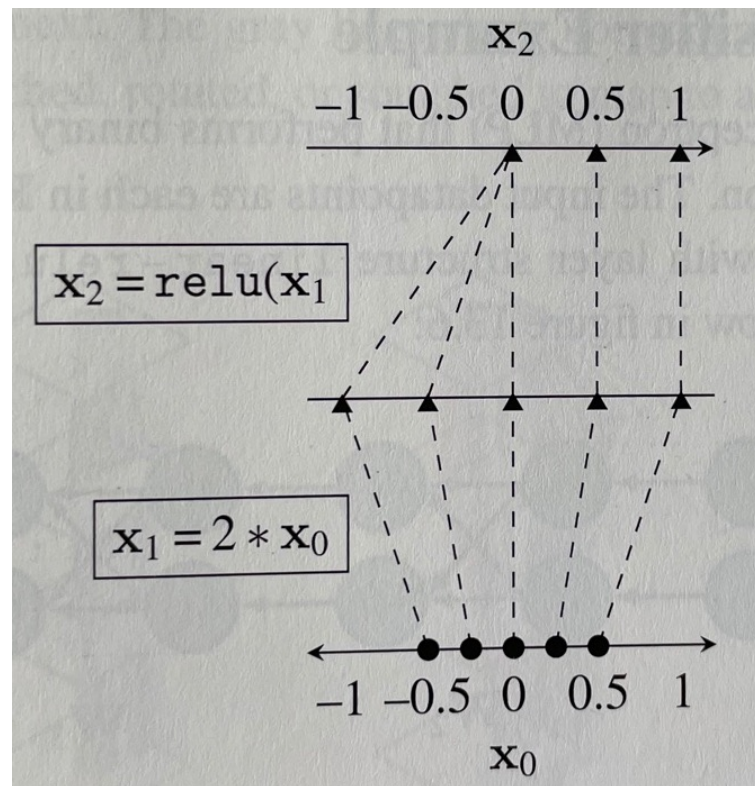


(d)

- Exemples de transformations par un neurone

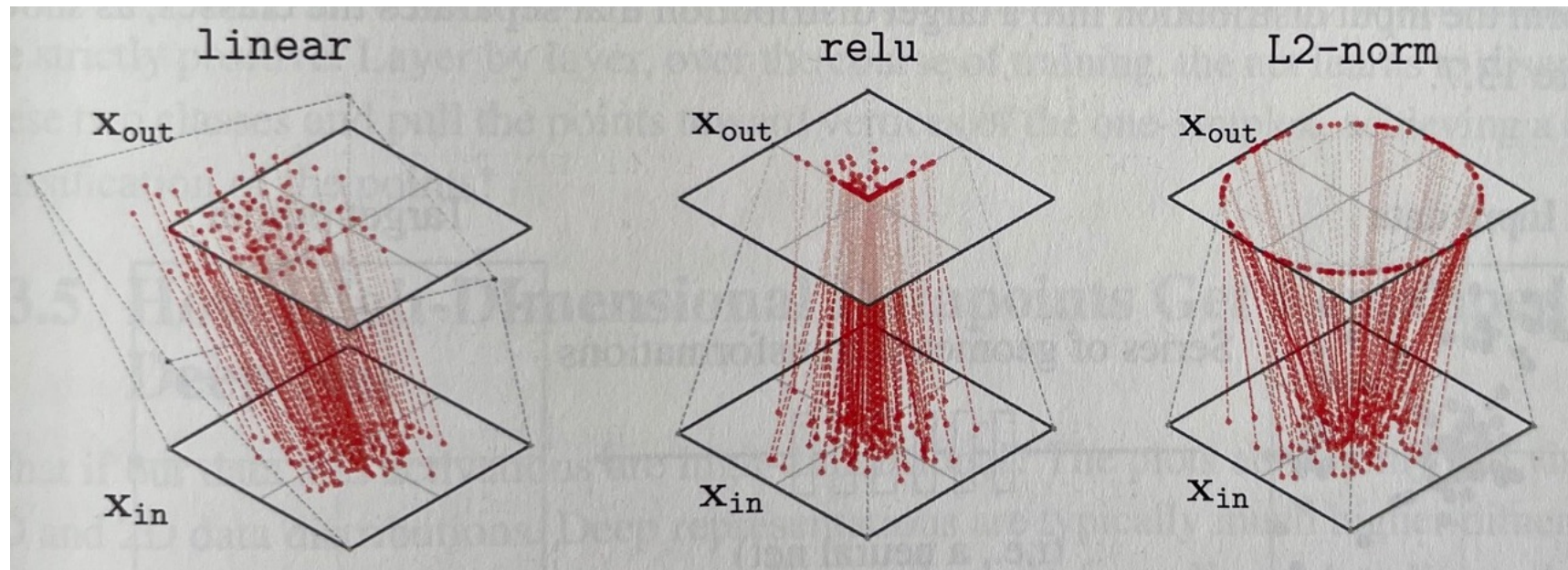


- Exemple de **séquence** de transformations (neurones)

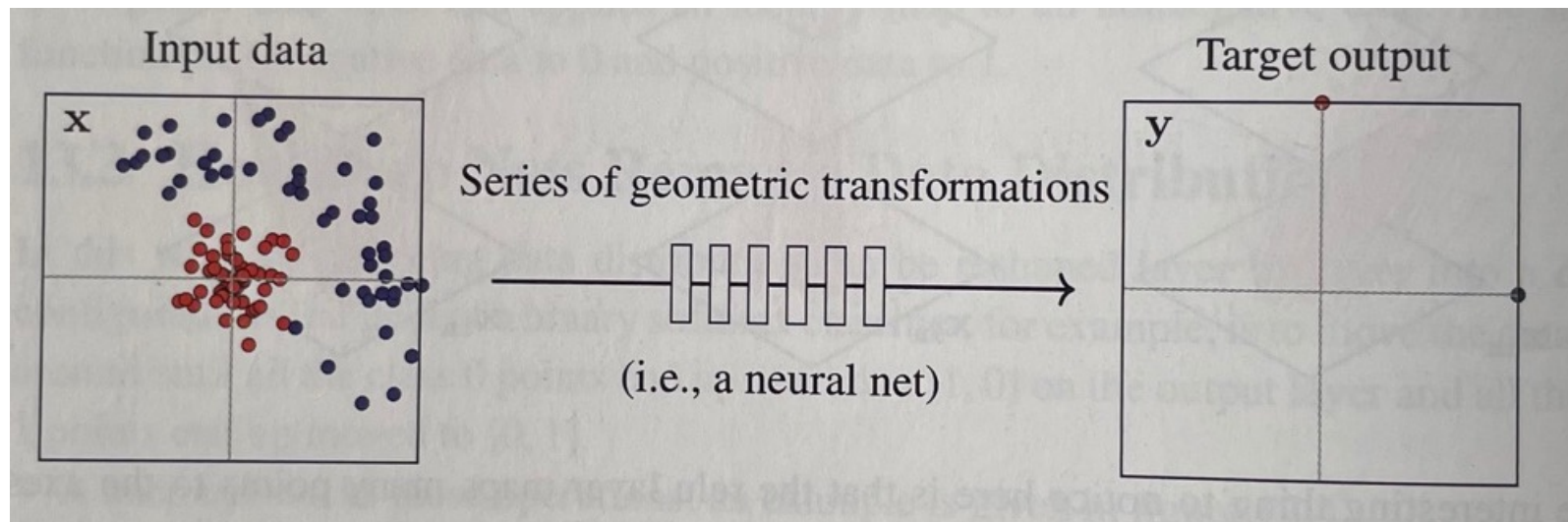


# Exemples de transformations en 2D

Entrées de neurones en 2D et sortie en 2D

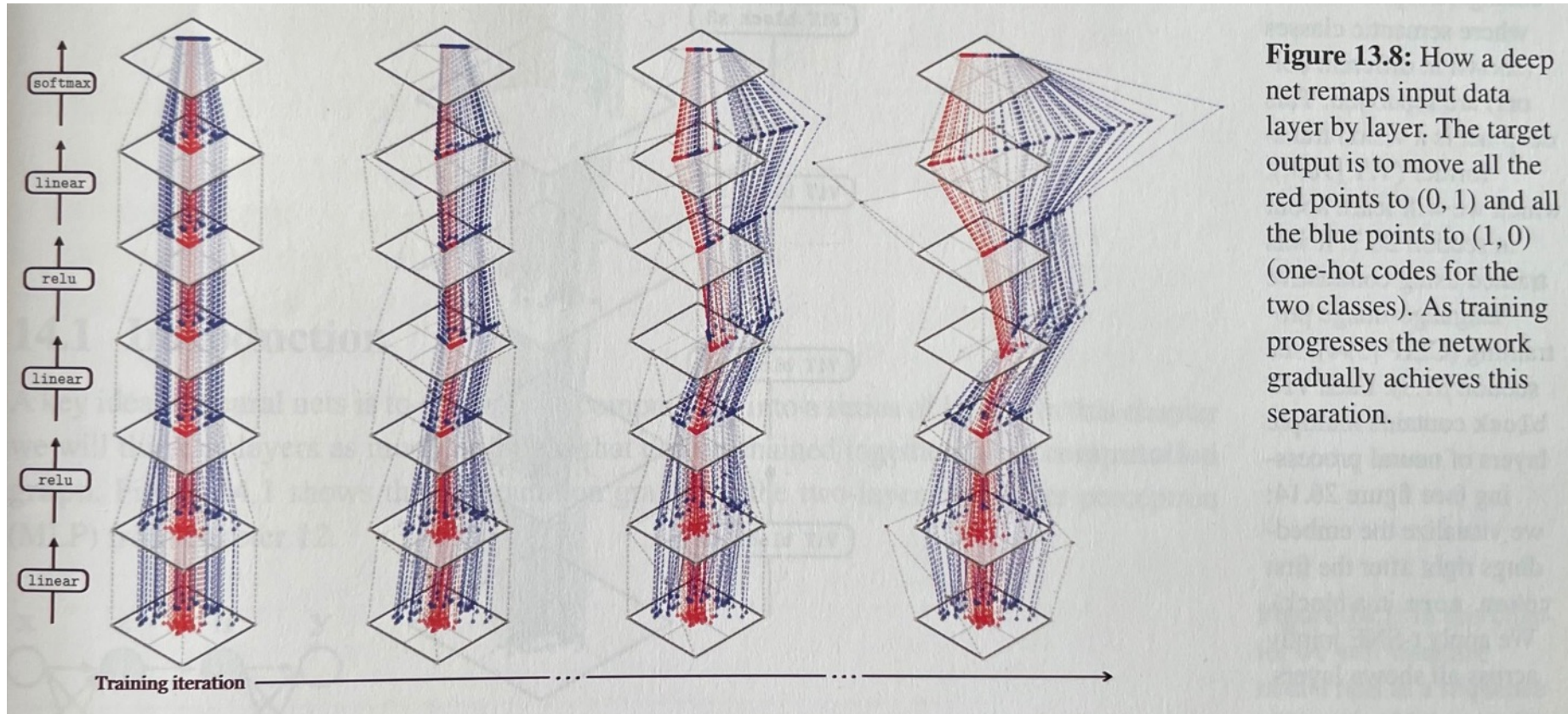


- Le but des transformations successives est de **rapprocher** la **distribution en sortie** du réseau de la **distribution cible**



Ici, on veut séparer les deux classes et utiliser le « *one hot encoding* » :  
classe « bleue »  $\rightarrow (1,0)$  et classe « rouge »  $\rightarrow (0,1)$

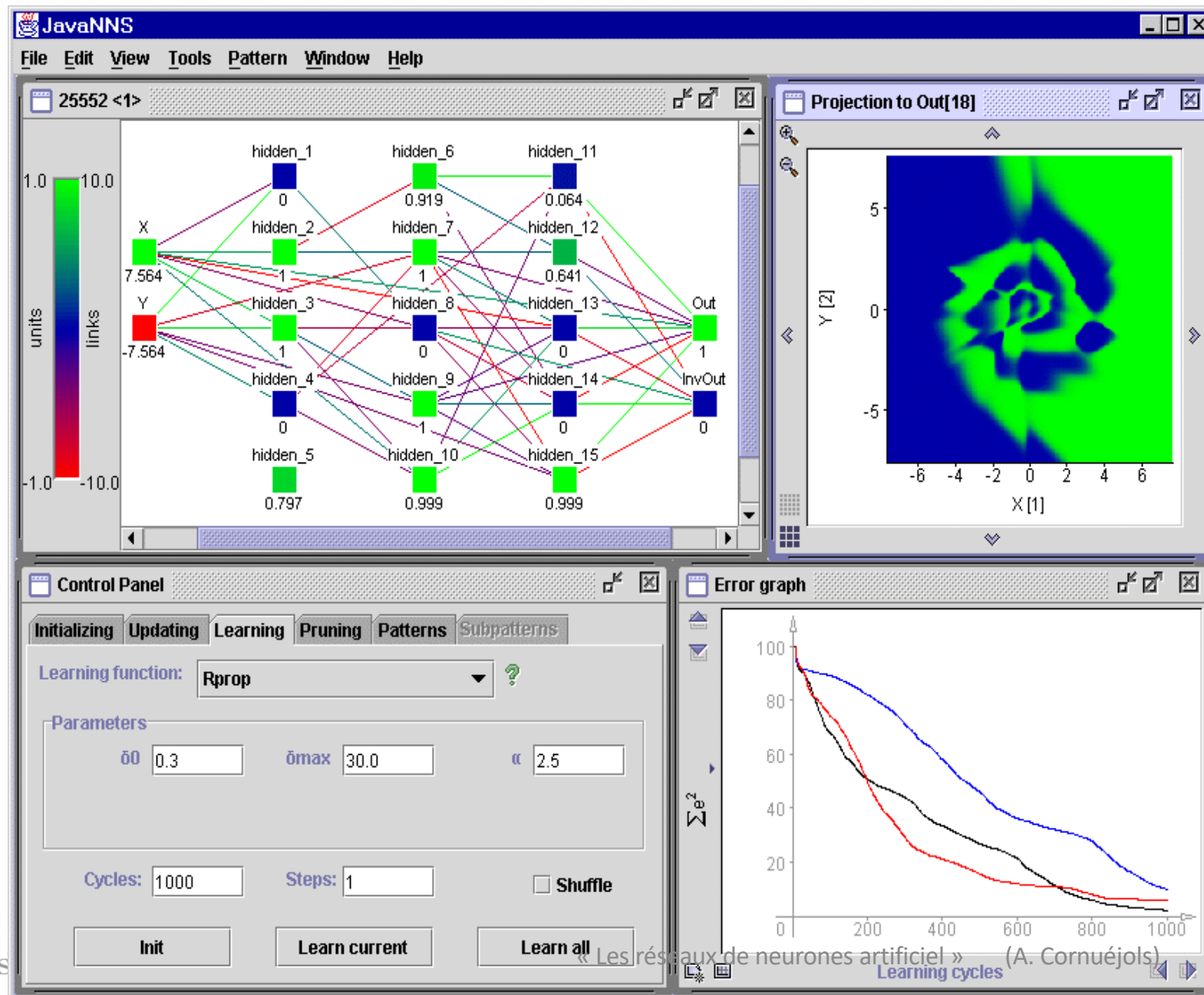
- Illustration



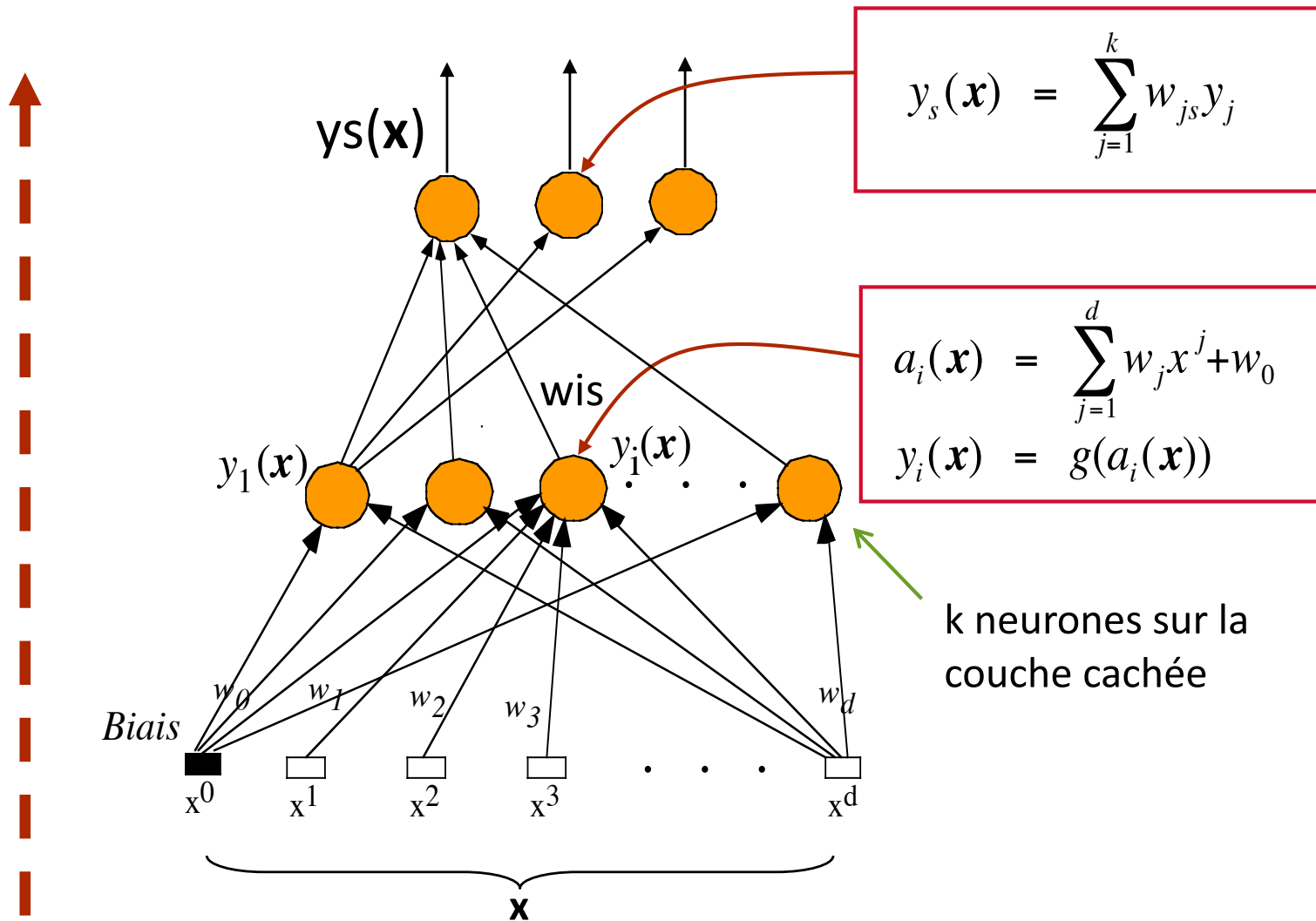
From [Antonio Torralba et al. (2024) « **Foundations of Computer Vision** »]

# L'apprentissage de représentations

# Exemple de réseau (simulateur JavaNNS)



# MLPs: feed forward (summary)



# Le Perceptron Multi-Couches : apprentissage

Objectif :

$$\mathbf{w}^* = \underset{\mathbf{w}}{\operatorname{argmin}} \frac{1}{m} \sum_{l=1}^m \left[ y(\mathbf{x}_l; \mathbf{w}) - u(\mathbf{x}_l) \right]^2$$

– Algorithme (rétro-propagation de gradient) : descente de gradient

Algorithme itératif :

$$\mathbf{w}^{(t)} = \mathbf{w}^{(t-1)} - \eta \nabla_E \mathbf{w}^{(t)}$$

Cas hors-ligne

(gradient total) :

$$w_{ij}(t) = w_{ij}(t-1) - \eta(t) \frac{1}{m} \sum_{k=1}^m \frac{\partial R_E(x_k, \mathbf{w})}{\partial w_{ij}}$$

où :

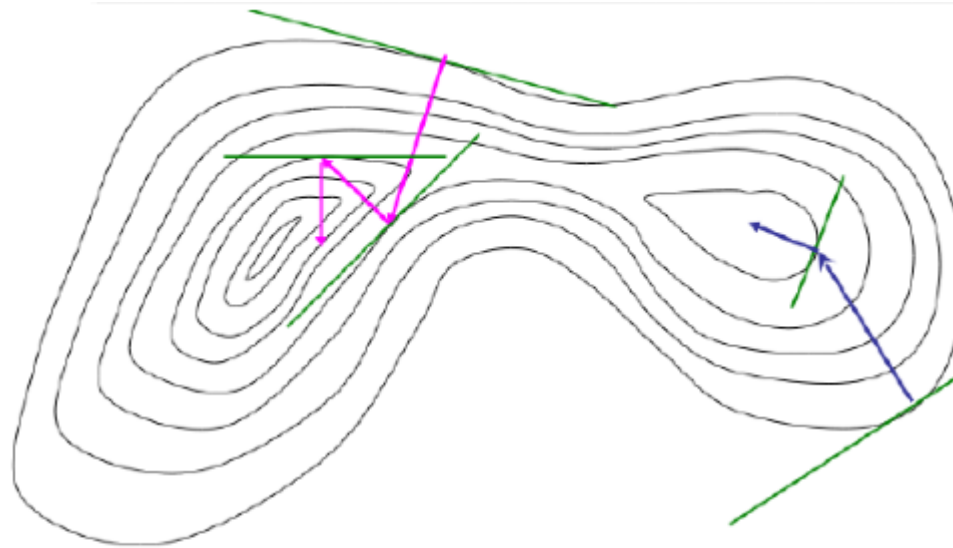
$$R_E(x_k, \mathbf{w}) = [t_k - f(x_k, \mathbf{w})]^2$$

Cas en-ligne

(gradient stochastique) :

$$w_{ij}(t) = w_{ij}(t-1) - \eta(t) \frac{\partial R_E(x_k, \mathbf{w})}{\partial w_{ij}}$$

# Descente de gradient



- Algorithme itératif :

On choisit un  $\mathbf{W}_{t=0}$  aléatoire

Bonne direction = celle où le critère baisse

Avancer un peu, mais pas trop

$$\mathbf{W}_{t+1} \leftarrow \mathbf{W}_t - \eta \left. \frac{d\mathcal{J}(\mathbf{W})}{d\mathbf{W}} \right|_{\mathbf{w}_t}$$

avec :

$\mathbf{W}$  les paramètres ;  $\eta$  : le pas ;  $\left. \frac{d\mathcal{J}(\mathbf{W})}{d\mathbf{W}} \right|_{\mathbf{w}_t}$  : la « bonne » direction

# Le Perceptron Multi-Couches : apprentissage

## 1. Présentation d'un exemple parmi l'ensemble d'apprentissage

Séquentielle, aléatoire, en fonction d'un critère donné

## 2. Calcul de l'état du réseau

## 3. Calcul de l'erreur = fct(sortie - sortie désirée) (e.g. = $(y^l - u^l)^2$ )

## 4. Calcul des gradients

Par l'algorithme de rétro-propagation de gradient

## 5. Modification des poids synaptiques

## 6. Critère d'arrêt

Sur l'erreur. Nombre de présentation d'exemples, ...

## 7. Retour en 1

# PMC : la **rétro-propagation de gradient**

1. Evaluation de l'erreur  $E^l$  (ou  $E$ ) due à chaque connexion :  $\frac{\partial E^l}{\partial w_{ij}}$

Idée : calculer l'erreur sur la connexion  $w_{ij}$  en fct de l'erreur après la cellule  $j$

$$\frac{\partial E^l}{\partial w_{ij}} = \frac{\partial E^l}{\partial a_j} \frac{\partial a_j}{\partial w_{ij}} = \delta_j z_i$$

– Pour les cellules de la couche de sortie :

$$\delta_k = \frac{\partial E^l}{\partial a_k} = g'(a_k) \frac{\partial E^l}{\partial y_k} = g'(a_k) \cdot (u_k(\mathbf{x}_l) - y_k)$$

– Pour les cellules d'une couche cachée :

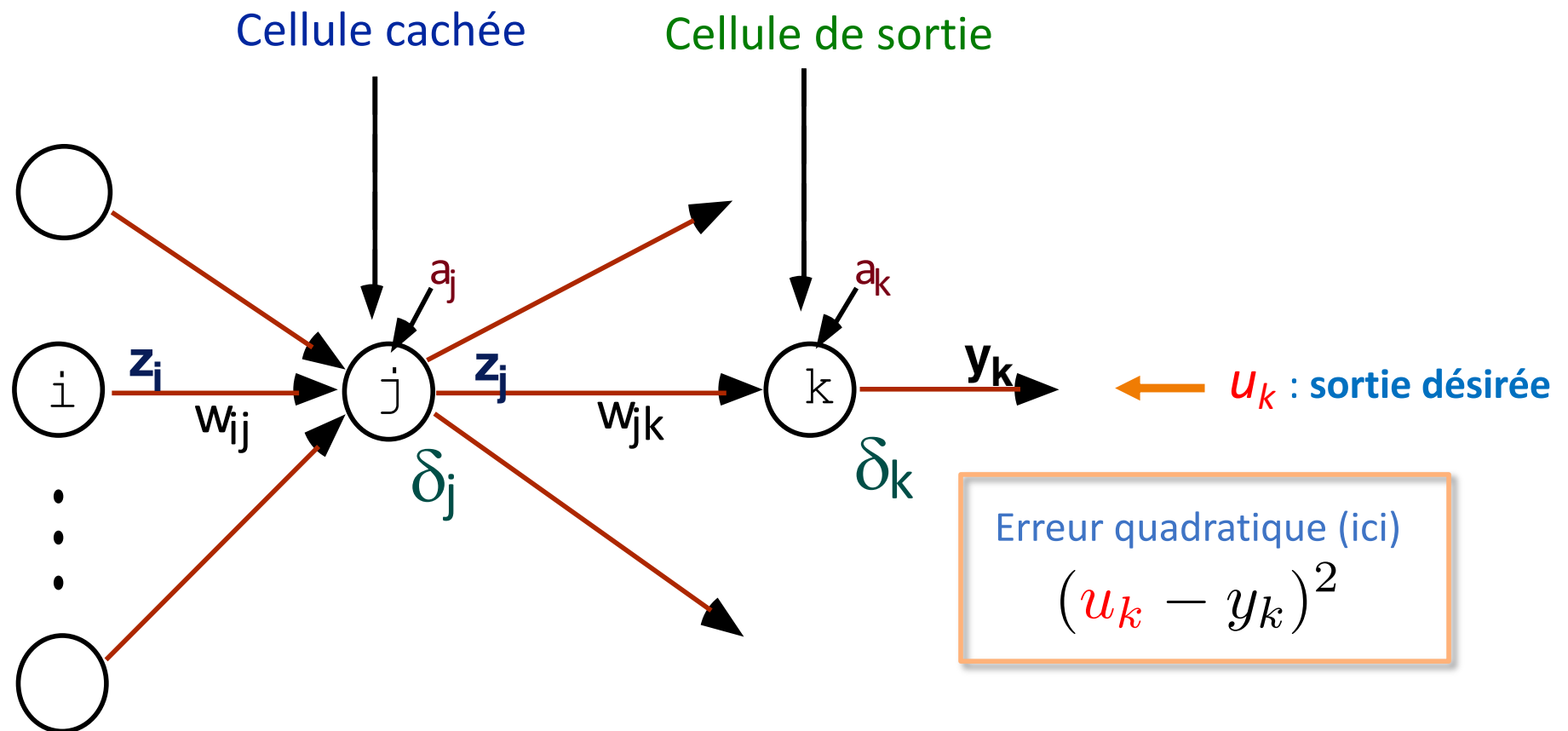
$$\delta_j = \frac{\partial E^l}{\partial a_j} = \sum_k \frac{\partial E^l}{\partial a_k} \frac{\partial a_k}{\partial a_j} = \sum_k \delta_k \frac{\partial a_k}{\partial z_j} \frac{\partial z_j}{\partial a_j} = g'(a_j) \cdot \sum_k w_{jk} \delta_k$$

# PMC : la rétro-propagation de gradient

$a_i$  : activation de la cellule  $i$

$z_i$  : sortie de la cellule  $i$

$\delta_i$  : erreur attachée à la cellule  $i$



# PMC : la rétro-propagation de gradient

- 2. Modification des poids

- On suppose gradient à pas (constant ou non) :  $\eta(t)$

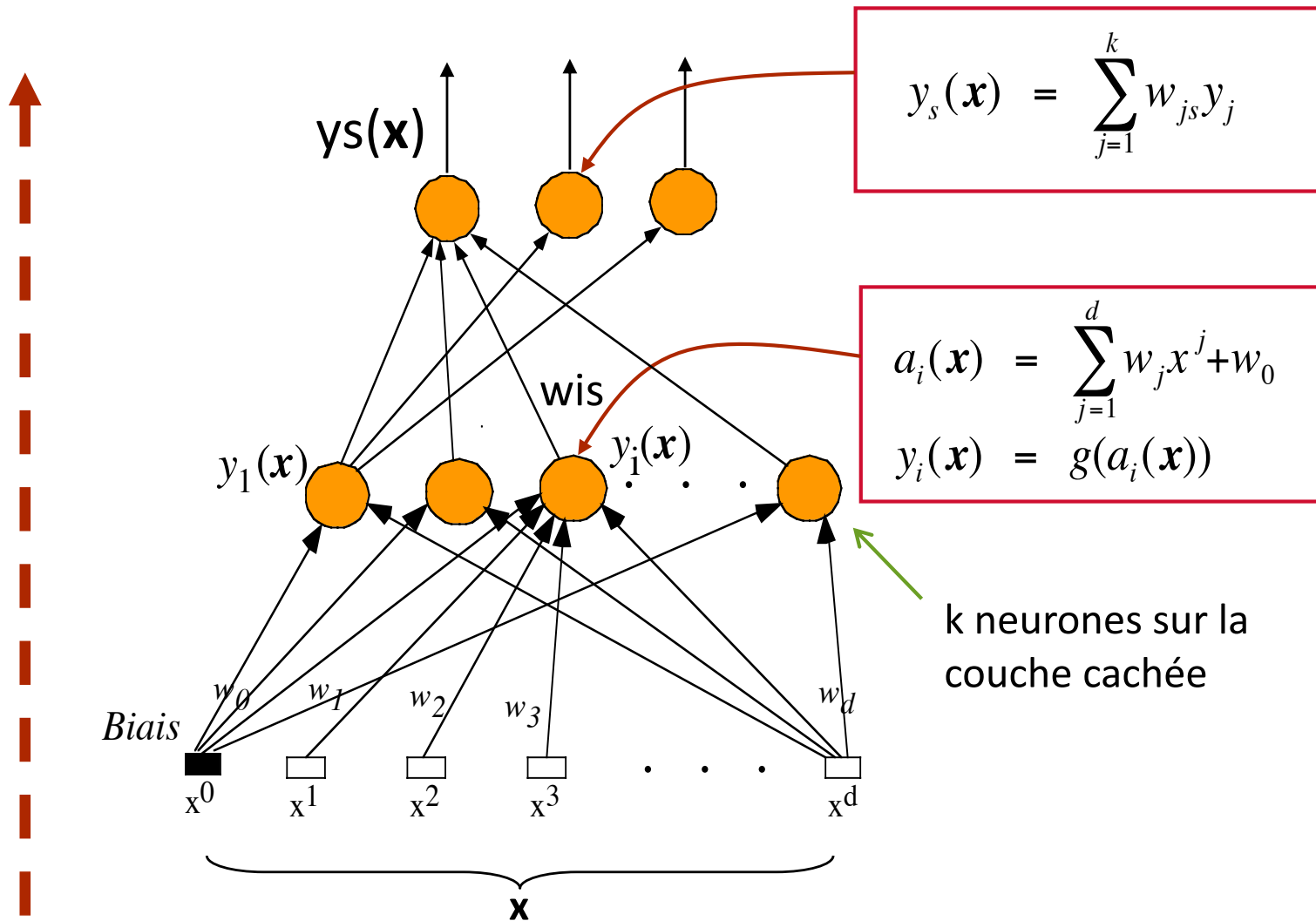
- Si apprentissage stochastique (après présentation de chaque exemple)

$$\Delta w_{ij} = \eta(t) \delta_j y_i \quad j : \text{neurone de sortie}$$

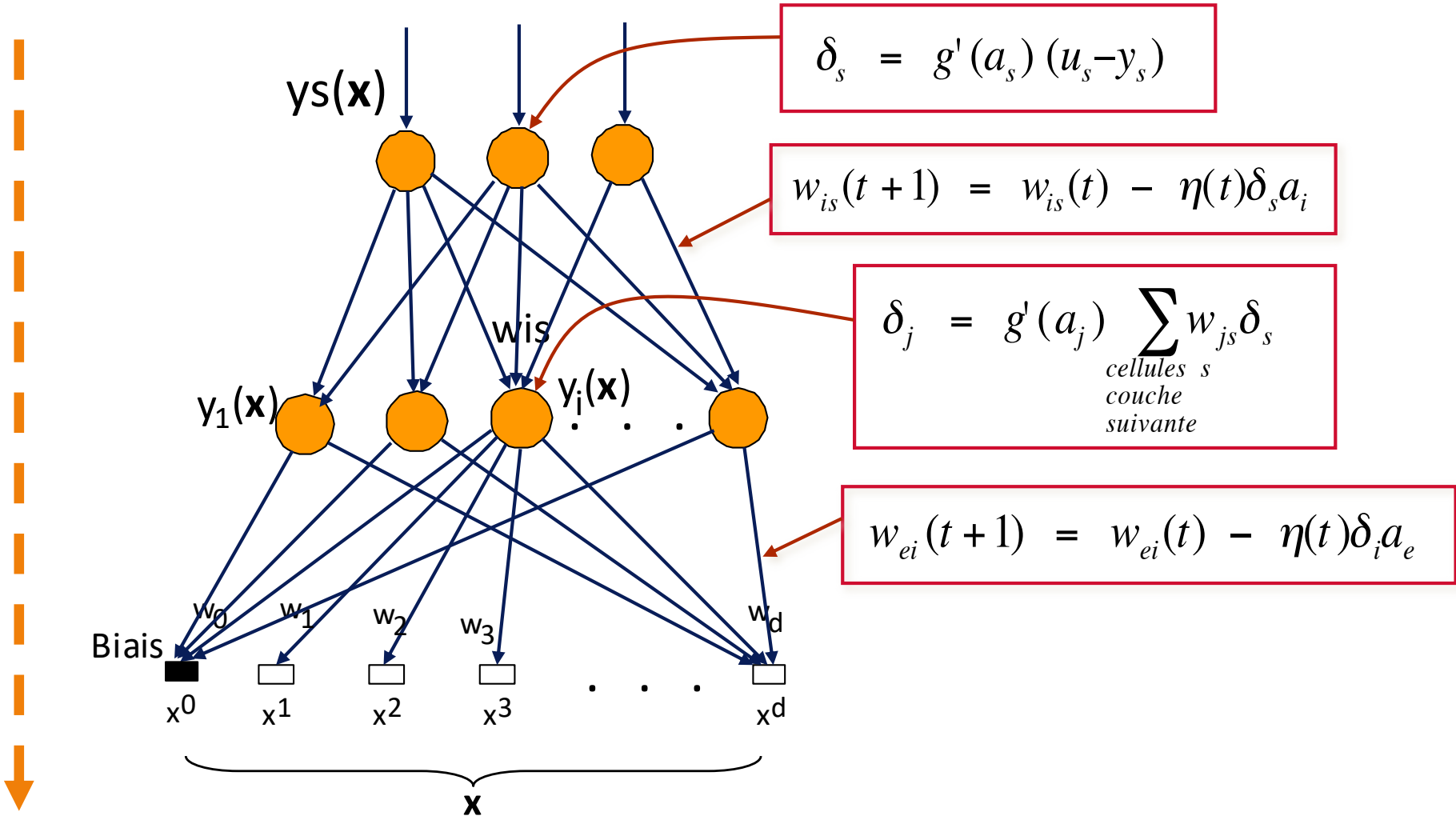
- Si apprentissage total (après présentation de l'ensemble des exemples)

$$\Delta w_{ij} = \eta(t) \sum_{n=1}^m \delta_j^n z_i^n$$

# Le PMC : passes avant et arrière (résumé)



# Le PMC : passes avant et arrière (résumé)

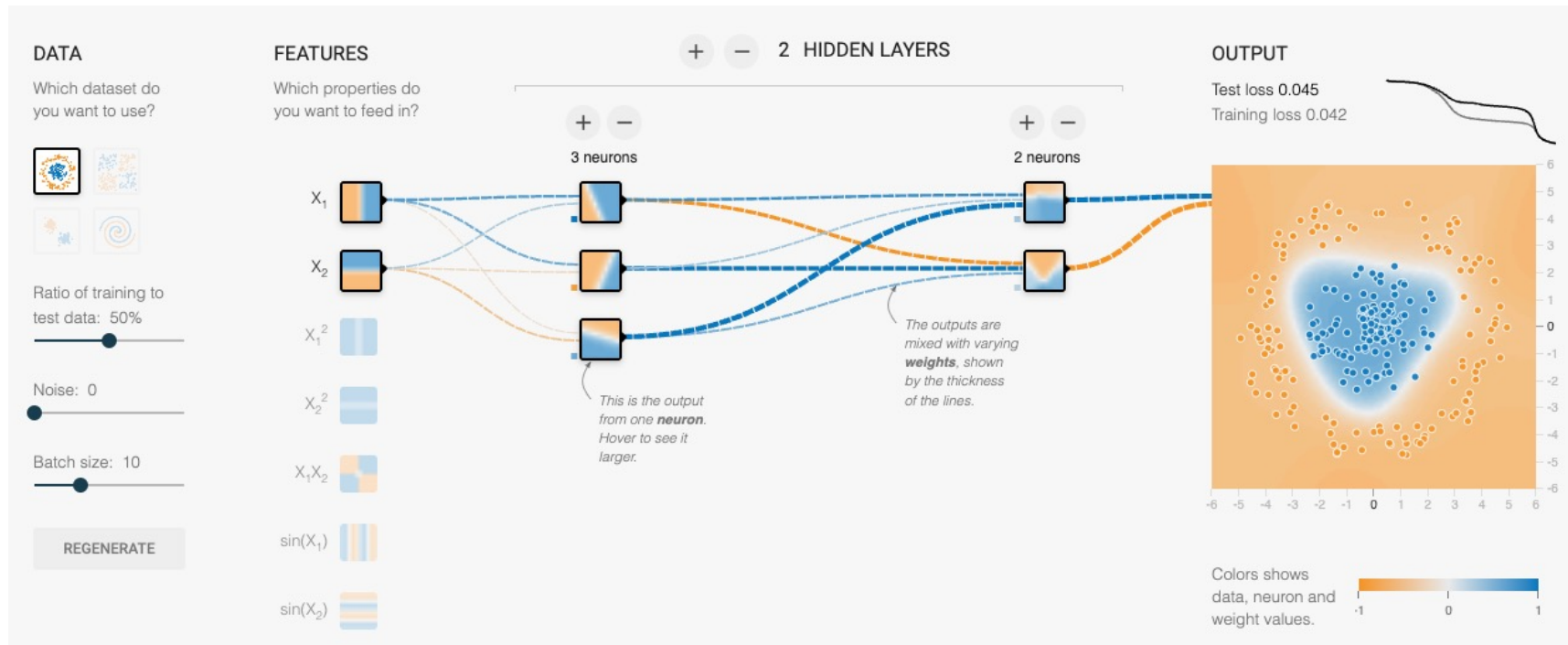


# PMC : La rétro-propagation de gradient

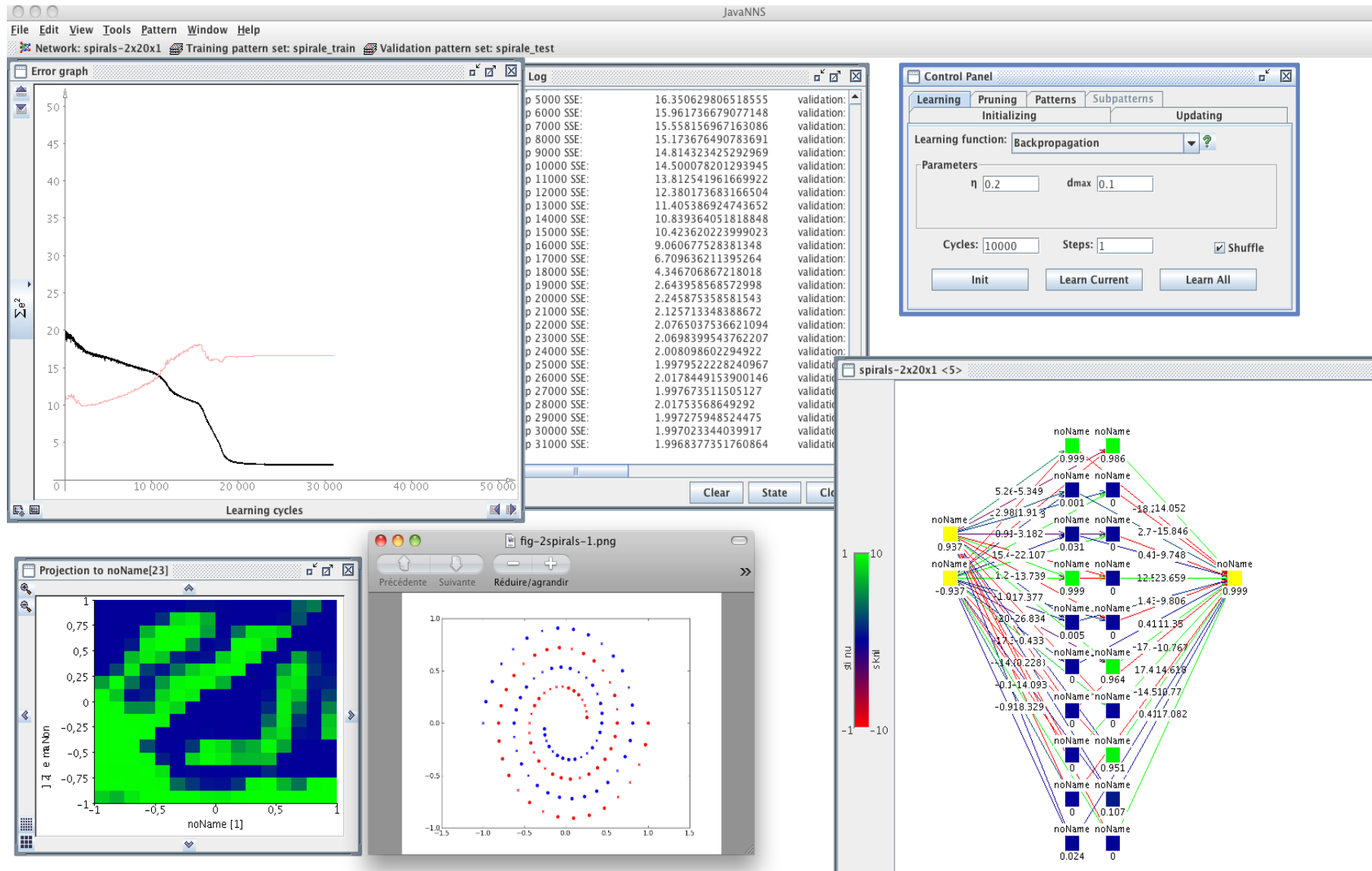
- Efficacité en apprentissage
  - En  $O(w)$  pour chaque passe d'apprentissage,  $w = \text{nb de poids}$
  - Il faut typiquement plusieurs centaines de passes (voir plus loin)
  - Il faut typiquement recommencer plusieurs dizaines de fois un apprentissage en partant avec différentes initialisations des poids
- Efficacité en reconnaissance
  - Possibilité de temps réel

# Démo

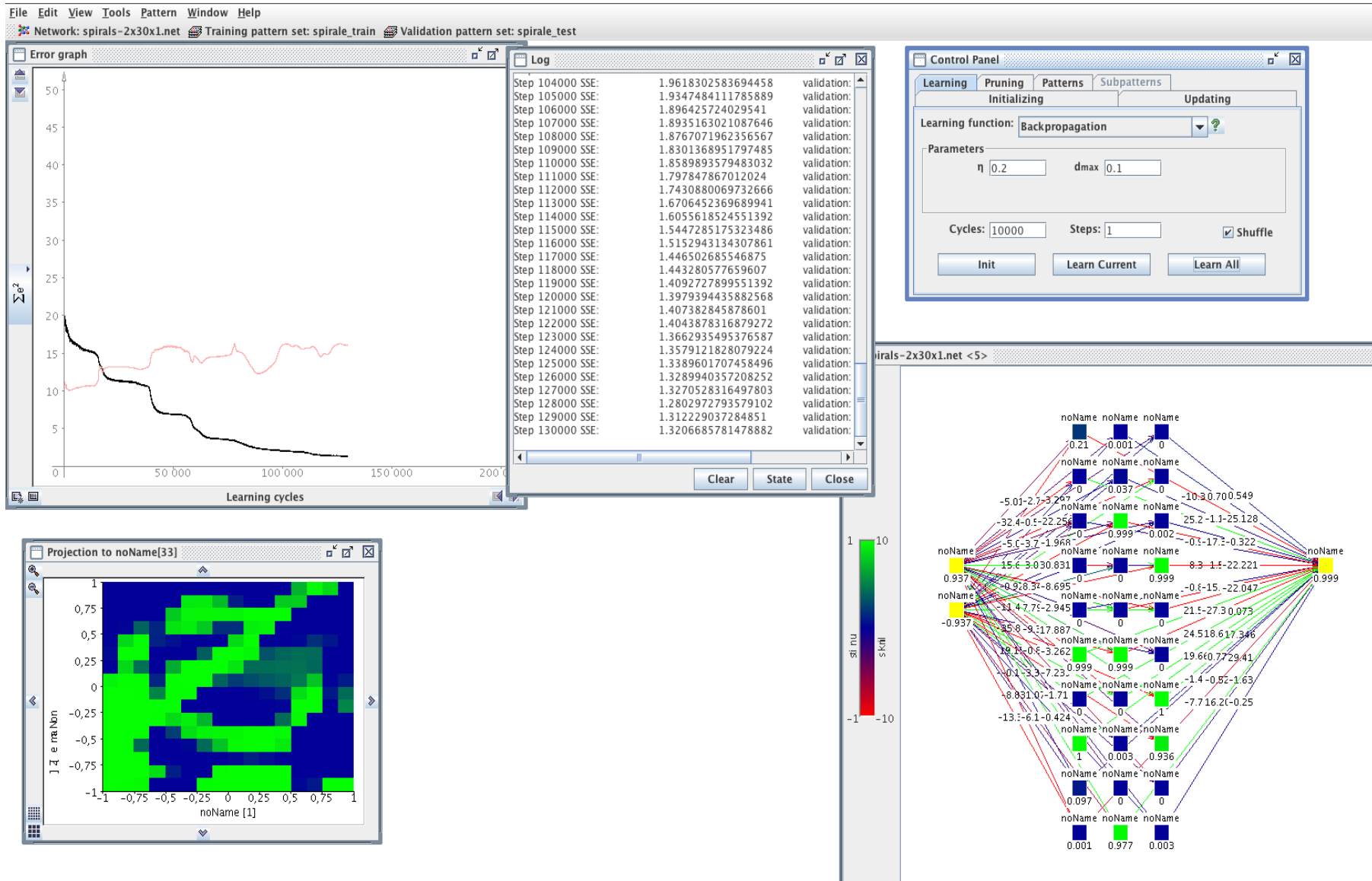
[playground.tensorflow.org](https://playground.tensorflow.org)



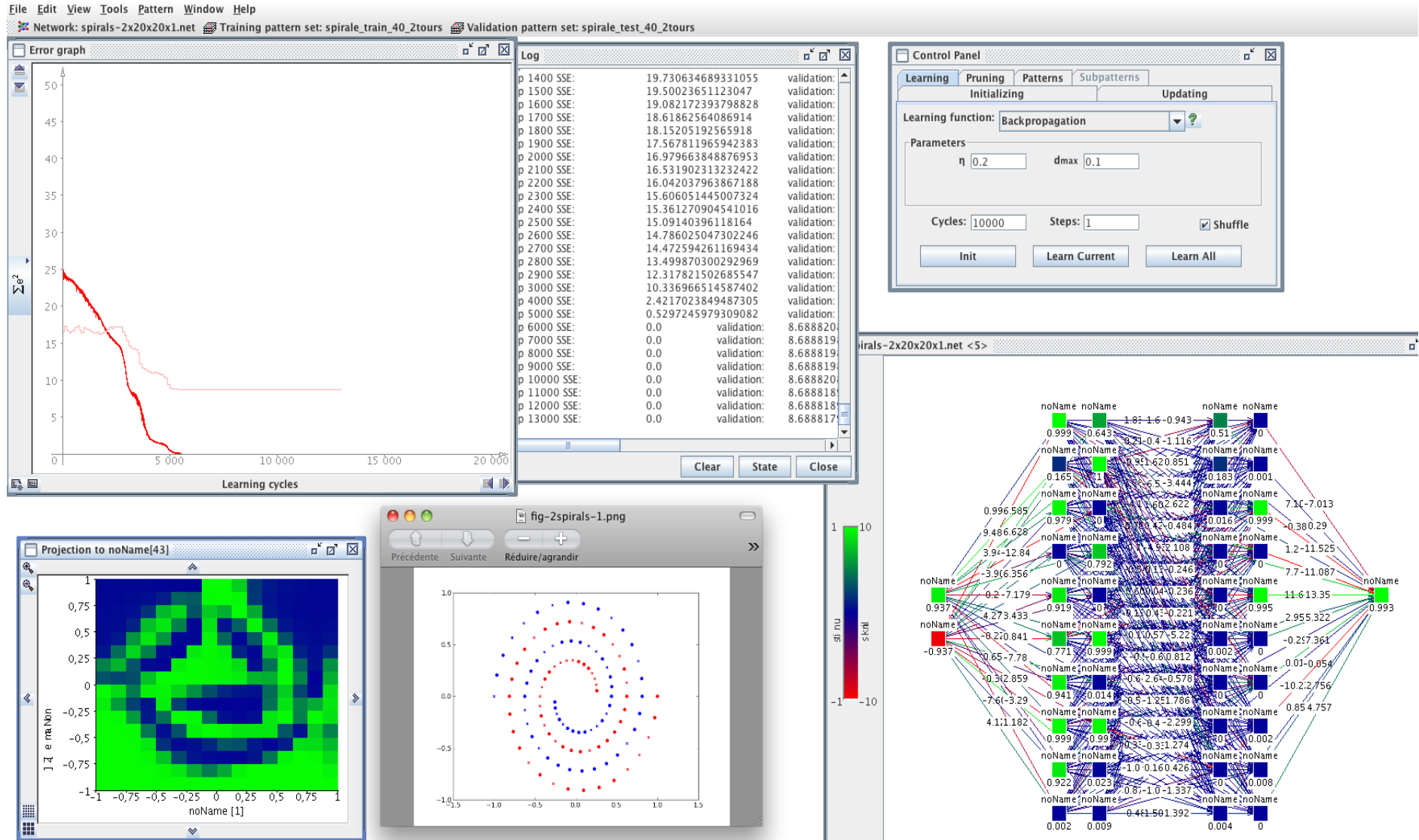
# Illustration



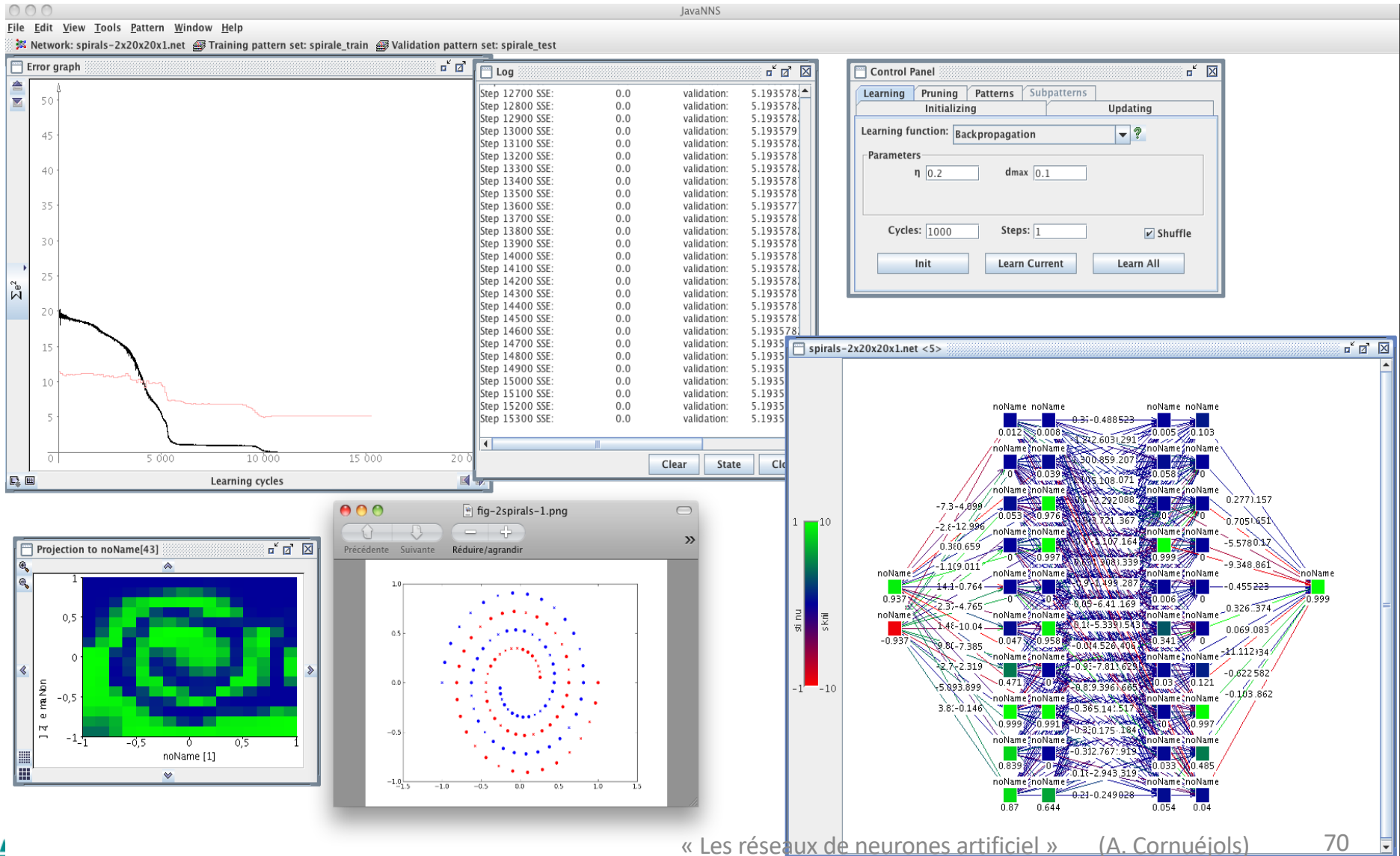
# Illustration



# Illustration



# Illustration

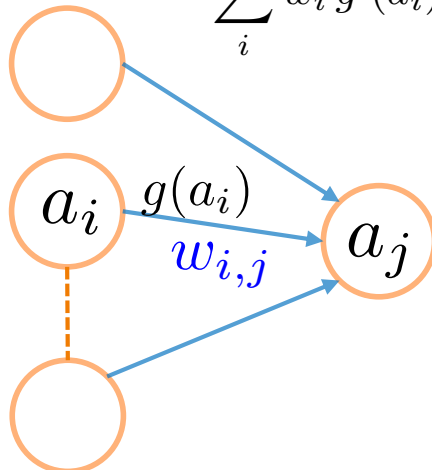


# Les neurones des couches cachés : que représentent-ils ?

- Dans la descente de gradient par rétro-propagation, **symétrie** :
  - entre les **poids** des connexions
  - et les **exemples**
- On peut donc **optimiser sur les exemples** plutôt que sur les poids des connexions

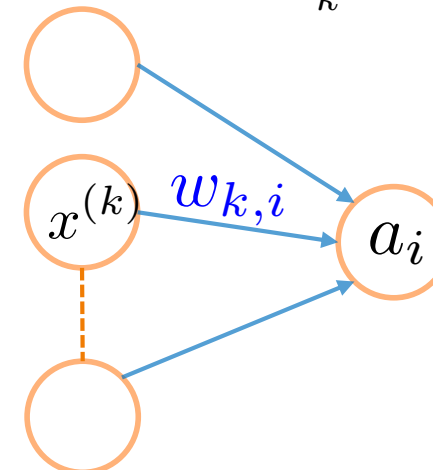
## Couche cachée :

$$a_j = \sum_i w_{i,j} g(a_i)$$
$$\frac{\partial a_j}{\partial x^{(k)}} = \sum_i w_i \frac{\partial g(a_i)}{\partial x^{(k)}} = \sum_i w_i \frac{\partial g(a_i)}{\partial a_i} \frac{\partial a_i}{\partial x^{(k)}}$$
$$= \sum_i w_i g'(a_i) \frac{\partial a_i}{\partial x^{(k)}}$$



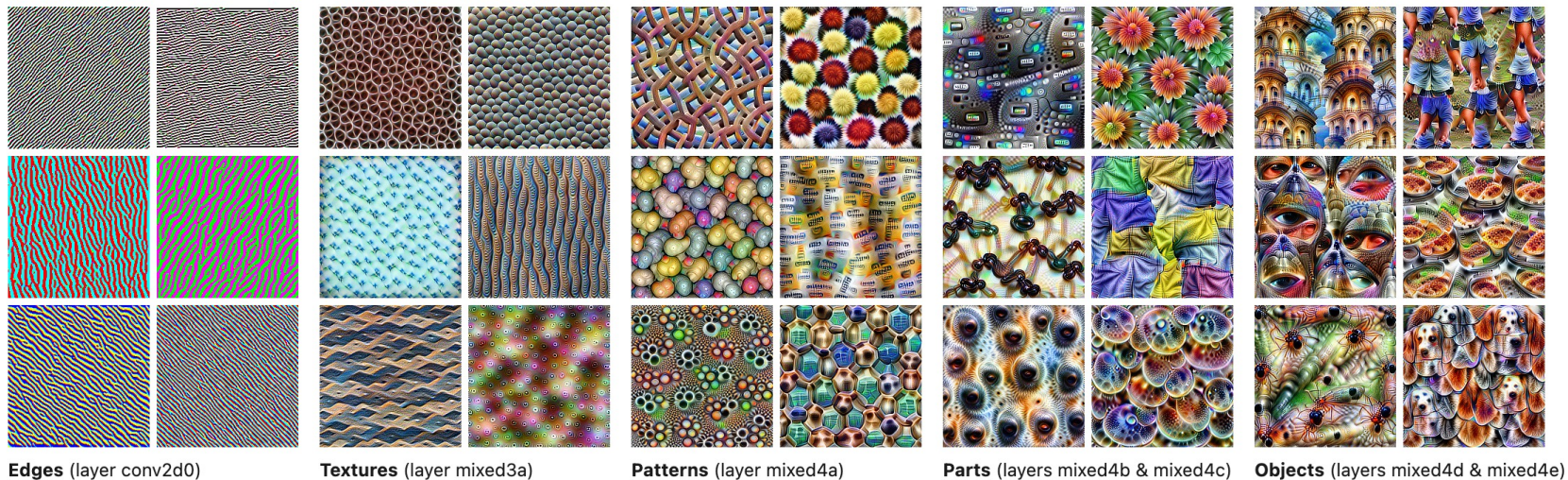
## Couche d'entrée :

$$a_i = \sum_k w_{k,i} x^{(k)}$$
$$\frac{\partial a_i}{\partial x^{(k)}} = w_{k,i}$$



# Les neurones des couches cachés : que représentent-ils ?

- Dans la descente de gradient par rétro-propagation, **symétrie** :
  - entre les **poids** des connexions
  - et les **exemples**
- On peut donc **optimiser sur les exemples** plutôt que sur les poids des connexions



<https://distill.pub/2017/feature-visualization/>

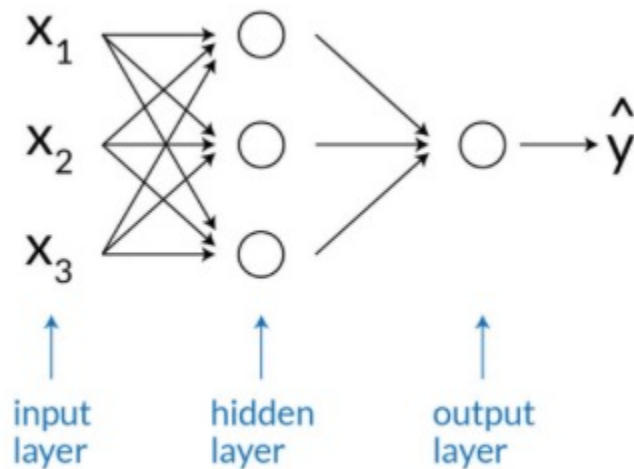
## Critère d'arrêt

- Le problème des optima **locaux**
- Différence entre « **batch** » et « **en-ligne** »
  - La minimisation stochastique permet (en partie) d'échapper aux minima locaux
- Danger : le **sur-apprentissage** (« over-fitting »)
  - Early stopping rule

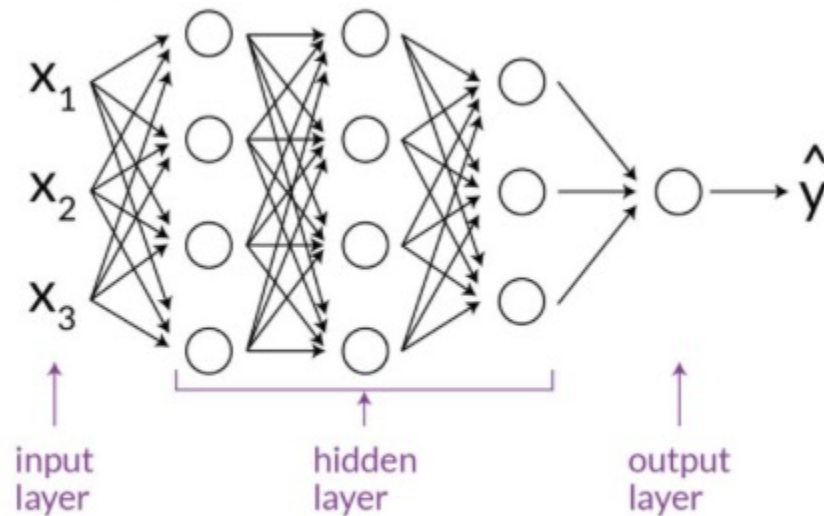
# Comment choisir l'architecture du RN ?

- Contrôle la performance en généralisation

Shallow Neural Network

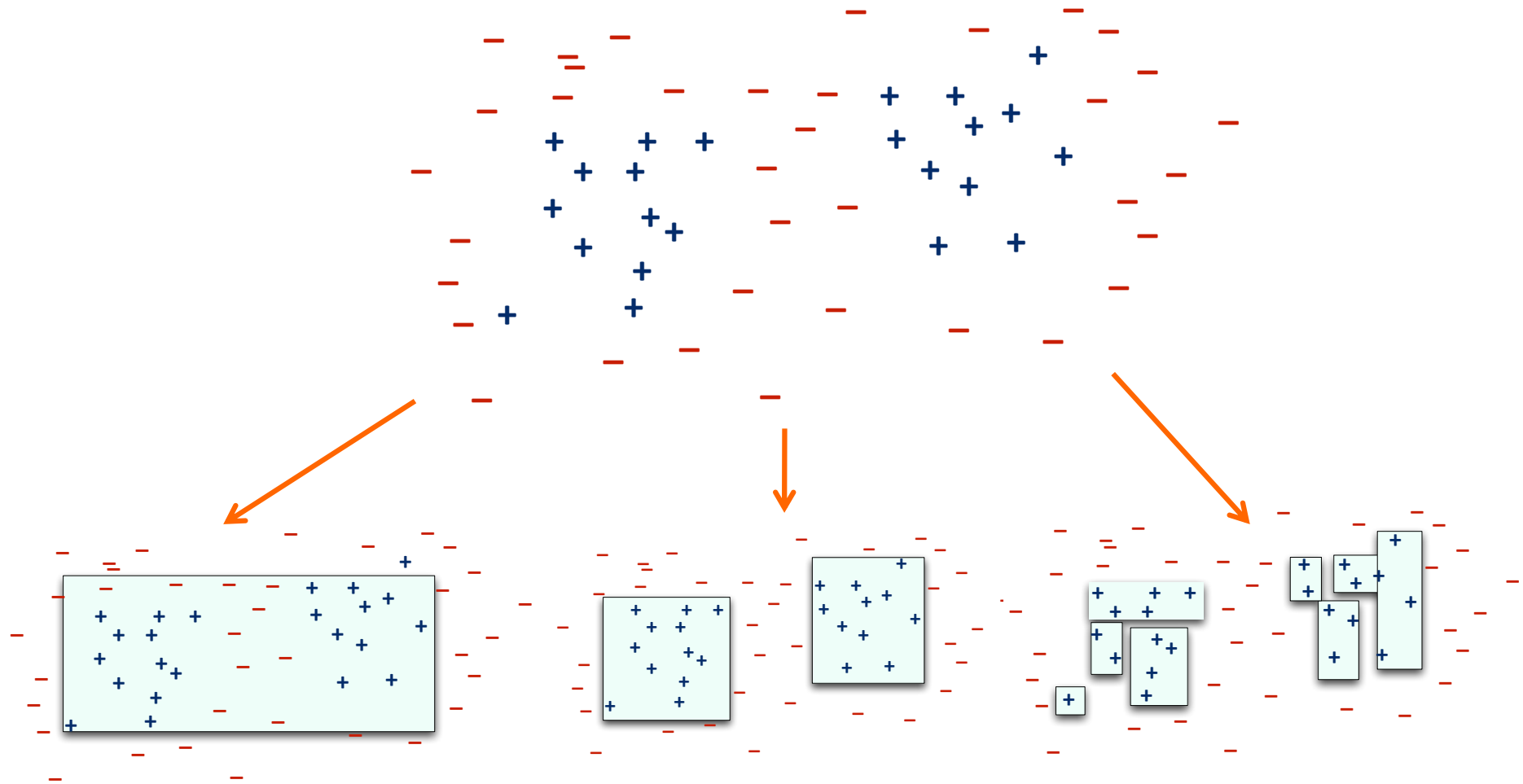


Deep Neural Network



Shallow and Deep Neural Networks.

# Illustration



Sous-apprentissage

Modèle « correct »

Sur-apprentissage

# La régression et le sur-apprentissage

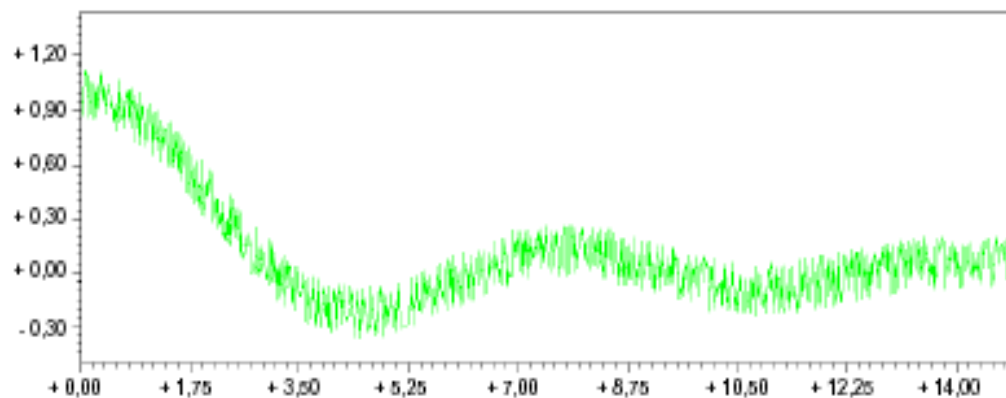


Figure 1-10. Un signal que l'on voudrait modéliser

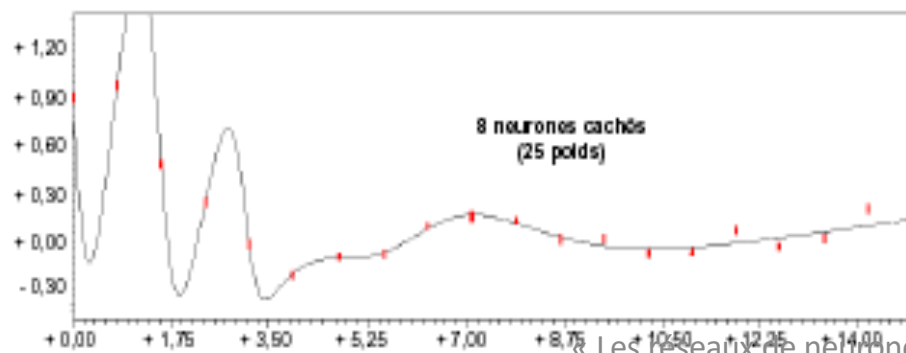
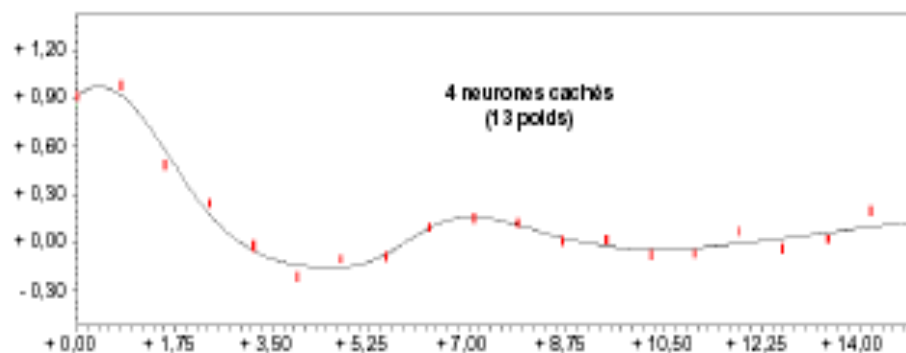
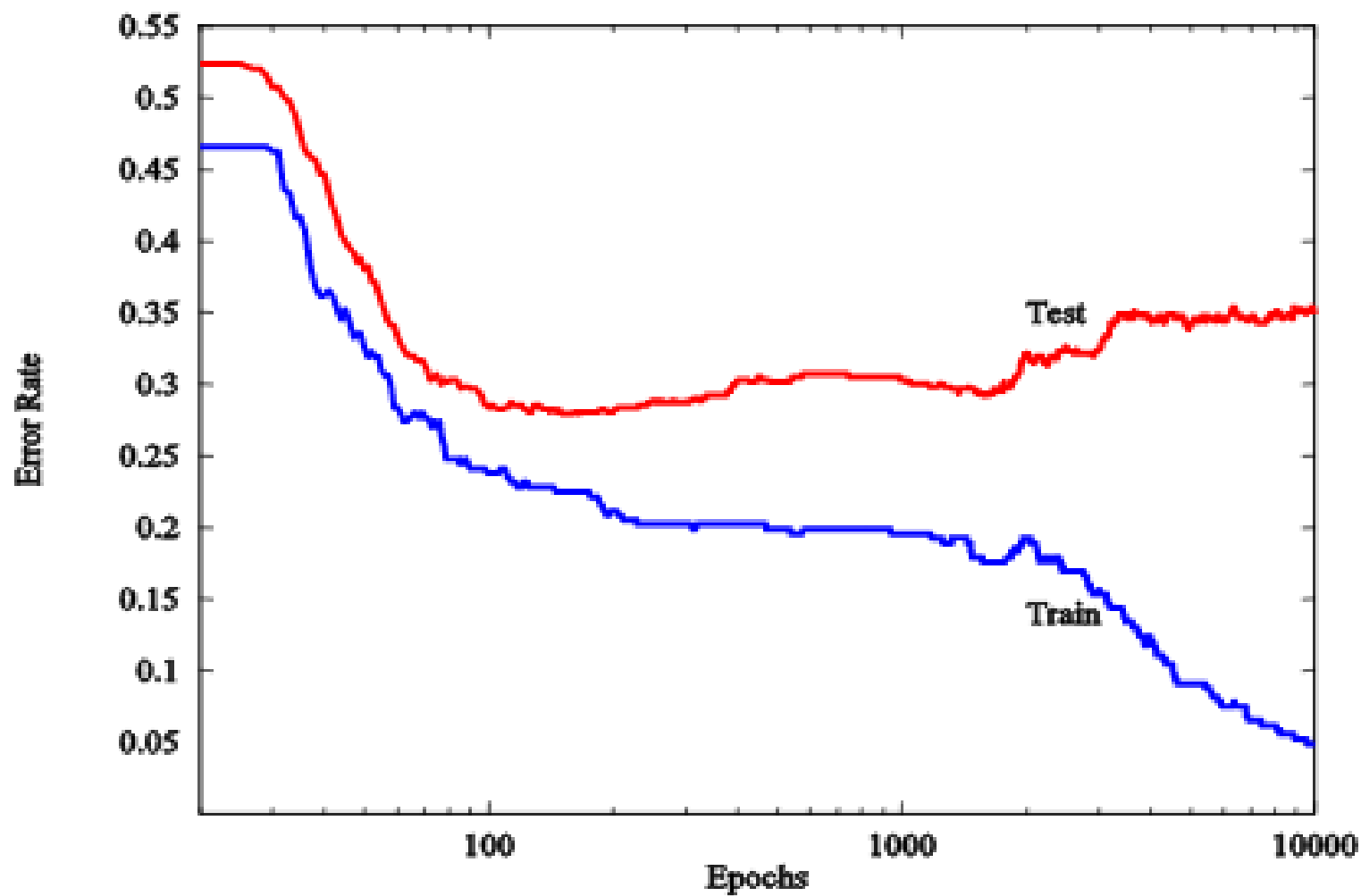
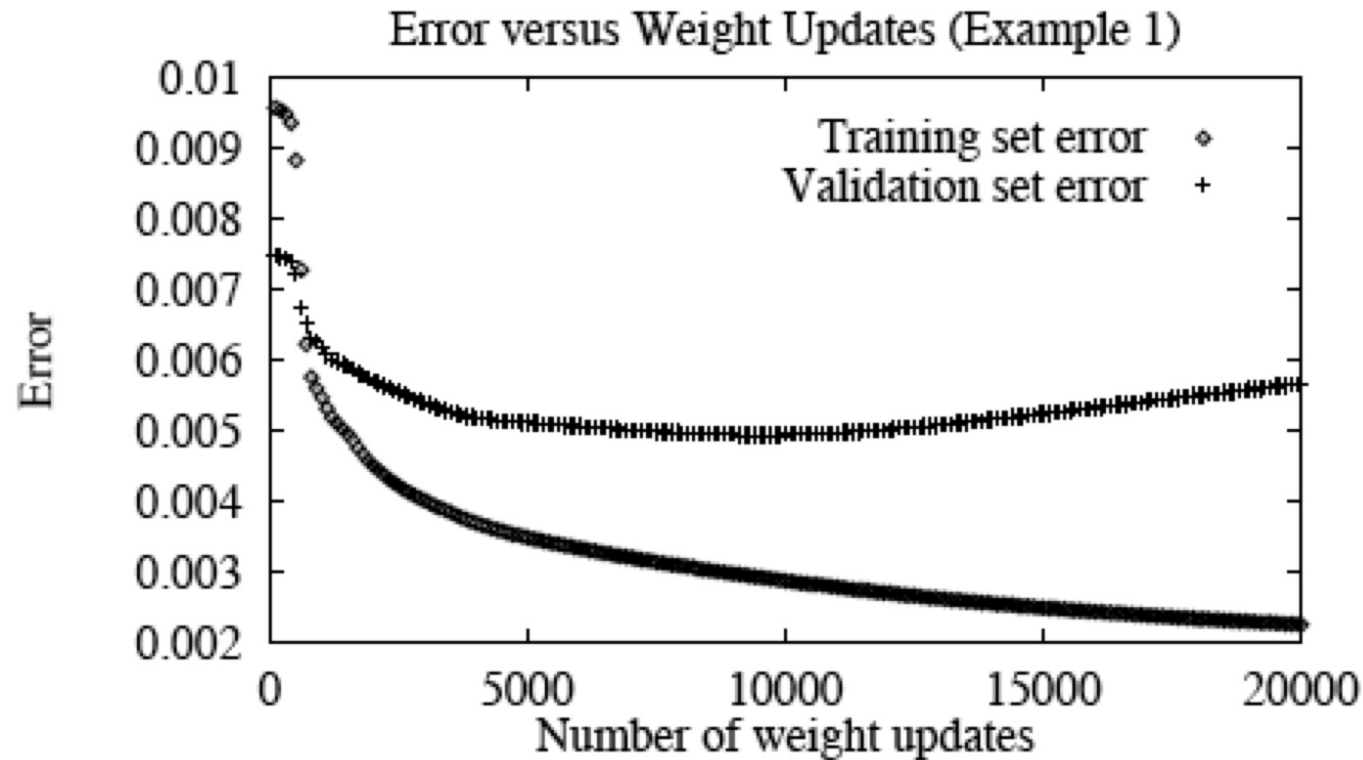


Figure 1-14.  
Toutes choses égales par ailleurs, le réseau de neurones le plus parcimonieux possède les meilleures propriétés de généralisation.

# Sur-apprentissage



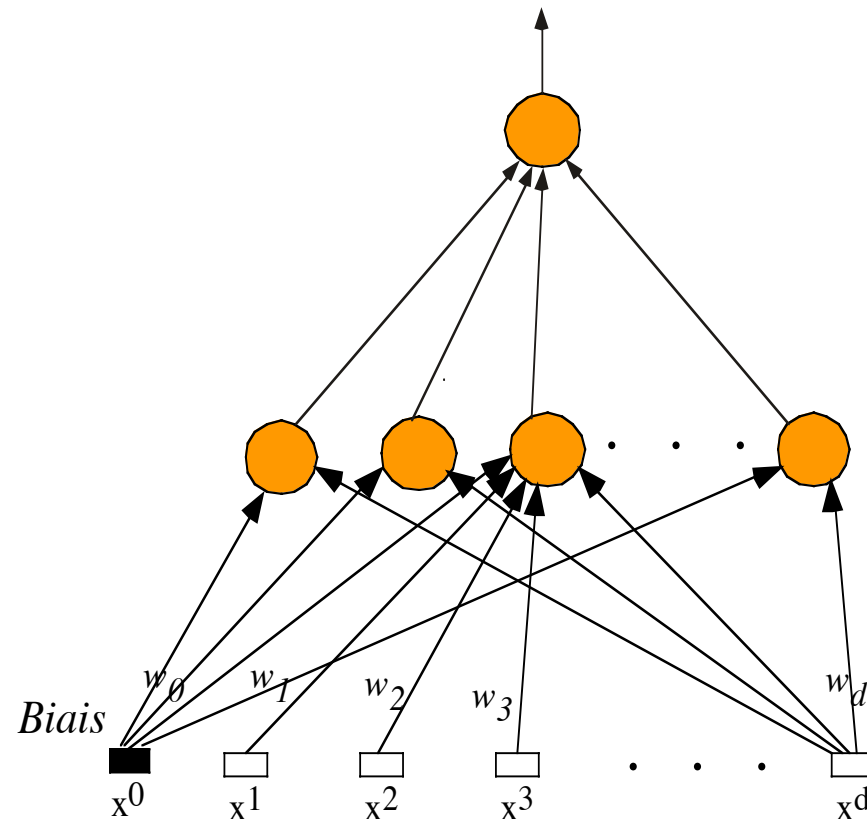
# Sur-apprentissage (RN)



- Courbes pour 1 000 exemples
- *Quelles courbes si on avait 2 000 exemples ?*

# Le codage de la couche de sortie

- **Un seul** neurone de sortie
  - $\{0,1\}$
  - $[0,1]$ 
    - Erreur quadratique
  - Probabilité  $[0,1]$ 
    - Critère entropique
- **Plusieurs** neurones de sortie
  - Sortie considérée comme une **probabilité d'appartenance**  
Voir **critère entropique**  
(tr. suivant)



## La « calibration » de la sortie

- Comment obtenir **une probabilité en sortie** ?
- Une solution :
  - Utilisation d'un signal d'erreur par **entropie croisée**

$$l(y_i, \hat{y}_i) = -[y_i * \log \hat{y}_i + (1 - y_i) * \log(1 - \hat{y}_i)],$$

where  $\hat{y}_i = \frac{1}{1 + \exp(-w^T x_i)}, y_i \in \{0,1\}$ .

$\hat{y}_i$  is the output of the unit for the example  $x_i$ .

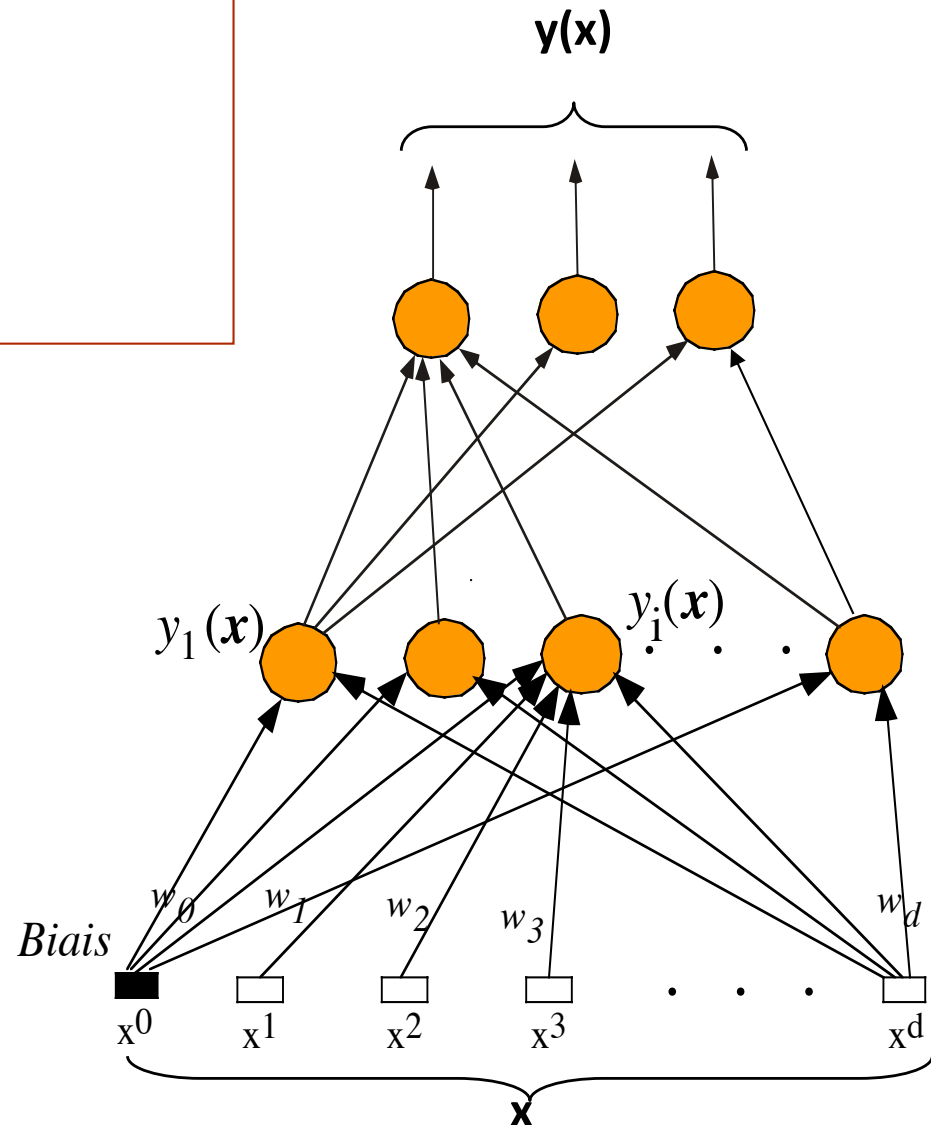
It can be considered as the probability that the input is of class C

# Le codage de la couche de sortie

## Exemple :

- Reconnaissance de caractères manuscrits
- Reconnaissance de locuteurs

- $c-1$  problèmes de discrimination
- 1 neurone de sortie
  - $\{0,1, \dots, c\}$
  - $[0,1]$
- $n (\leq c)$  neurones de sortie
  - 1 neurone / classe
  - Code correcteur d'erreur



# ECOC

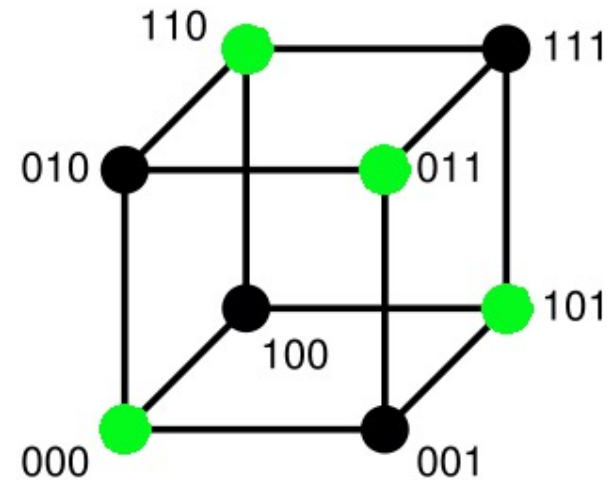
- Apprendre à distinguer 26 lettres
- Codage
  - Sur 5 bits ?
  - Sur 10 bits !

	$h_1$	$h_2$	$h_3$	$h_4$	$h_5$	$h_6$	$h_7$	$h_8$	$h_9$	$h_{10}$
A	0	0	0	0	0	0	0	0	0	0
B	0	0	0	0	1	0	1	0	1	1
C	0	0	0	1	0	1	0	1	0	1

4  
6  
4

# Codes correcteurs d'erreur

On cherche à maximiser  
le nombre de bits  
différents entre codes



Message = E	Code = F(E)
0 0	0 0 0
0 1	1 0 1
1 0	1 1 0
1 1	0 1 1

# ECOC

	$h_1$	$h_2$	$h_3$	$h_4$	$h_5$	$h_6$	$h_7$	$h_8$	$h_9$	$h_{10}$
A	0	0	0	0	0	0	0	0	0	0
B	0	0	0	0	1	0	1	0	1	1
C	0	0	0	1	0	1	0	1	0	1

- On apprend 10 classifieurs binaires

$$h_5(\mathbf{x}) = \begin{cases} 0 & \text{si } y \in \{A, C, E, G, I, K, M, O, Q, S, U, W, Y\} \\ 1 & \text{sinon} \end{cases}$$

$$h_4(\mathbf{x}) = \begin{cases} 0 & \text{si } y \in \{A, B, E, F, I, J, M, N, Q, R, U, V, Y, Z\} \\ 1 & \text{sinon} \end{cases}$$

- On calcule  $h_1(\mathbf{x}), h_2(\mathbf{x}), h_3(\mathbf{x}), h_4(\mathbf{x}), h_5(\mathbf{x}), h_6(\mathbf{x}), h_7(\mathbf{x}), h_8(\mathbf{x}), h_9(\mathbf{x}), h_{10}(\mathbf{x})$
- On décode  $H(\mathbf{x})$  par plus proche voisin / au codage de A, B, C, ...

# L'ancêtre des réseaux convolutionnels

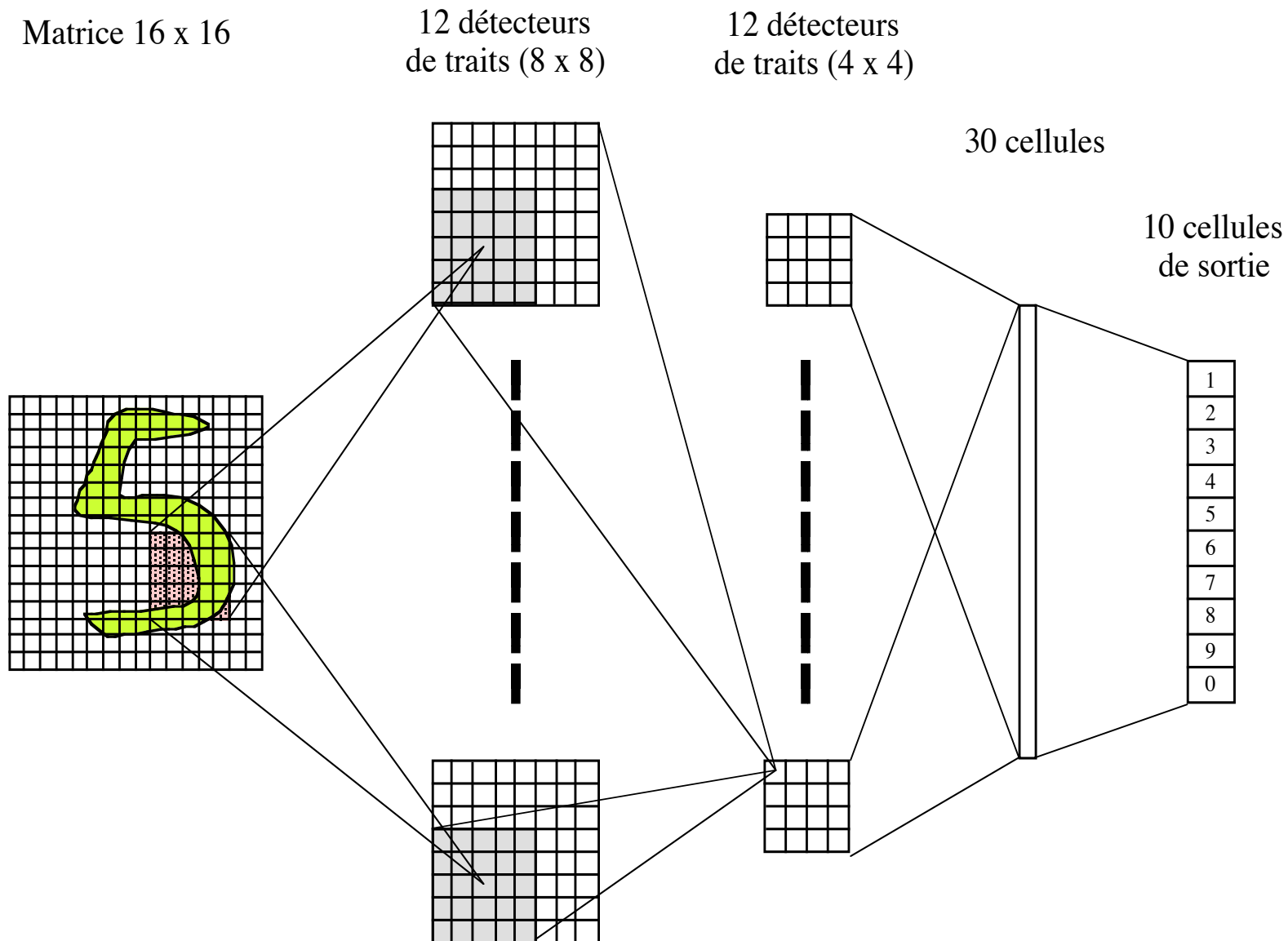
## Application aux codes postaux (Zip codes)

- [Le Cun et al., 1989, ...] (ATT Bell Labs : très forte équipe)
- $\approx$  10000 exemples de chiffres manuscrits
- Segmentés et redimensionnés sur matrice 16 x 16
- Technique des poids partagés (“weight sharing”)
- Technique du optimal brain damage
- 99% de reconnaissance correcte (sur l’ensemble d’apprentissage)
- 9% de rejet (pour reconnaissance humaine)

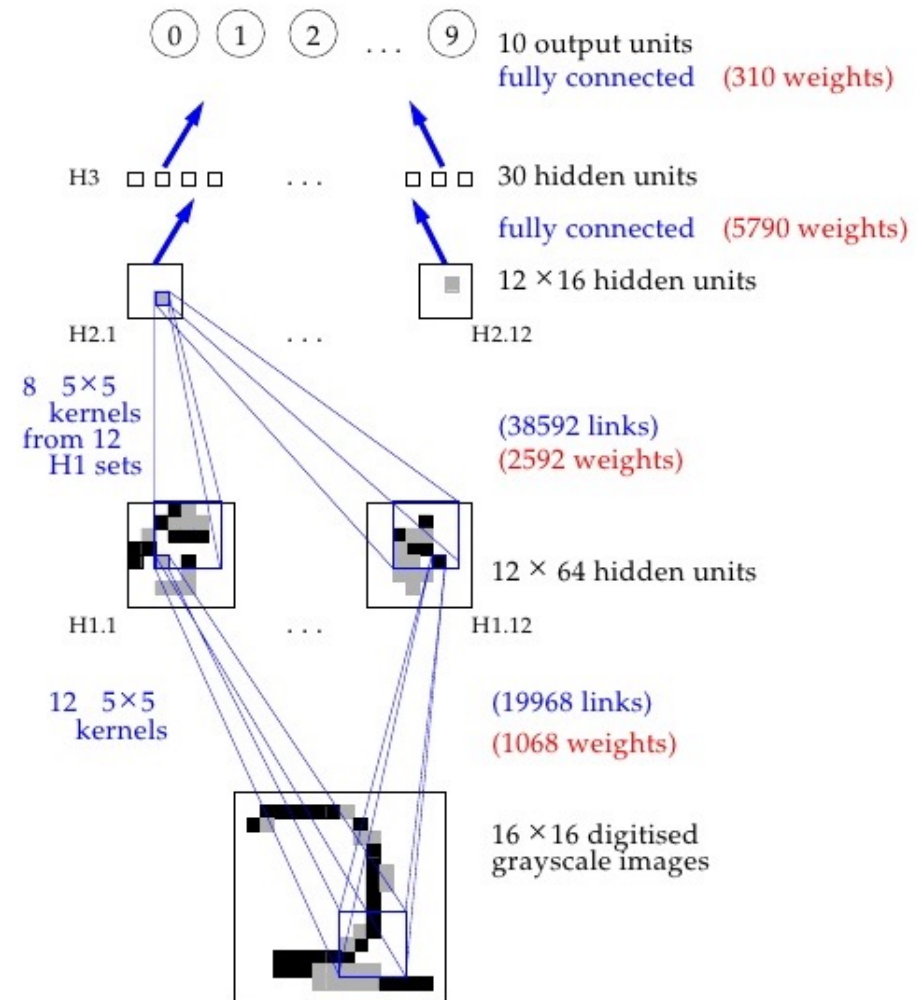
# La base de données

65473      60198      68544  
70065    70117    19032    96720  
27260      61820      19559  
74136    ~~19137~~    63101  
20878    60521    38002  
48640-2398    20907    14868

# Réseaux à convolution : Application aux codes postaux



# Réseaux à convolution : Application aux codes postaux



Before weight sharing **64660 links**  
 After weight sharing **9760 weights**

- Taken from <http://image.slidesharecdn.com/bp2slides-090922011749-phpapp02/95/the-back-propagation-learning-algorithm-10-728.jpg?cb=1253582278>

# Exemples d'erreurs de prédiction

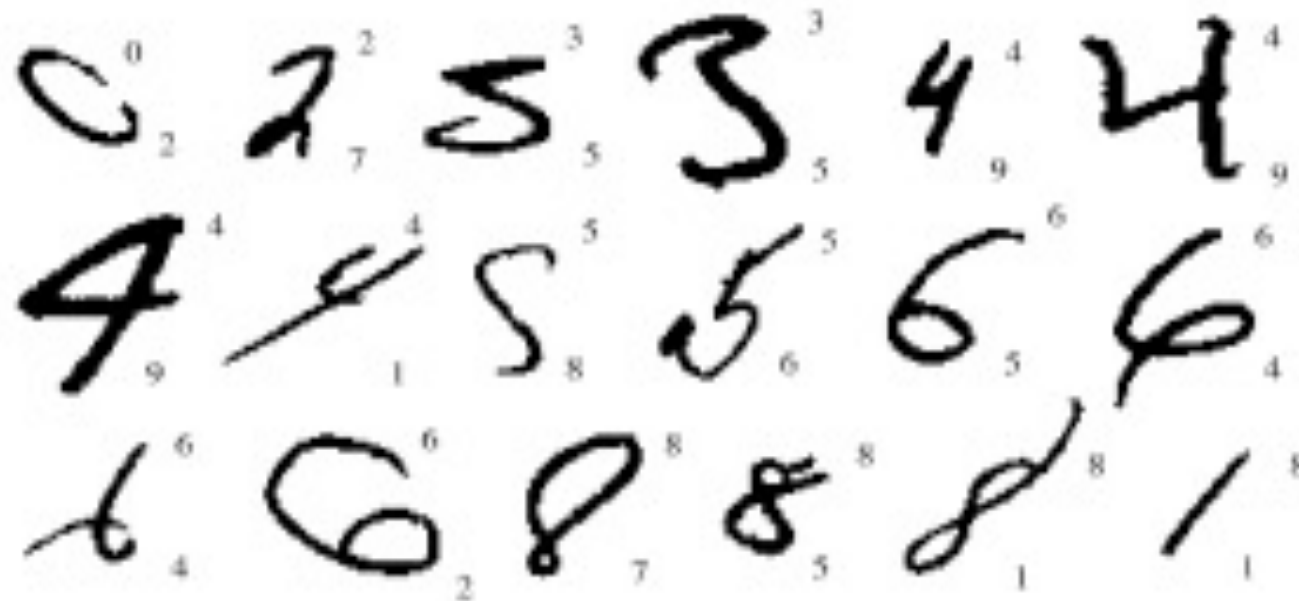


Figure 1-34. Les 18 erreurs de classification commises par séparation linéaire des classes deux à deux. Pour chaque chiffre manuscrit, l'indication en haut à droite est la classe d'appartenance du chiffre indiquée dans la base, et le chiffre en bas à droite est la classe affectée par le classifieur.

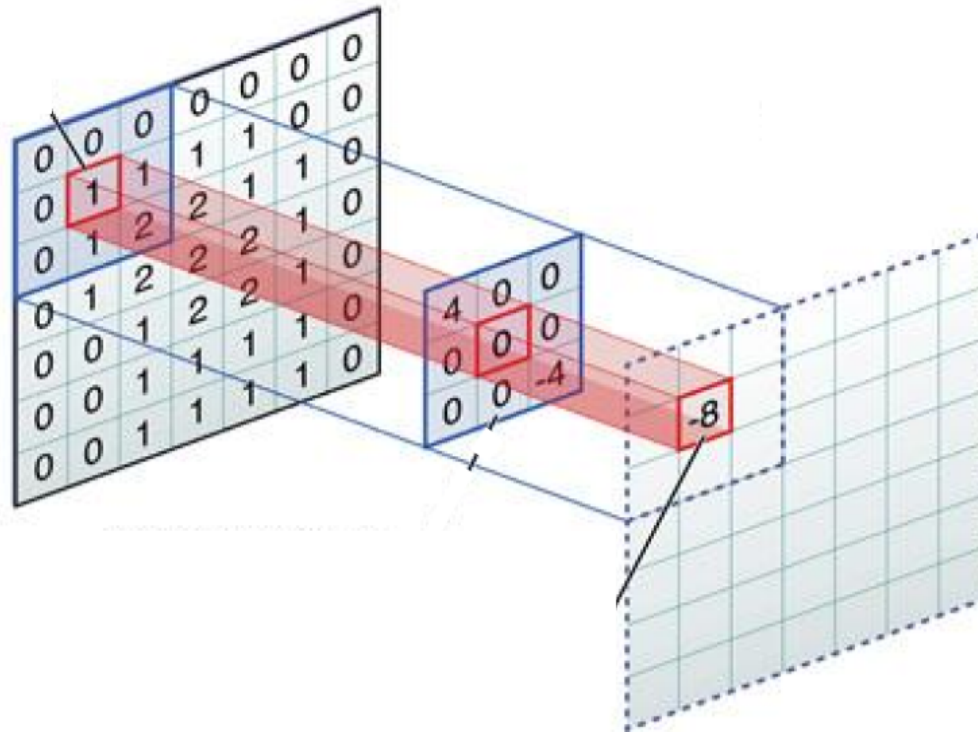
# Examples of prediction error

 4→6	 3→5	 8→2	 2→1	 5→3	 4→8	 2→8	 3→5	 6→5	 7→3
 9→4	 8→0	 7→8	 5→3	 8→7	 0→6	 3→7	 2→7	 8→3	 9→4
 8→2	 5→3	 4→8	 3→9	 6→0	 9→8	 4→9	 6→1	 9→4	 9→1
 9→4	 2→0	 6→1	 3→5	 3→2	 9→5	 6→0	 6→0	 6→0	 6→8
 4→6	 7→3	 9→4	 4→6	 2→7	 9→7	 4→3	 9→4	 9→4	 9→4
 8→7	 4→2	 8→4	 3→5	 8→4	 6→5	 8→5	 3→8	 3→8	 9→8
 1→5	 9→8	 6→3	 0→2	 6→5	 9→5	 0→7	 1→6	 4→9	 2→1
 2→8	 8→5	 4→9	 7→2	 7→2	 6→5	 9→7	 6→1	 5→6	 5→0
 4→9	 2→8								

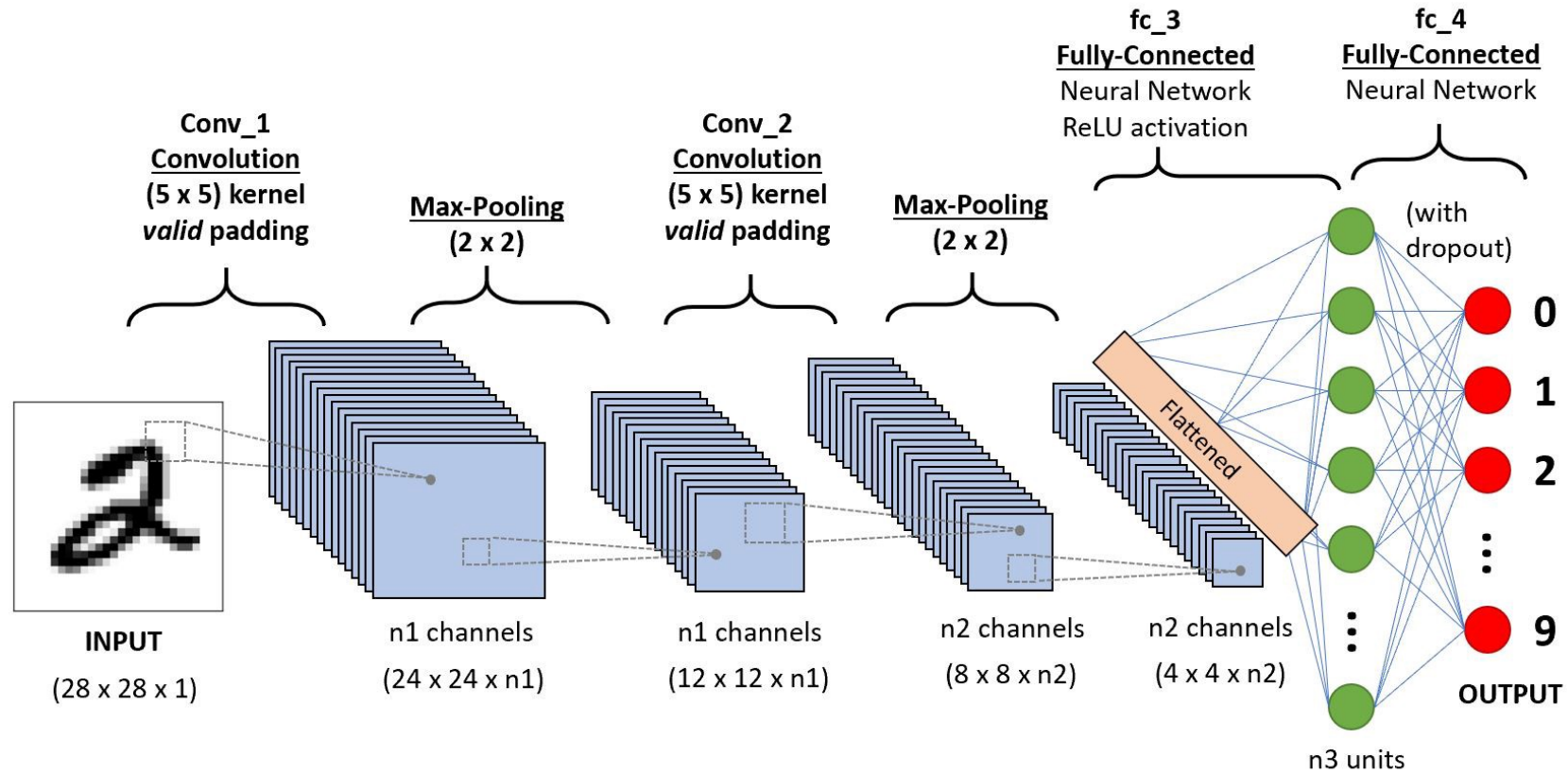
# Convolutions

## Same dimension between layers

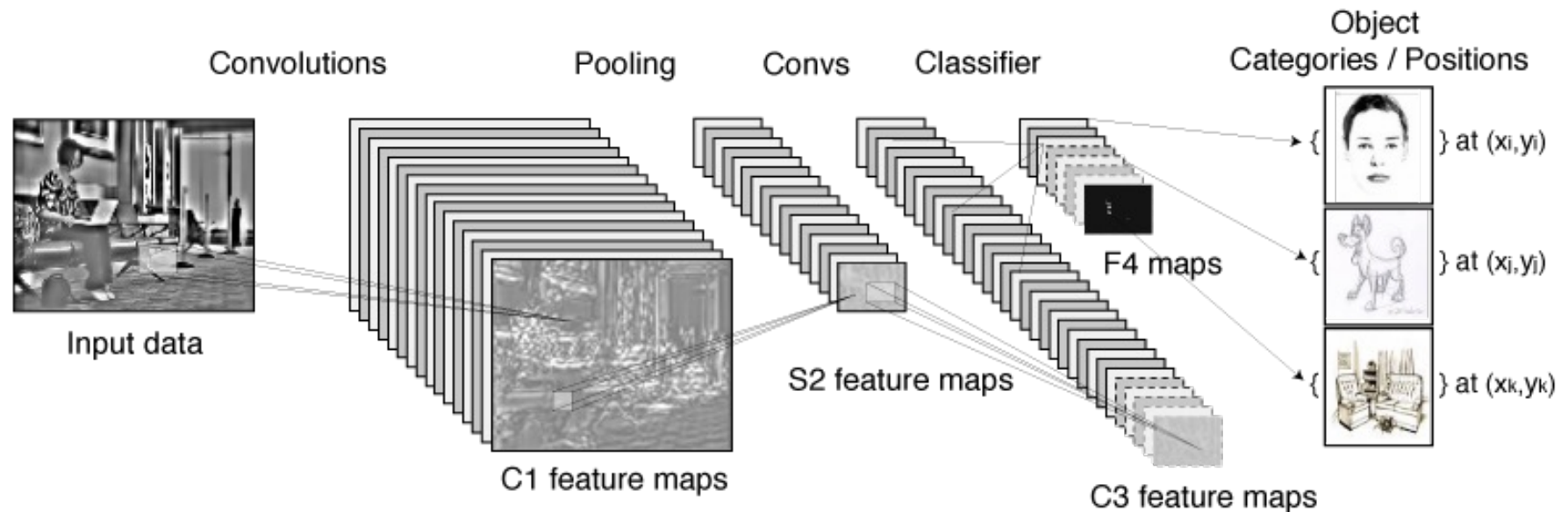
$$(4 \times 0) + (0 \times 0) + (0 \times 0) + (0 \times 0) + (0 \times 1) + (0 \times 1) + (0 \times 0) + (0 \times 1) + (-4 \times 2) = -8$$



# Réseaux de neurones convolutionnels



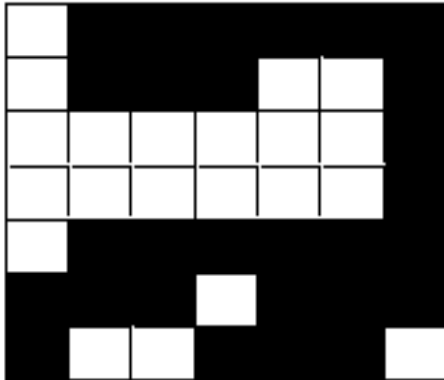
# Réseaux de neurones convolutionnels (2° exemple)



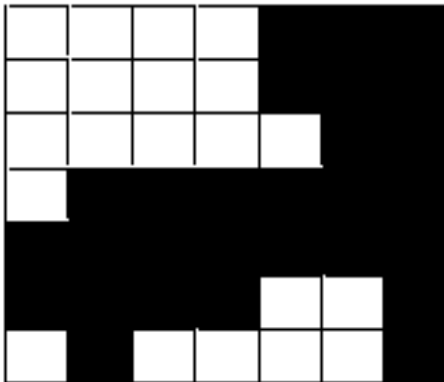
- 1) Le **pooling** consiste réduire la résolution des images filtrées, par exemple en moyennant les pixels contigus (*ex : 4 pixels deviennent 1 seul pixel qui contient une valeur moyenne*) - étape S2
- 2) **Convolution** : des filtres sont appris sur les nouvelles images - étape C3
- 3) **Classifieur** : les dernières couches sont entièrement connectées (*i.e. MLP*) et apprennent à prédire la classe à partir des filtres appris (*i.e. des descripteurs générés automatiquement*) - étape F4

# How to code the inputs

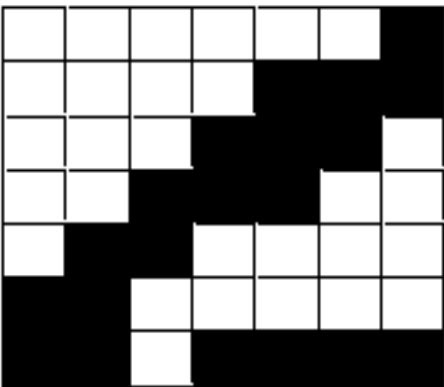
# Learning is easy when we know what to look for



- Yes

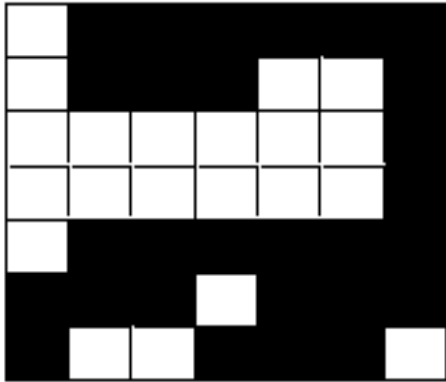


- Yes



- No

# Inputs and prior knowledge

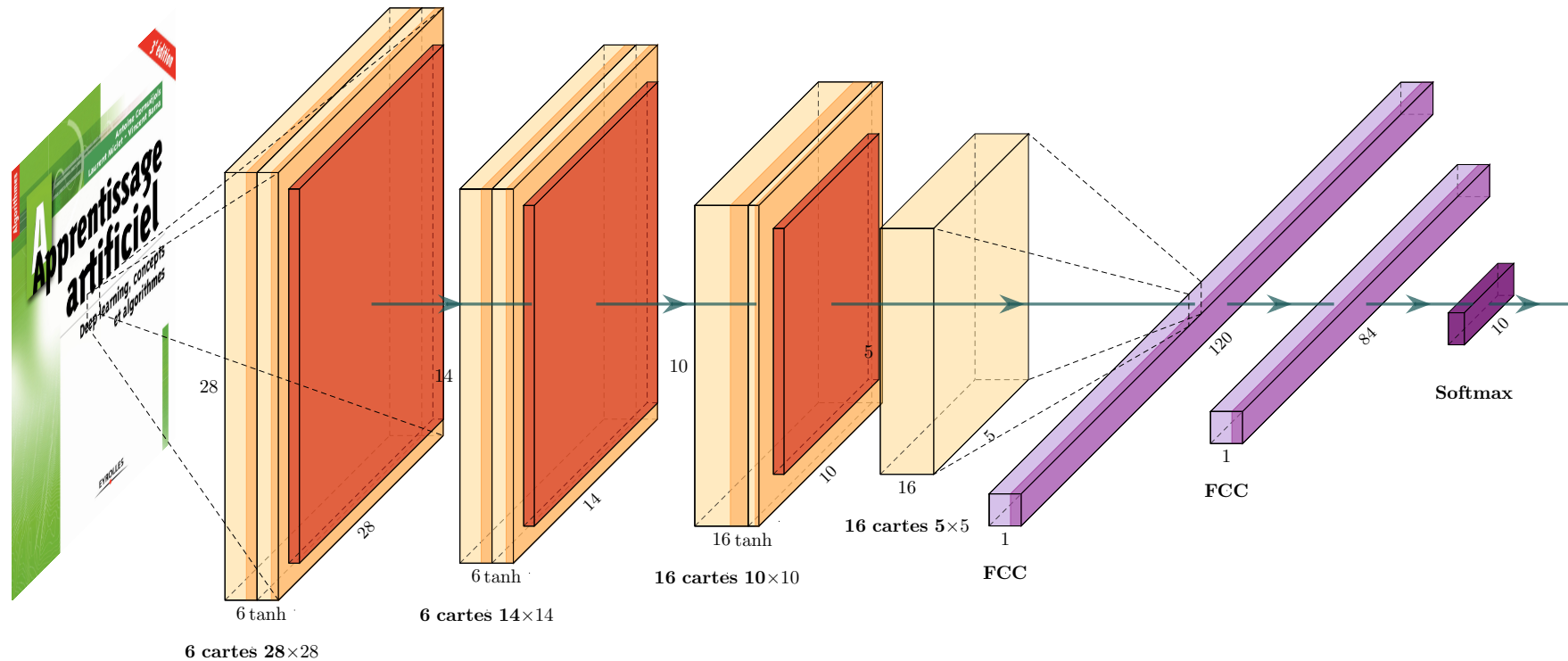


- Is it a pattern recognition task? A character recognition task? ...
- *How to code the examples?*

0 1 1 1 1 1 1 0 1 1 1 0 0 1 0 0 0 0 0 1 0 0 0 0 0 1 0 1 1 1 1 1 1 1 1 0 1 1 1 1 0 0 1 1 1 0

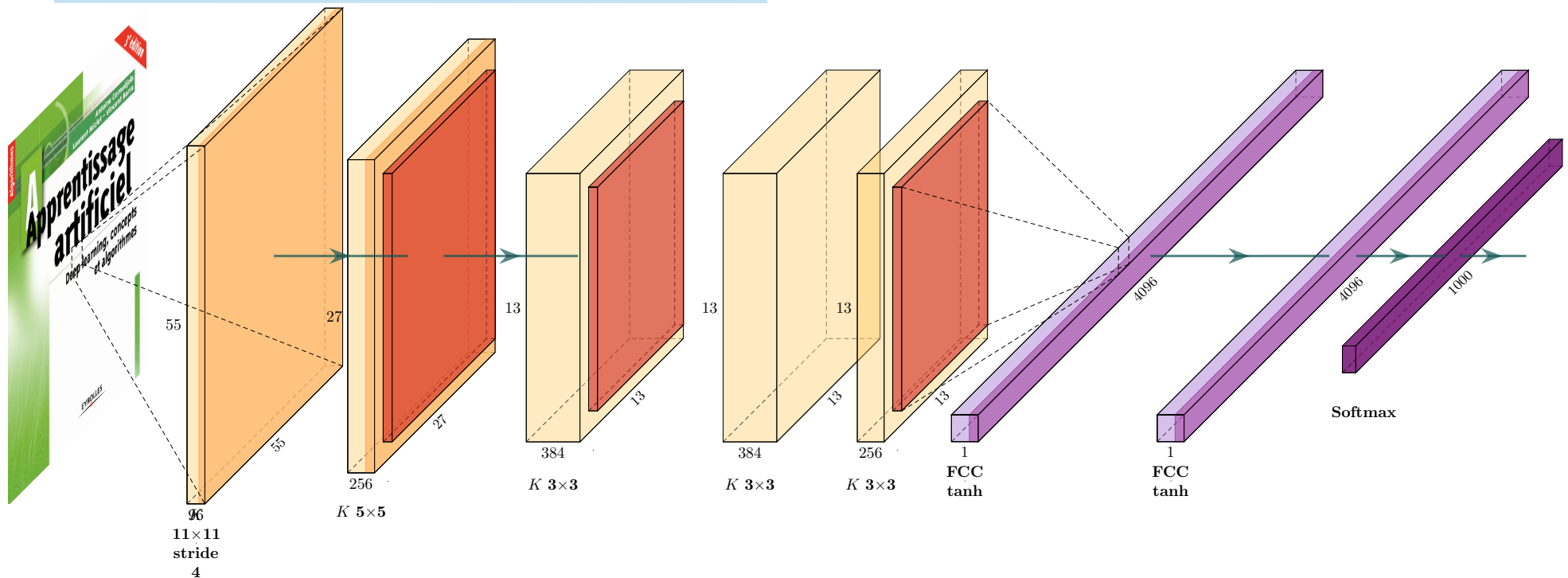
- *A right choice of representation can render the learning task trivial*
  - *But how can we know the right representation?*

# LeNet-5



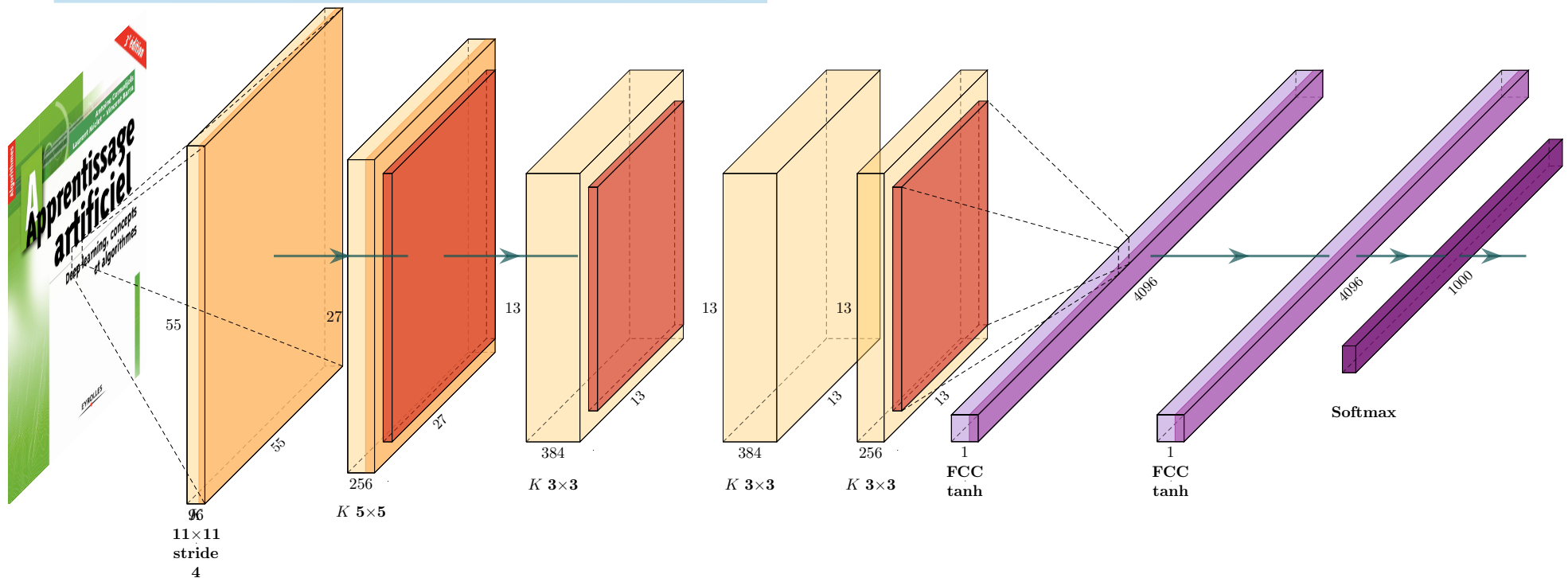
- Architecture du réseau LeNet-5.
  - Les couches de **convolution** et d'activation sont en **orange clair**.
  - Les couches d'**agrégation** en **orange foncé**
  - Les couches **complètement connectées** sont en **violet**

# AlexNet



- Architecture du réseau AlexNet.
  - Les couches de **convolution** et d'activation sont en **orange clair**.
  - Les couches d'**agrégation** en **orange foncé**
  - Les couches **complètement connectées** sont en **violet**

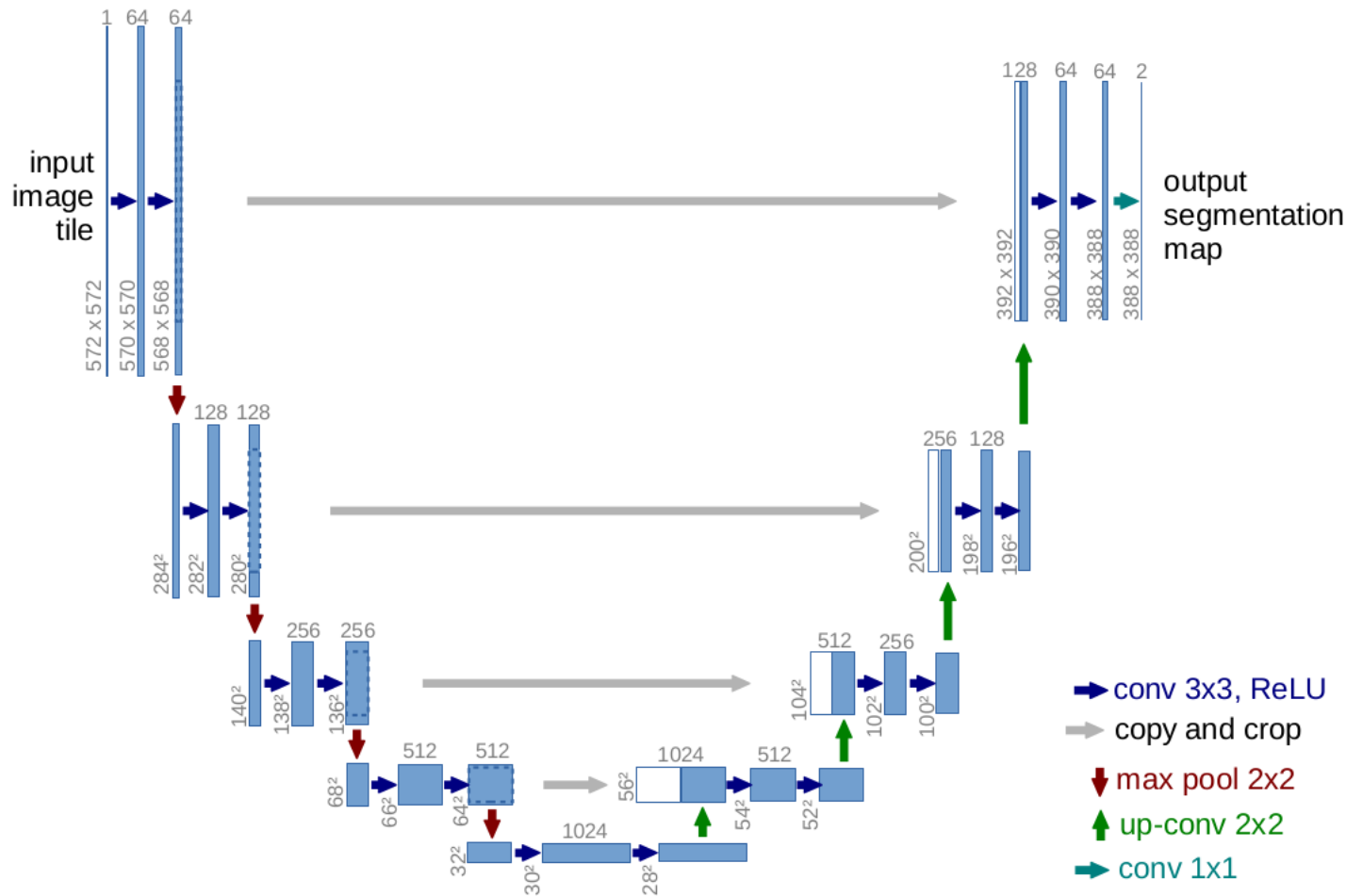
# AlexNet



Si la profondeur du réseau reste faible, **le nombre de paramètres est déjà important.**

- En regardant **uniquement** la **première couche de convolution**, on constate que l'entrée est composée d'images  $224 \times 224 \times 3$ , que les filtres de convolution sont de taille **11** et que le stride est de **4**.
- Ainsi, la sortie de la couche de convolution est de taille  $55 \times 55 \times 96 = 290\,400$  neurones, chacun ayant  $11 \times 11 \times 3 = 363$  poids et un biais. Cela implique, sur cette couche de convolution seulement, **105 705 600 paramètres** à ajuster.

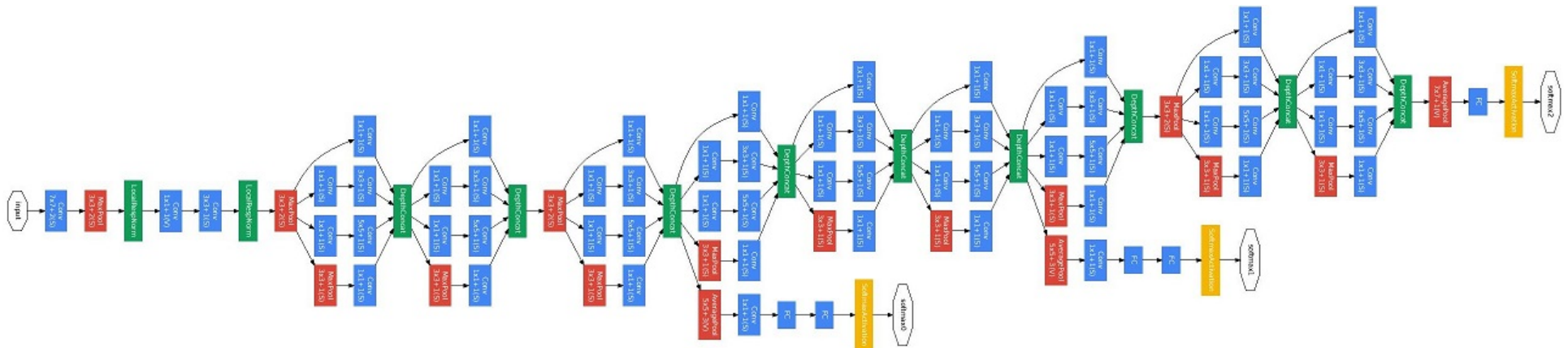
# U-Net : pour la segmentation d'images



Cette architecture est intégralement convolutive et symétrique. Dans la première partie de l'architecture, la taille de la sortie diminue et le nombre de filtres augmente. La seconde partie inverse le processus avec une carte de prédictions en sortie.

# GoogleNet

- Un mécano de réseaux de neurones



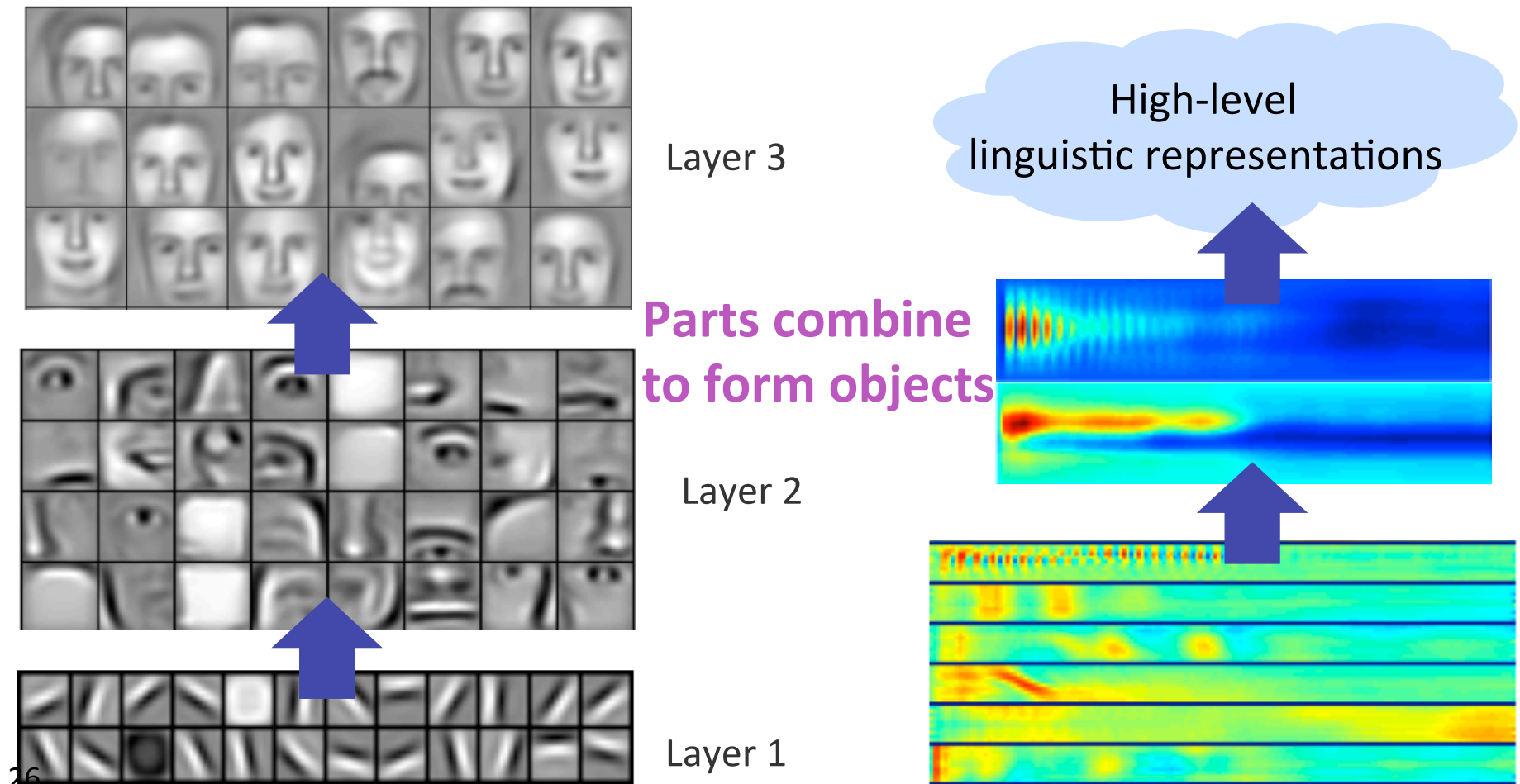
# Illustration

Systeme developpe par Google et U. de Stanford

- Reconnaissance de visages
  - Sous conditions de lumiere diverses
  - Sous tout angle
- Apprentissage non supervise
  - 9 couches ;  $10^9$  connexions
  - 10 millions d'images
  - 3 jours de calcul sur 16 000 processeurs
- **Amelioration des performances** de 70% / etat de l'art

# Apprentissage de représentations hiérarchiques

- Apprentissage de représentations hiérarchiques



26

# Illustration : ImageNet

## La compétition ImageNet

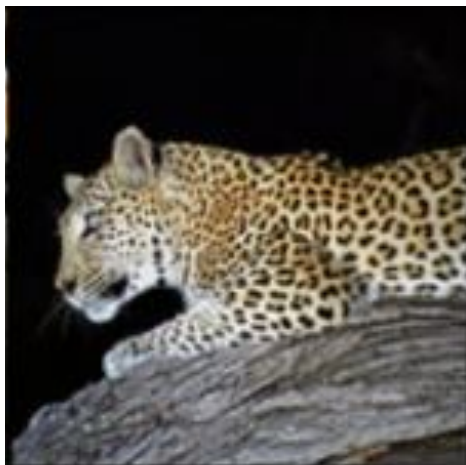
- Plus de **15M d'images** haute résolution étiquetées
- Environ **22K catégories**
- Récoltées sur le Web et étiquetées par Amazon Mechanical Turk



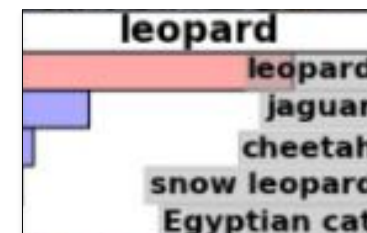
# Illustration : ImageNet

## La compétition ImageNet

- Plus de **15M d'images** haute résolution étiquetées
- Environ **22K catégories**
- Récoltées sur le Web et étiquetées par Amazon Mechanical Turk



Classification

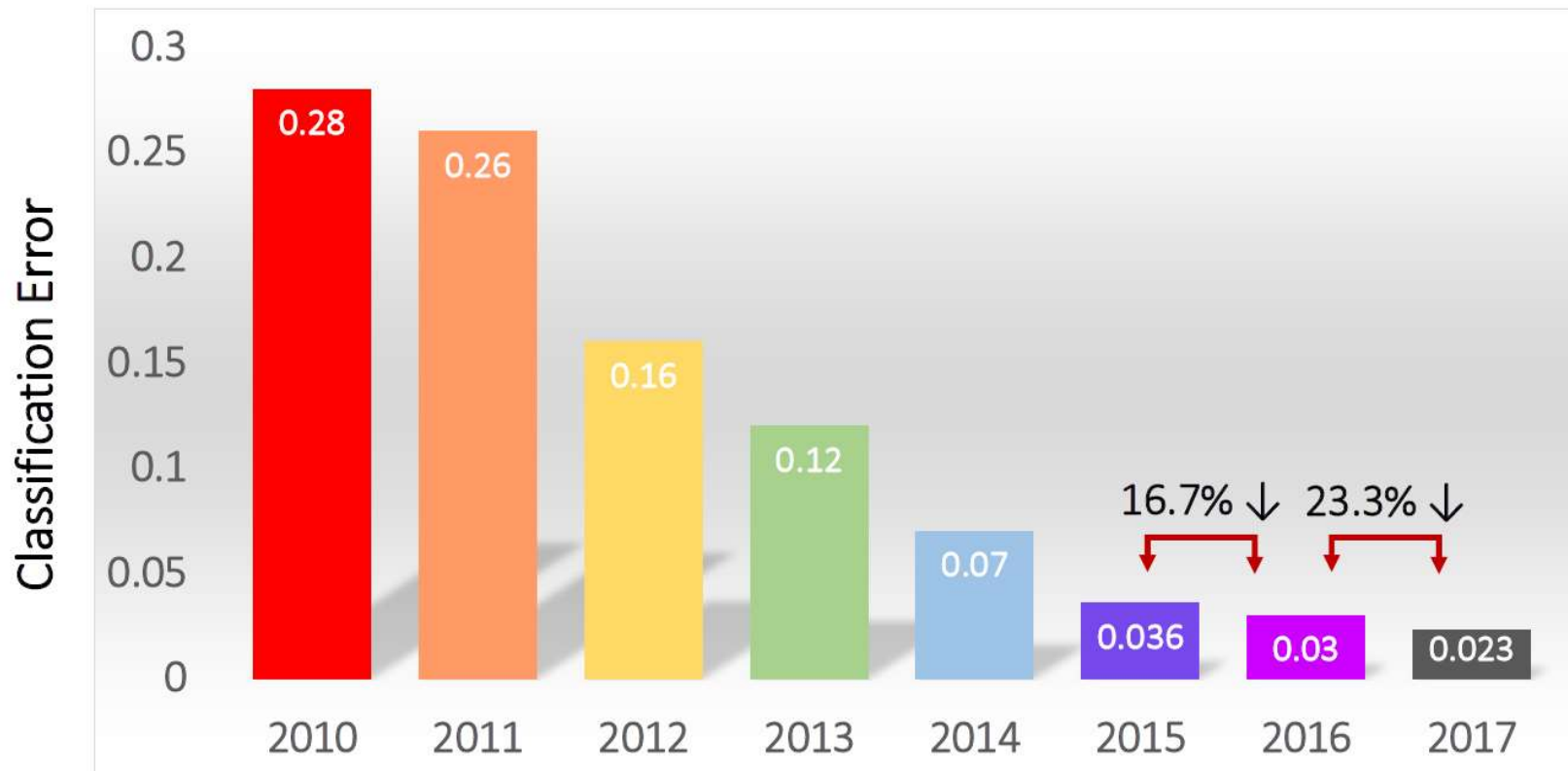


# Object recognition



# Les performances sur les compétition

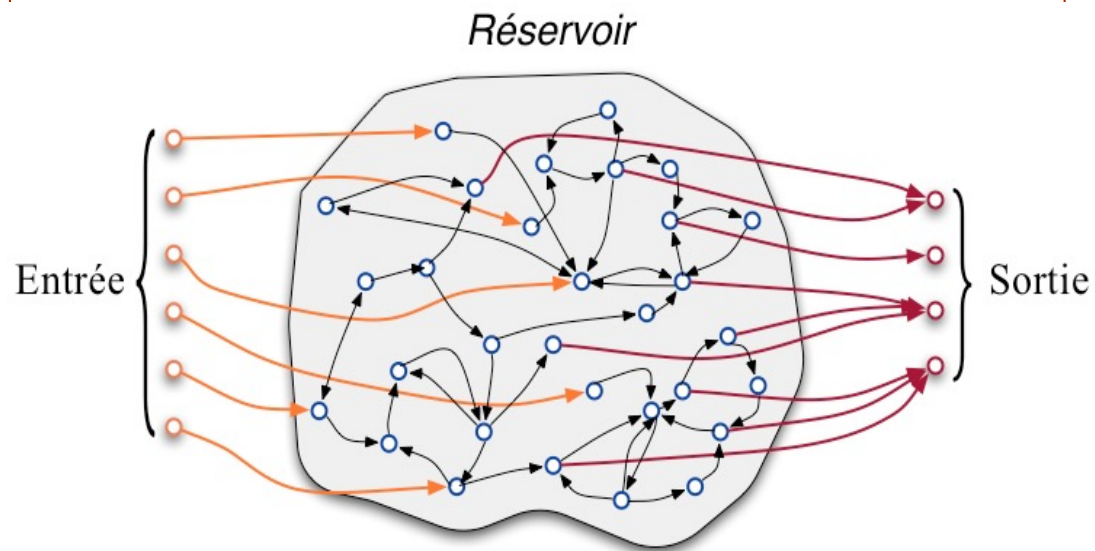
- Résultats en classification



# Autres architectures

# Une idée intrigante : le « reservoir computing »

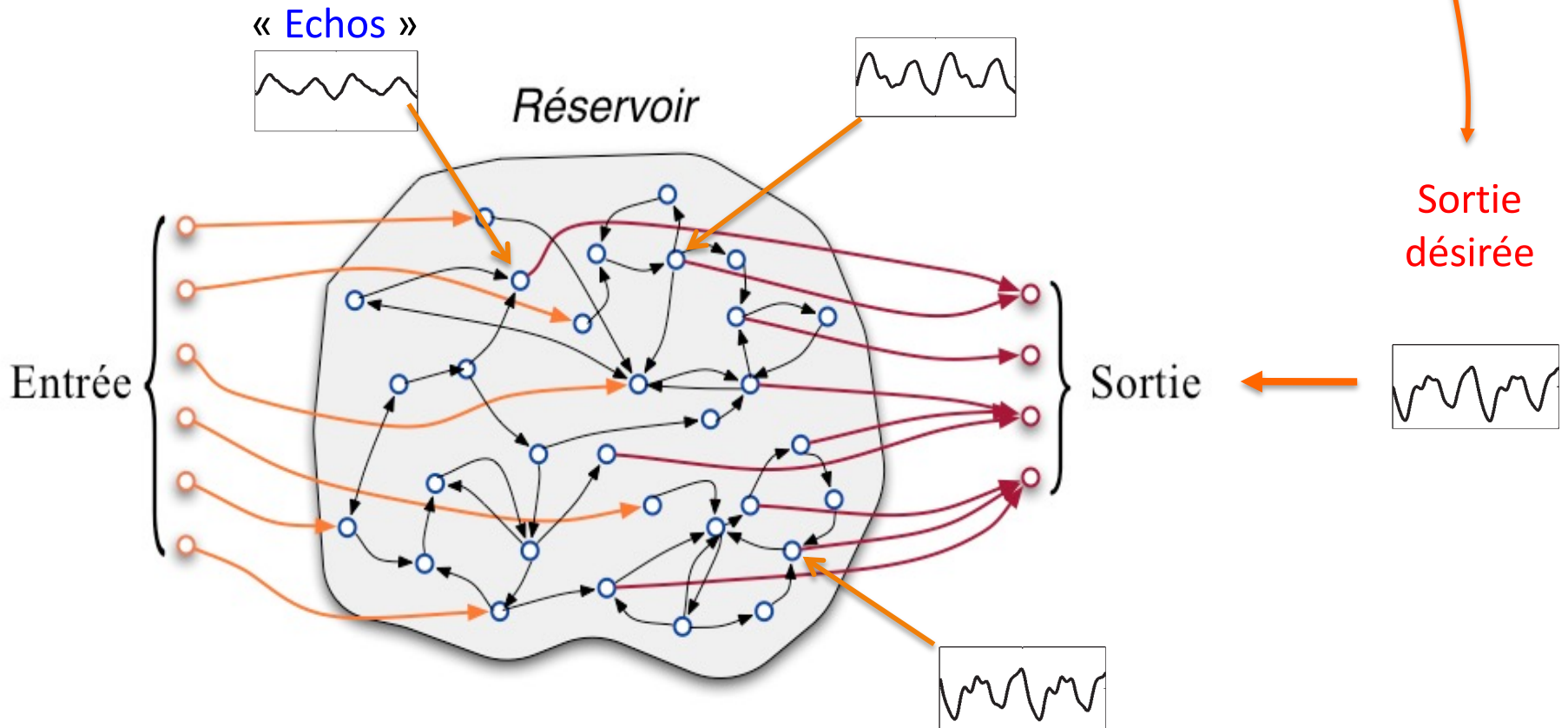
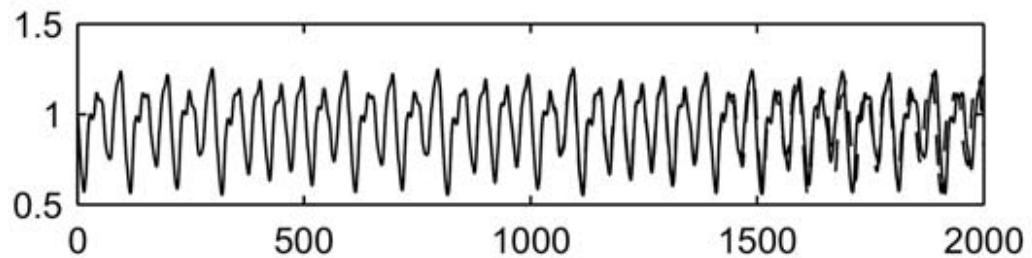
- Idée :
  - Utiliser un réseau récurrent sans l'entraîner explicitement
  - Entraîner une seule couche de sortie



- Ré-introduit une « dynamique »
  - Séries temporelles

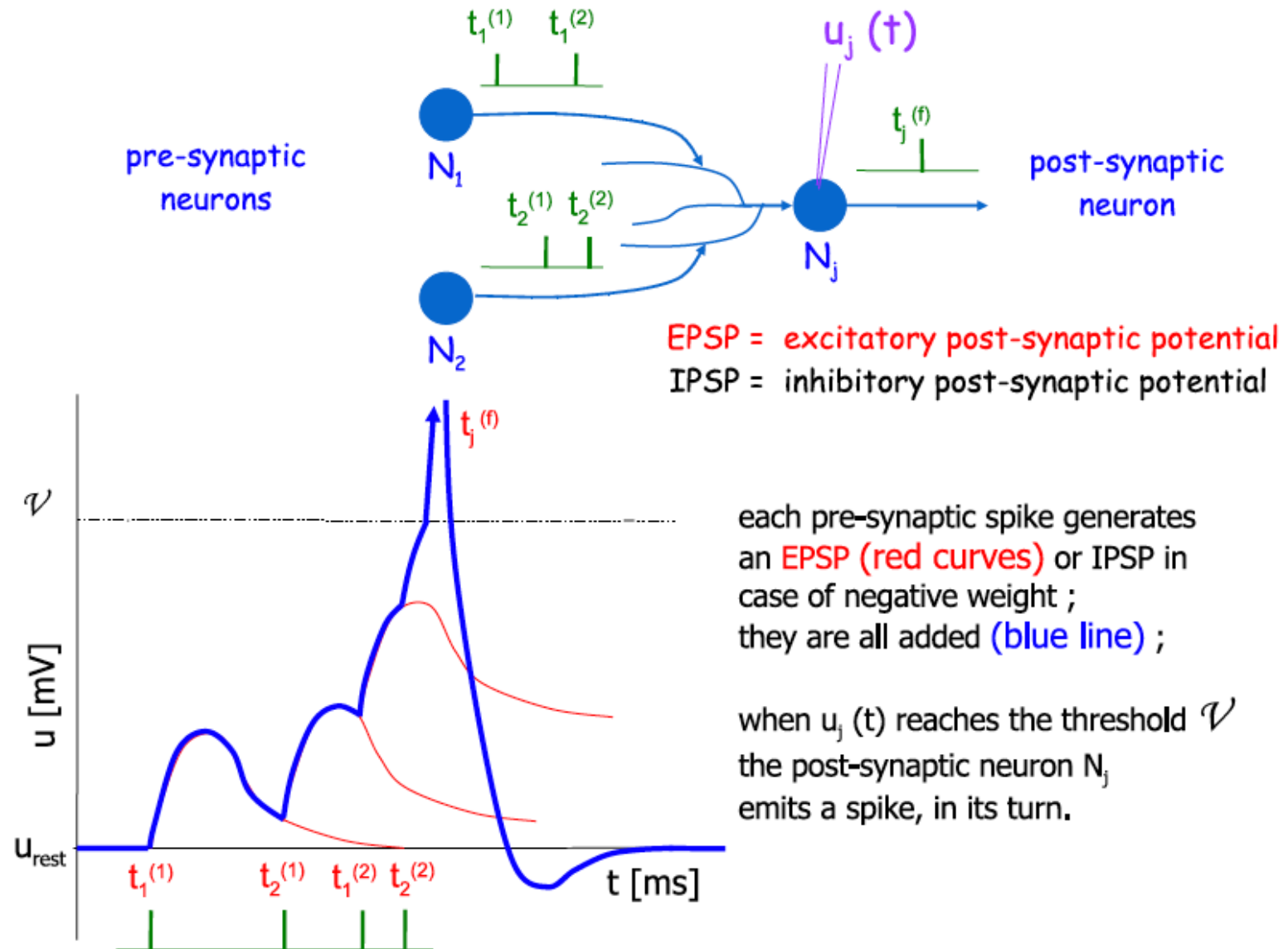
# Prédiction : « reservoir computing » »

Signal à « apprendre »



# Les réseaux à neurones impulsionnels

- *Spiking neural networks*



## A retenir

1. **Méthode d'induction supervisée très versatile**
  - Très grand champ d'application. Famille de modèles très souple.
  - Certainement pas un modèle biologique
  
2. **Apprentissage demandant du soin**
  - Choix de l'architecture
  - Apprentissage lent, sujet à minima locaux
  
3. **« Opacité »**
  - Difficile d'interpréter les réseaux appris
  - Difficile de mettre de la connaissance *a priori*

# Références bibliographiques

- Vincent Barra, Antoine CORNUÉJOLS et Laurent MICLET  
*Apprentissage artificiel. Concepts et algorithmes. De Bayes et Hume au Deep Learning*  
Eyrolles, 2021
- Christopher Bishop & Hugh Bishop  
*Deep Learning: Foundations and Concepts*  
Springer, 2023
- Simon HAYKIN  
*Neural Networks. A comprehensive foundation*  
Prentice Hall, 1999
- Sebastian RASCHKA, Yuxi LIU & Vahid MIRJALILI  
*Machine Learning with PyTorch and Scikit-Learn*  
Packt>, 2022
- Antonio TORRALBA, Philip ISOLA & William FREEMAN  
*Foundations of Computer Vision*  
MIT Press, 2024.